

# รายงานฉบับสมบูรณ์การวิจัย

การผลิตกระแสไฮโดรเจนเข้มข้นจากแก๊สเรือนกระจก  
มีเทนและคาร์บอนไดออกไซด์

H<sub>2</sub>-rich stream production from methane  
and carbon dioxide greenhouse gas

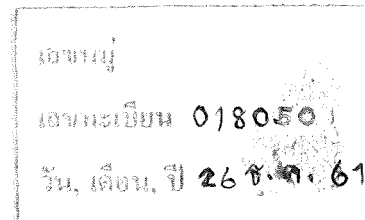
รองศาสตราจารย์ ดร. ณัฐธยาน พงศ์สถาบดี

โครงการวิจัยนี้ได้รับการสนับสนุนจาก  
ทุนอุดหนุนโครงการวิจัย เงินอุดหนุนทั่วไปจากรัฐบาล  
ประจำปี พ.ศ. 2557 (งบประมาณแผ่นดิน)

## กิตติกรรมประกาศ

คณะผู้วิจัยขอขอบคุณ ภาควิชาเคมีเทคนิค คณะวิทยาศาสตร์ ฯ สำลงกรณ์มหาวิทยาลัยที่ให้การสนับสนุนด้านเครื่องมือวิจัย ตลอดจนเจ้าหน้าที่และผู้มีส่วนเกี่ยวข้องกับงานวิจัยนี้ที่อำนวยความสะดวกด้านการปฏิบัติการวิจัยและสถานที่ในการวิจัย

ขอขอบคุณสำนักงานคณะกรรมการวิจัยแห่งชาติและฯ สำลงกรณ์มหาวิทยาลัย ที่เล็งเห็นถึงความสำคัญและให้ทุนสนับสนุนงานวิจัยนี้



## คำนำ

งานวิจัยนี้เกี่ยวข้องกับการผลิตแก๊สไฮโดรเจนเข้มข้นจากแก๊สเรือนกระจกมีเทนและคาร์บอนไดออกไซด์โดยอาศัยระบบร่วมปฏิกิริยาฟอร์มิมิ่งมีเทนด้วยคาร์บอนไดออกไซด์ปฏิกิริยา  
วอเตอร์แก๊สชิฟต์ และปฏิกิริยาออกซิเดชันแบบเลือกเกิดของคาร์บอนมอนอกไซด์ โดยมีระยะการ  
ดำเนินการ 2 ช่วง กล่าวคือ ช่วงแรกจะทำการศึกษาการผลิตแก๊สไฮโดรเจนเข้มข้นด้วยระบบร่วม  
ปฏิกิริยาฟอร์มิมิ่งมีเทนด้วยคาร์บอนไดออกไซด์และปฏิกิริยาวอเตอร์แก๊สชิฟต์ ช่วงที่สองจะ  
ศึกษาการทำแก๊สไฮโดรเจนให้บริสุทธิ์ด้วยปฏิกิริยาออกซิเดชันแบบเลือกเกิดของ  
คาร์บอนมอนอกไซด์ พัฒนาทั้งศึกษาการทำงานทั้งระบบสำหรับการผลิตแก๊สไฮโดรเจนเข้มข้นจาก  
แก๊สเรือนกระจก

**หัวข้อวิจัย**

การผลิตกราฟไธโอดเจนเข้มข้นจากแก๊สรีโอนกราฟฟิกมีเทนและคาร์บอนไดออกไซด์

**ผู้วิจัย**

รองศาสตราจารย์ ดร. ณัฐธยาน พงศ์สถาบันดี

**บทคัดย่อ**

งานวิจัยนี้มีวัตถุประสงค์เพื่อผลิตไฮโดรเจนโดยใช้ระบบโดยรวมของปฏิกิริยาฟอร์มมิ่งมีเทนด้วยคาร์บอนไดออกไซด์ ปฏิกิริยาของเตอร์แก๊สซิฟต์และออกซิเดชันแบบเลือกเกิดของคาร์บอนมอนอกไซด์ ในส่วนของปฏิกิริยาฟอร์มมิ่งมีเทนด้วยคาร์บอนไดออกไซด์ พบว่า ตัวเร่งปฏิกิริยา  $7\% \text{Ni}/\text{zeolite Y}$  แสดงประสิทธิภาพการทำงานที่ดี ณ 800 องศาเซลเซียส เมื่ออัตราส่วนโดยไม่ตระหน่าว่ามีเทนต่อคาร์บอนไดออกไซด์เท่ากับ 1 และความเร็วแก๊สผ่านเบด เท่ากับ 15,000 ลูกบาศก์เมตรต่อชั่วโมงต่อกรัมตัวเร่งปฏิกิริยา โดยให้ค่าการเปลี่ยนของมีเทน ค่าการเปลี่ยนของคาร์บอนไดออกไซด์ และค่าการเลือกเกิดไฮโดรเจน ประมาณร้อยละ 99 โดยปราศจากการเกิดไดก ในส่วนของวงจรเตอร์แก๊สซิฟต์บนตัวเร่งปฏิกิริยาโลหะออกไซด์ผสมของทองแดง ซีเรียมและเหล็ก โดยใช้การออกแบบทางสถิติสองชุดเพื่อลดจำนวนการทำทดลองลงสำหรับหาภาวะที่เหมาะสมที่ทำให้ได้ค่าการเปลี่ยนของคาร์บอนมอนอกไซด์สูงสุดและแสดงให้เห็นถึงอันตรกิริยะระหว่างปัจจัย และหาภาวะที่เหมาะสมให้การออกแบบคอมโพสิตกลางศูนย์กลางผิวน้ำ (FCCCD) ซึ่งเลือกสองปัจจัยที่มีอิทธิพลจากห้าปัจจัยหลักที่เป็นอิสระ ได้แก่ ความเข้มข้นของออกซิเจนในสายป้อน และอุณหภูมิปฏิกิริยา ได้ค่าการเปลี่ยนของคาร์บอนมอนอกไซด์สูงสุด 0.87 โดยเติมออกซิเจนร้อยละ 0.10 และน้ำร้อยละ 30 ในสายป้อน ณ อุณหภูมิ 333 องศาเซลเซียส อัตราส่วน W/F เท่ากับ 0.24 กรัม วินาที ต่อลูกบาศก์เมตรและอัตราส่วนโดยโมล  $\text{Cu}/(\text{Cu}+\text{Zn}+\text{Fe})$  เท่ากับ 0.30 ในส่วนของออกซิเดชันแบบเลือกเกิดของคาร์บอนมอนอกไซด์ พบว่า จากการออกแบบการทำทดลองแฟคทอร์เรียลแบบบล็อกอุณหภูมิทำให้ได้ภาวะที่เหมาะสมที่อัตราส่วนแบ่งแยกออกซิเจนและน้ำหนักตัวเร่งปฏิกิริยา เท่ากับ 2:1 โดยเกิดปฏิกิริยาอย่างสมบูรณ์และค่าการเลือกเกิดร้อยละ 66.5 ณ อุณหภูมิ 150 องศาเซลเซียส ทั้งสองเตาปฏิกิริณ์ การทดสอบการสือมของตัวเร่งปฏิกิริยาไม่ลดลงตลอดช่วงเวลาทดลอง

**คำสำคัญ:** (1) การผลิตเชื้อเพลิงไฮโดรเจน (2) รีฟอร์มมิ่งของคาร์บอนไดออกไซด์ (3) วอเตอร์แก๊สซิฟต์ (4) ออกซิเดชันแบบเลือกเกิดของคาร์บอนมอนอกไซด์

## Abstract

The purpose of this study is to produce H<sub>2</sub> via CO<sub>2</sub> reforming of CH<sub>4</sub> (CRM), water-gas shift (WGS), and preferential CO oxidation (PROX). In a part of CRM study, the 7%Ni/zeolite Y catalyst synthesized via incipient wetness impregnation showed an excellent performance at 800 °C with a CH<sub>4</sub>/CO<sub>2</sub> mole ratio of 1 and SV = 15,000 cm<sup>3</sup> h<sup>-1</sup> g<sub>cat</sub><sup>-1</sup>, which obtained the CH<sub>4</sub> conversion, CO<sub>2</sub> conversion, and H<sub>2</sub> selectivity of ~99% with no coking formation. In a part of WGS study, the catalytic performance of the Cu-Zn-Fe composite-oxide catalysts prepared by the urea-nitrate combustion (UNC) method was investigated. In order to reduce the total number of experiments to achieve the optimal condition of CO conversion in the reaction and to reveal the interactions among the factors, two sets of statistical designs of experiments were carried-out. In order to continue the optimization, the application of the face-centered central composite design (FCCCD) falling under response surface methods was done. Two influent independent factors were selected from the five main factors. Based on the important variabilities in the conversion, the O<sub>2</sub> concentration in the feedstream and the reaction temperature were then selected to achieve the optimal condition for CO conversion. The maximum CO conversion of 0.87 was obtained when adding 0.10% O<sub>2</sub> and 30% H<sub>2</sub>O in the feedstream at 333 °C, W/F ratio of 0.24 g s cm<sup>-3</sup>, and Cu molar ratio of 0.30. Deactivation tests for CRM and WGS showed no observation of the drop in terms of the activities and selectivity for all time-on-stream. In a part of PROX study, a temperature blocking 2<sup>2</sup> factorial designs indicated that the optimum conditions of O<sub>2</sub> split ratio and weight of catalyst (WC) split ratio were at 2:1 with complete CO conversion and 66.5% CO selectivity at 150 °C for both stages. Deactivation tests for CRM, WGS, and PROX showed no observation of the drop in terms of the activities and selectivity for all time-on-stream.

**Key Words:** (1) H<sub>2</sub> production (2) CO<sub>2</sub> reforming (3) water-gas shift (4) preferential CO oxidation

# สารบัญ

เรื่อง	หน้า
กิตติกรรมประกาศ คำนำ	๑
บทคัดย่อภาษาไทย	๒
บทคัดย่อภาษาอังกฤษ	๓
สารบัญ	๔
สารบัญรูป	๕
สารบัญตาราง	๖
 <b>บทที่ 1 บทนำ</b>	 1
1.1 ที่มาและความสำคัญของปัญหา	1
1.2 วัตถุประสงค์ของโครงการวิจัย	3
1.3 สมมติฐานการวิจัย	3
1.4 ขอบเขตของการวิจัย	4
1.5 ตัวแปรที่ใช้ในการศึกษา	4
1.6 คำชี้แจงเบื้องต้น	5
1.7 ระยะเวลาดำเนินการวิจัย	6
1.8 ประโยชน์ที่ได้รับจากการวิจัย	6
1.9 นิยามศัพท์เฉพาะ	6
 <b>บทที่ 2 ทฤษฎีและงานวิจัยที่เกี่ยวข้อง</b>	 8
2.1 ทฤษฎี	8
2.1.1 ไฮโดรเจน (Hydrogen)	8
2.1.1.1 สมบัติทางเชื้อเพลิง (Fuel property)	8

เรื่อง	หน้า
2.1.1.2 ความจุพลังงาน (Energy Content)	9
2.1.1.3 อุปทานของไฮโดรเจน (Supply of Hydrogen)	10
2.1.2 กระบวนการผลิตแก๊สไฮโดรเจน	13
2.1.2.1 คาร์บอนไดออกไซด์รีฟอร์มมิ่งของมีเทน (Carbon dioxide reforming of methane)	14
2.1.2.2 ウォเตอร์-แก๊สชิฟท์ (Water gas shift)	16
2.1.2.3 ออกซิเดชันแบบเกิดขึ้นของคาร์บอนมอนอกไซด์ (Preferential Oxidation of CO)	19
2.2 การทบทวนวรรณกรรม/สารสนเทศ (information) หรืองานวิจัยที่เกี่ยวข้อง	21
2.2.1 กระบวนการผลิตเชื้อเพลิงไฮโดรเจน (Fuel processor)	21
2.2.2 คาร์บอนไดออกไซด์รีฟอร์มมิ่งของมีเทน ( $\text{CO}_2$ reforming of $\text{CH}_4$ )	22
2.2.3 ウォเตอร์-แก๊สชิฟท์ (Water-gas shift reaction; WGS)	23
2.2.4 ออกซิเดชันแบบเลือกเกิดขึ้นของคาร์บอนมอนอกไซด์ (Preferential oxidation of CO; PROX)	25
<b>บทที่ 3 วิธีดำเนินการวิจัย</b>	<b>27</b>
3.1 วัสดุ อุปกรณ์ เครื่องมือ แก๊สและสารเคมีที่ใช้ในการวิจัย	27
3.1.1 สารเคมีที่ใช้ในการวิจัย	27
3.1.2 แก๊สที่ใช้ในการวิจัย	28
3.1.3 อุปกรณ์ที่ใช้ในการวิจัย	28
3.2 วิธีดำเนินการทดลอง	29
3.2.1 ปฏิกิริยาออกซิเดชันแบบเลือกเกิดขึ้นของคาร์บอนมอนอกไซด์ (Preferential oxidation of CO, PROX)	29
3.2.1.1 การเตรียมตัวเร่งปฏิกิริยา (Catalyst preparation)	29
3.2.1.2 การทดสอบความร่วงไวของตัวเร่งปฏิกิริยา (Catalytic activity measurement)	30

เรื่อง	หน้า
3.2.1.3 การออกแบบการทดลองและการวิเคราะห์ทางสถิติ (Design of experiments and statistical analysis)	31
3.2.2 ระบบโดยรวม (Integrated system)	32
3.3 การวิเคราะห์คุณลักษณะตัวเร่งปฏิกิริยา	33
<b>บทที่ 4 ผลและอภิปรายผลการวิจัย</b>	<b>34</b>
4.1 ปฏิกิริยาออกซิเดชันแบบเลือกเกิดของคาร์บอนมอนอกไซด์ (Preferential oxidation of CO)	34
4.1.1 ลักษณะของตัวเร่งปฏิกิริยา (Catalyst characterization)	34
4.1.2 ออกซิเดชันแบบเลือกเกิดของคาร์บอนมอนอกไซด์แบบขั้นเดียว (Single-stage of preferential oxidation of CO)	37
4.1.2.1 อัตราส่วนโดยไม่ล่าร์ของออกซิเจนต่อคาร์บอนมอนอกไซด์	37
4.1.2.2 อัตราส่วนน้ำหนักของตัวเร่งปฏิกิริยาต่ออัตราเร็วสายป่อน	39
4.1.2.3 การเปรียบเทียบความว่องไวของตัวเร่งปฏิกิริยาที่มีอัตราส่วน ออกซิเจนต่อคาร์บอนมอนอกไซด์ต่างๆ และอัตราส่วน W / F ต่างๆ	41
4.1.3 การออกแบบการทดลองแบบแพคทอเรียลสองปัจจัยบล็อกคูณหมุน สำหรับออกซิเดชันแบบเลือกเกิดของคาร์บอนมอนอกไซด์แบบขั้นเดียว	42
4.1.4 ออกซิเดชันแบบเลือกเกิดของคาร์บอนมอนอกไซด์แบบสองขั้น (Double-stage of preferential oxidation of CO)	47
4.1.4.1 อัตราส่วนแบบแบ่งแยกของน้ำหนักของตัวเร่งปฏิกิริยา	47
4.1.4.2 อัตราส่วนแบ่งแยกของออกซิเจน	49
4.1.5 การออกแบบการทดลองแบบแพคทอเรียลสองปัจจัยบล็อกคูณหมุน สำหรับออกซิเดชันแบบเลือกเกิดของคาร์บอนมอนอกไซด์แบบสองขั้น	51
4.2 การปรับภาวะของปฏิกิริยาของเตอร์แก๊สชิฟต์และออกซิเดชันแบบเลือกเกิดของ คาร์บอนมอนอกไซด์	56
4.2.1 ウォเตอร์-แก๊สชิฟต์ (Water-gas shift reaction)	56
4.2.2 ออกซิเดชันแบบเลือกเกิดของคาร์บอนมอนอกไซด์ (Preferential oxidation of CO)	60

เรื่อง	หน้า
4.3 ระบบโดยรวมของวอเตอร์แก๊สชิฟต์และออกซิเดชันแบบเลือกเกิดของ คาร์บอนมอนอกไซด์ (Integrated system of water-gas shift and preferential oxidation of CO)	62
4.3.1 ความว่องไวในการเกิดปฏิกิริยาของระบบโดยรวมของวอเตอร์แก๊สชิฟต์ และออกซิเดชันแบบเลือกเกิดของคาร์บอนมอนอกไซด์	62
4.3.2 การทดสอบเสถียรภาพหรือความคงทนในระยะยาวของตัวเร่งปฏิกิริยา สำหรับระบบโดยรวมของวอเตอร์แก๊สชิฟต์และออกซิเดชันแบบเลือกเกิด ของคาร์บอนมอนอกไซด์	64
4.4 การทดสอบเสถียรภาพของระบบโดยรวมของรีฟอร์มมิ่งของมีเทนด้วย คาร์บอนไดออกไซด์ วอเตอร์แก๊สชิฟต์และออกซิเดชันแบบเลือกเกิดของ คาร์บอนมอนอกไซด์ (Deactivation tests of Integrated system of CO <sub>2</sub> reforming of CH <sub>4</sub> , water-gas shift reaction and preferential oxidation of CO)	66
<b>บทที่ 5 สรุปผลการวิจัย</b>	<b>68</b>
<b>บรรณานุกรม</b>	<b>70</b>
<b>ภาคผนวก</b>	<b>75</b>
ภาคผนวก ก	76
ภาคผนวก ข	80
ภาคผนวก ค	82

## สารบัญภาพ

หัวข้อ	หน้า
2.1 เทคโนโลยีในการผลิตไฮโดรเจน	10
2.2 พลังงานขั้นต้นของห้วงโลกที่คาดการณ์ไว้ในปี 2050 (มากกว่า 25 กิกะตัน เทียบเท่ากิจกรรมของสมมูลน้ำมันดิบ)	12
2.3 กระบวนการสังเคราะห์แก๊สไฮโดรเจนโดยใช้สารตั้งต้นและเหล็กให้พลังงาน จากธรรมชาติ	14
2.4 อุณหภูมิที่มีผลต่อองค์ประกอบที่สมดุลทางอุณหพลศาสตร์ของผลิตภัณฑ์ที่ได้ จากอัตราส่วนโมลาร์ของ $\text{CH}_4:\text{CO}_2$ เท่ากับ 1:1 ที่ความดันบรรยายกาศ	15
4.1 รูปแบบการเลี้ยวเบนรังสีเอกซ์ของตัวเร่งปฏิกิริยา $\text{Cu}_{0.15}\text{CeFe}_{0.5}$	35
4.2 ภาพถ่ายด้วยเทคนิคที่อิเม็มสำหรับตัวเร่งปฏิกิริยา $\text{Cu}_{0.15}\text{CeFe}_{0.5}$	36
4.3 ภาพถ่ายด้วยเทคนิคเօสทีอิเม็มสำหรับตัวเร่งปฏิกิริยา $\text{Cu}_{0.15}\text{CeFe}_{0.5}$	37
4.4 ค่าการเปลี่ยนของคาร์บอนมอนอกไซด์และค่าการเลือกเกิดของคาร์บอนมอนอกไซด์ที่ อัตราส่วนออกซิเจนต่ocardบอนมอนอกไซด์ต่างๆ ซึ่งเป็นพังก์ชันของอุณหภูมิ สำหรับ ออกซิเดชันแบบขั้นเดียวโดยคงที่อัตราส่วนน้ำหนักของตัวเร่งปฏิกิริยาต่ออัตราเร็วสาย ป้อน ไว้ที่ 0.12 กรัม วินาทีต่อลูกบาศก์เซนติเมตร	38
4.5 ค่าการเปลี่ยนของคาร์บอนมอนอกไซด์และค่าการเลือกเกิดของคาร์บอนมอนอกไซด์ที่ อัตราส่วน W/F ต่างๆ เป็นพังก์ชันของอุณหภูมิ สำหรับออกซิเดชันแบบเลือกเกิดของ คาร์บอนมอนอกไซด์แบบขั้นเดียว โดยคงที่อัตราส่วนออกซิเจนต่ocardบอนมอนอกไซด์ ไว้ เท่ากับ 1.0	40
4.6 ค่าการเปลี่ยนของคาร์บอนมอนอกไซด์และค่าการเลือกเกิดของคาร์บอนมอนอกไซด์ที่ อัตราส่วนออกซิเจนต่ocardบอนมอนอกไซด์และอัตราส่วน W/F ต่างๆ เป็นพังก์ชันของ อุณหภูมิ สำหรับออกซิเดชันแบบเลือกเกิดของคาร์บอนมอนอกไซด์แบบขั้นเดียว	41

ฐานที่	หน้า
4.7 พล็อตความนำ่จะเป็นปกติแบบครึ่งของผลกระทบสัมบูรณ์ของอัตราส่วนออกซิเจนต่อ คาร์บอนมอนอกไซด์ อัตราส่วน W/F และอัตราปริมาณของปัจจัยทั้งสองสำหรับ (a) ค่า การเปลี่ยนของคาร์บอนมอนอกไซด์และ (b) ค่าการเลือกเกิดของคาร์บอนมอนอกไซด์ 44	
4.8 พล็อตความนำ่จะเป็นปกติของส่วนตกล้างสำหรับ (a) ค่าการเปลี่ยนของ คาร์บอนมอนอกไซด์และ (b) ค่าการเลือกเกิดของคาร์บอนมอนอกไซด์ 45	
4.9 พล็อตหนึ่งปัจจัยของปัจจัยหลักสำหรับ (a) อัตราส่วนออกซิเจนต่อคาร์บอนมอนอกไซด์ และ (b) อัตราส่วน W/F 46	
4.10 ค่าการเปลี่ยนของคาร์บอนมอนอกไซด์และค่าการเลือกเกิดของคาร์บอนมอนอกไซด์ที่ เป็นฟังก์ชันของอุณหภูมิปฏิกิริยาที่อัตราส่วนแบ่งแยกปริมาณตัวเร่งปฏิกิริยาต่างๆ สำหรับออกซิเดชันแบบเลือกเกิดของคาร์บอนมอนอกไซด์แบบสองขั้น ที่อัตราส่วน แบ่งแยกออกซิเจนไว้ที่ 1:1 อัตราส่วนออกซิเจนต่อคาร์บอนมอนอกไซด์ เท่ากับ 1.5 และอัตราส่วน W/F เท่ากับ 0.36 กรัม วินาทีต่อลูกบาศก์เซนติเมตร 48	
4.11 ค่าการเปลี่ยนของคาร์บอนมอนอกไซด์และค่าการเลือกเกิดของคาร์บอนมอนอกไซด์ที่ เป็นฟังก์ชันของอุณหภูมิปฏิกิริยาที่อัตราส่วนแบ่งแยกออกซิเจนต่างๆ (1:1 1:2 และ 2:1) สำหรับออกซิเดชันแบบเลือกเกิดของคาร์บอนมอนอกไซด์แบบสองขั้น อัตราส่วนแบ่งแยก ปริมาณตัวเร่งปฏิกิริยาที่ 1:1 อัตราส่วนออกซิเจนต่อคาร์บอนมอนอกไซด์ เท่ากับ 1.5 และ อัตราส่วน W/F เท่ากับ 0.36 กรัม วินาทีต่อลูกบาศก์เซนติเมตร 50	
4.12 พล็อตความนำ่จะเป็นปกติแบบครึ่งหนึ่งของผลกระทบสัมบูรณ์ของอัตราส่วนแบ่งแยก ออกซิเจน อัตราส่วนแบ่งแยกปริมาณตัวเร่งปฏิกิริยาและอัตราปริมาณของปัจจัยทั้งสอง สำหรับ (a) ค่าการเปลี่ยนของคาร์บอนมอนอกไซด์และ (b) ค่าการเลือกเกิดของ คาร์บอนมอนอกไซด์ 53	
4.13 พล็อตความนำ่จะเป็นปกติของส่วนตกล้างสำหรับ (a) ค่าการเปลี่ยนของ คาร์บอนมอนอกไซด์และ (b) ค่าการเลือกเกิดของคาร์บอนมอนอกไซด์ 54	

## รูปที่

หน้า

- 4.14 ผลลัพธ์จากการทดสอบปฏิกิริยาของเตอร์แก๊สซิฟต์ในขันแรกบนตัวเร่งปฏิกิริยาดัดแปร  
สูญน้ำออกเดง ภายใต้อัตราส่วนไอน้ำต่อคาร์บอน (S/C ratio) เท่ากับ 1-7 อุณหภูมิ  
ปฏิกิริยา 450 องศาเซลเซียส อัตราเร็วของแก๊สผงสมผ่านเบด (GHSV) เท่ากับ 32,000  
ลูกบาศก์เซนติเมตรต่อ(ชั่วโมง กรัมของตัวเร่งปฏิกิริยา) โดยประมาณ และองค์ประกอบ  
แก๊สประกอบด้วยไฮโดรเจนประมาณร้อยละ 49 โดยปริมาตร คาร์บอนมอนอกไซด์  
ประมาณร้อยละ 50 โดยปริมาตร มีเทนน้อยกว่าร้อยละ 0.4 โดยปริมาตร และ  
คาร์บอนไดออกไซด์น้อยกว่าร้อยละ 0.5 โดยปริมาตร (อ้างอิงในสภาวะที่ไม่มีน้ำและ  
ไฮเดรย์) (a) ค่าการเปลี่ยนของคาร์บอนมอนอกไซด์ ( $X_{CO, WGS}$ ) ค่าการเลือกเกิดของ  
คาร์บอนไดออกไซด์ ( $S_{CO_2, WGS}$ ) และค่าการเลือกเกิดของไฮโดรเจน ( $S_{H_2, WGS}$ ) เป็นฟังก์ชัน  
ของอัตราส่วน S/C (b) องค์ประกอบของแก๊สผงสมขาออก (อ้างอิงในสภาวะที่ไม่มีน้ำและ  
ไฮเดรย์) ที่ได้จากปฏิกิริยาของเตอร์แก๊สซิฟต์ในขันแรกเป็นฟังก์ชันของอัตราส่วน S/C 57
- 4.15 ผลลัพธ์จากการทดสอบปฏิกิริยาในขันที่สองบนตัวเร่งปฏิกิริยาดัดแปรสูญน้ำออกเดง  
ภายใต้อุณหภูมิปฏิกิริยา 350-450 องศาเซลเซียส อัตราส่วนไอน้ำต่อคาร์บอน เท่ากับ  
6 โดยประมาณ อัตราเร็วของแก๊สผงสมผ่านเบด เท่ากับ 36,000 ลูกบาศก์เซนติเมตรต่อ<sup>(ชั่วโมง กรัมของตัวเร่งปฏิกิริยา)</sup> โดยประมาณ และองค์ประกอบแก๊สประกอบด้วย<sup>(ชั่วโมง กรัมของตัวเร่งปฏิกิริยา)</sup>  
ไฮโดรเจนประมาณร้อยละ 68 โดยปริมาตร คาร์บอนมอนอกไซด์ประมาณร้อยละ 1.5  
โดยปริมาตร มีเทนน้อยกว่าร้อยละ 0.7 โดยปริมาตร และคาร์บอนไดออกไซด์ประมาณ  
ร้อยละ 30 โดยปริมาตร (อ้างอิงในสภาวะที่ไม่มีน้ำและไฮเดรย์) (a) ค่าการเปลี่ยนของ  
คาร์บอนมอนอกไซด์ ( $X_{CO, WGS}$ ) ค่าการเลือกเกิดของคาร์บอนไดออกไซด์ ( $S_{CO_2, WGS}$ )  
และค่าการเลือกเกิดของไฮโดรเจน ( $S_{H_2, WGS}$ ) เป็นฟังก์ชันของอัตราส่วน S/C  
(b) องค์ประกอบของแก๊สผงสมขาออก (อ้างอิงในสภาวะที่ไม่มีน้ำและไฮเดรย์) ที่ได้จาก  
ปฏิกิริยาของเตอร์แก๊สซิฟต์ในขันที่สองเป็นฟังก์ชันของอัตราส่วน S/C 59

4.16 ผลลัพธ์จากการทดสอบปฏิกิริยาออกซิเดชันแบบเลือกเกิดขึ้นของคาร์บอนมอนอกไซด์ในแต่ละชั้นบนตัวเร่งปฏิกิริยา  $Cu_{0.15}CeFe_{0.5}$  ภายใต้อุณหภูมิปฏิกิริยา 175 องศาเซลเซียส อัตราเร็วของแก๊สผสมผ่านเบด (GHSV) เท่ากับ 26,000 ลูกบาศก์เซนติเมตรต่อ(ชั่วโมง gramm ของตัวเร่งปฏิกิริยา) โดยประมาณ สำหรับปฏิกิริยาชั้นแรกและ 28,000 ลูกบาศก์เซนติเมตรต่อ(ชั่วโมง gramm ของตัวเร่งปฏิกิริยา) โดยประมาณ สำหรับปฏิกิริยาชั้นที่สอง และองค์ประกอบแก๊สเข้าไปประกอบด้วยไฮโดรเจนประมาณร้อยละ 68 โดยปริมาตร คาร์บอนมอนอกไซด์น้อยกว่าร้อยละ 0.7 โดยปริมาตร มีเทนน้อยกว่าร้อยละ 0.7 โดยปริมาตร และคาร์บอนไดออกไซด์ประมาณร้อยละ 30 โดยปริมาตร (อ้างอิงในสภาพที่ไม่มีน้ำและอีเดียม) สำหรับปฏิกิริยาชั้นแรกและไฮโดรเจนประมาณร้อยละ 68 โดยปริมาตร ออกซิเจนน้อยกว่าร้อยละ 0.2 โดยปริมาตร คาร์บอนมอนอกไซด์น้อยกว่าร้อยละ 0.2 โดยปริมาตร มีเทนน้อยกว่าร้อยละ 0.7 โดยปริมาตร และคาร์บอนไดออกไซด์ประมาณร้อยละ 30.9 โดยปริมาตร (อ้างอิงในสภาพที่ไม่มีน้ำและอีเดียม) สำหรับปฏิกิริยาชั้นที่สอง  
 (a) ค่าการเปลี่ยนของคาร์บอนมอนอกไซด์ ( $X_{CO,PROX}$ ) และค่าการเลือกเกิดของคาร์บอนมอนอกไซด์ ( $S_{CO,PROX}$ ) สำหรับปฏิกิริยาในแต่ละชั้น (b) องค์ประกอบของแก๊สผสมจากออก (อ้างอิงในสภาพที่ไม่มีน้ำและอีเดียม) ที่ได้จากปฏิกิริยาออกซิเดชันแบบเลือกเกิดของคาร์บอนมอนอกไซด์ในแต่ละชั้น

61

4.17 ความกว้างไวในการเกิดปฏิกิริยาของระบบโดยรวมของวงเตอร์แก๊สซิฟต์และออกซิเดชันแบบเลือกเกิดของคาร์บอนมอนอกไซด์บน (a) ตัวเร่งปฏิกิริยา  $Cu_{0.30}Zn_{0.5}Fe$  (สำหรับวงเตอร์แก๊สซิฟต์) และ  $Cu_{0.15}CeFe_{0.5}$  (สำหรับออกซิเดชันแบบเลือกเกิดของคาร์บอนมอนอกไซด์) และ (b) ตัวเร่งปฏิกิริยาดัดแปลงทางเดง (สำหรับวงเตอร์แก๊สซิฟต์) และ  $Cu_{0.15}CeFe_{0.5}$  (สำหรับออกซิเดชันแบบเลือกเกิดของคาร์บอนมอนอกไซด์) โดยที่  
 - หน่วยวงเตอร์แก๊สซิฟต์: อุณหภูมิปฏิกิริยา เท่ากับ 350 องศาเซลเซียส อัตราส่วน W/F เท่ากับ 0.24 กรัม วินาทีต่อลูกบาศก์เซนติเมตร แก๊สเข้าไปประกอบด้วยน้ำร้อยละ 30 โดยปริมาตร คาร์บอนมอนอกไซด์ร้อยละ 3 โดยปริมาตร ไฮโดรเจนร้อยละ 40 โดยปริมาตร สมดุลด้วยอีเดียม

## รูปที่

หน้า

- หน่วยอุกซิเดชันแบบเลือกเกิดของคาร์บอนมอน : อุณหภูมิปฏิกิริยา เท่ากับ 175 องศาเซลเซียส อัตราส่วน W/F เท่ากับ 0.36 กรัม วินาทีต่อลูกบาศก์เซนติเมตร แก๊สขาเข้าประกอบด้วยอุกซิเจนร้อยละ 1.5 โดยปริมาตร คาร์บอนมอนออกไซด์น้อยกว่าร้อยละ 1% โดยปริมาตร ไฮโดรเจนประมาณร้อยละ 42 โดยปริมาตร สมดุลด้วยฮีเลียม (ในสภาพไม่มีน้ำ) 63
- 4.18 การทดสอบความคงทนของตัวเร่งปฏิกิริยาสำหรับระบบโดยรวมของ瓦เตอร์แก๊สชีฟต์ และอุกซิเดชันแบบเลือกเกิดของคาร์บอนมอนออกไซด์ เป็นเวลา 24 ชั่วโมง ที่สภาวะที่เหมาะสม(สัญลักษณ์ปิด แทน ค่าการเปลี่ยนของคาร์บอนมอนออกไซด์ และสัญลักษณ์เปิด แทน ค่าการเลือกของคาร์บอนไดออกไซด์สัญลักษณ์) โดยที่
- หน่วยวาเตอร์แก๊สชีฟต์ : อุณหภูมิปฏิกิริยา เท่ากับ 350 องศาเซลเซียส อัตราส่วน W/F เท่ากับ 0.24 กรัม วินาทีต่อลูกบาศก์เซนติเมตร แก๊สขาเข้าประกอบด้วยน้ำร้อยละ 3 โดยปริมาตร คาร์บอนมอนออกไซด์ร้อยละ 3 โดยปริมาตร ไฮโดรเจนร้อยละ 40 โดยปริมาตร สมดุลด้วยฮีเลียม
  - หน่วยอุกซิเดชันแบบเลือกเกิดของคาร์บอนมอน : อุณหภูมิปฏิกิริยา เท่ากับ 175 องศาเซลเซียส อัตราส่วน W/F เท่ากับ 0.36 กรัม วินาทีต่อลูกบาศก์เซนติเมตร แก๊สขาเข้าประกอบด้วยอุกซิเจนร้อยละ 1.5 โดยปริมาตร คาร์บอนมอนออกไซด์น้อยกว่าร้อยละ 1% โดยปริมาตร ไฮโดรเจนประมาณร้อยละ 42 โดยปริมาตร สมดุลด้วยฮีเลียม (ในสภาพไม่มีน้ำ) 65
- 4.19 ผลการทดสอบการเสื่อมสภาพของปฏิกิริยาฟอร์มมิ่งของมีเทนด้วยคาร์บอนไดออกไซด์ วาเตอร์แก๊สชีฟต์และอุกซิเดชันแบบเลือกเกิดของคาร์บอนมอนออกไซด์เทียบกับเวลาที่แก๊สผ่านเบด 66
- 4.20 องค์ประกอบของแก๊สจากอุกซิเดชันที่ได้จากปฏิกิริยาฟอร์มมิ่งของมีเทนด้วยคาร์บอนไดออกไซด์ วาเตอร์แก๊สชีฟต์และอุกซิเดชันแบบเลือกเกิดของคาร์บอนมอนออกไซด์ 67

## สารบัญตาราง

ตารางที่	หน้า
2.1 การเปรียบเทียบสมบัติของไฮโดรเจนกับไฮdroجينideอื่น	9
2.2 ค่าคงที่สมดุลวอเตอร์แก๊สซีฟต์	17
4.1 ลักษณะเฉพาะของตัวเร่งปฏิกิริยา $Cu_{0.15}CeFe_{0.5}$	35
4.2 การวิเคราะห์ความแปรปรวนของค่าการเปลี่ยนของค่าร์บอนมอนอกไซด์ที่แปลงข้อมูลให้อยู่ในรูป根กำลังสองหรือ square root transform ( $y' = \sqrt{y}$ ) สำหรับออกซิเดชันแบบเลือกเกิดของค่าร์บอนมอนอกไซด์แบบขั้นเดียว	43
4.3 การวิเคราะห์ความแปรปรวนของค่าการเปลี่ยนของค่าร์บอนมอนอกไซด์ที่แปลงข้อมูลให้อยู่ในรูป根กำลังสองหรือ square root transform ( $y' = \sqrt{y}$ ) สำหรับออกซิเดชันแบบเลือกเกิดของค่าร์บอนมอนอกไซด์แบบสองขั้น	52
4.4 สมการะห์มาสมที่เกิดปฏิกิริยาออกซิเดชันอย่างสมบูรณ์	55

## บทที่ 1

### บทนำ

#### 1.1 ที่มาและความสำคัญของปัญหา

ในภารกิจดูแลน้ำที่มีความสำคัญอย่างยิ่งที่จะต้องพึ่งพาพลังงาน ทั้งในการผลิตสินค้าสำหรับอุปกรณ์และบริโภค การคมนาคมขนส่ง การประกอบธุรกิจ ฯลฯ ซึ่งพลังงานที่ใช้ส่วนใหญ่เป็นพลังงานที่ได้จากเชื้อเพลิงฟอสซิล (Fossil Fuels) ขันได้แก่ น้ำมัน แก๊สธรรมชาติ และถ่านหิน เป็นต้น<sup>[1]</sup> เชื้อเพลิงเหล่านี้นอกจากมีอยู่จำกัดแล้ว ยังก่อให้เกิดแก๊สเรือนกระจก เมื่อเปลี่ยนรูปเชื้อเพลิงเหล่านี้ไปเป็นพลังงาน อันส่งผลให้เกิดการเปลี่ยนแปลงภูมิอากาศ (Climate Change)<sup>[2]</sup> ของโลก เนื่องด้วยความต้องการพลังงานเพื่อใช้ประโยชน์ทางด้านเศรษฐกิจและการดำรงชีพเพิ่มมากขึ้น จึงต้องมีการแสวงหาเชื้อเพลิงใหม่เพื่อทดแทนเชื้อเพลิงฟอสซิลที่กำลังจะหมดไป ไฮโดรเจนจึงเป็นทางเลือกหนึ่งที่ได้รับความสนใจมากในขณะนี้ เนื่องจากไฮโดรเจนเป็นเชื้อเพลิงสะอาด ไม่ก่อให้เกิดการเปลี่ยนแปลงทางภูมิอากาศหรือภาวะเรือนกระจก อีกทั้งไฮโดรเจนยังสามารถใช้ในการผลิตไฟฟ้าจากเซลล์เชื้อเพลิง<sup>[3]</sup> ให้เป็นเชื้อเพลิงให้ความร้อนในอุตสาหกรรมที่ต้องการความบริสุทธิ์สูง และใช้เป็นสารตั้งต้นในกระบวนการต่างๆ เช่นกระบวนการไฮโดรทรีตติ้งและไฮโดรเครกิกของปิโตรเลียมแฟร์กชัน กระบวนการไฮโดรเจนชันในกระบวนการกลั่นแยกปิโตรเลียมและอุตสาหกรรมปิโตรเคมี กระบวนการผลิตโลหะจากการรีดักชันโลหะออกไซด์ ตลอดจนอุตสาหกรรมการเคลือบแก้ว<sup>[4]</sup> เช่น แอมโมเนีย เมทานอล สารประกอบไฮโดรคาร์บอนจากกระบวนการฟิชเชอร์ทรอปซ์ เป็นต้น<sup>[4,5]</sup>

วิธีการที่ใช้ในการผลิตเชื้อเพลิงไฮโดรเจน มีบทบาทสำคัญต่อการพัฒนาและการออกแบบกระบวนการและตัวเร่งปฏิกิริยาที่ใช้ในกระบวนการผลิตเชื้อเพลิง ซึ่งความปราณາสูงสุดคือผลิตไฮโดรเจนให้ได้ปริมาณมาก ความบริสุทธิ์สูงหรือมีปริมาณคาร์บอนออกไซด์ให้น้อยกว่า 100

ส่วนในล้านส่วนโดยประมาณ<sup>[6]</sup> เนื่องจากค่ารับอนุมอนอกไซด์สามารถดูดซับอย่างแข็งแรงบนตัวเร่งปฏิกิริยาแพลทินัมที่ข้าวแครอนด์ในเซลล์เชื้อเพลิง ทำให้ประสิทธิภาพของเซลล์ลดลงอย่างรวดเร็ว นอกจานี้อยุการใช้งาน ต้นทุนการผลิตและความเสถียรต่อการใช้งานในสภาวะการใช้งานที่ไม่ต่อเนื่องก็เป็นสิ่งสำคัญที่ต้องคำนึงถึงถึงควบคู่ไปด้วย

ผลของการวิจัยและพัฒนากระบวนการผลิตเชื้อเพลิงในต่างประเทศที่ผ่านมา อาจกล่าวได้ว่าประสบความสำเร็จได้ดีในระดับหนึ่ง สำหรับประเทศไทยแล้วการวิจัยและค้นคว้ากระบวนการดังกล่าวยังไม่เป็นที่แพร่หลายนัก ซึ่งถ้าสามารถนำเทคโนโลยีมาพัฒนาและประยุกต์ใช้ภายในประเทศไทยให้เชื้อเพลิงธรรมชาติที่ผลิตใช้ได้ลงตัวในประเทศไทยอย่างแก๊สธรรมชาติหรือเอ็นจีวีจะเป็นแรงผลักดันในการใช้เทคโนโลยีสะอาดซึ่งเป็นมิตรต่อสิ่งแวดล้อมและรองรับการใช้พลังงานที่เพิ่มขึ้นในแต่ละวัน ในการศึกษากระบวนการผลิตเชื้อเพลิงไฮโดรเจนจากแก๊สธรรมชาติยังคงมีประเด็นสำคัญที่ต้องศึกษาคือ ในส่วนของรีฟอร์มมิ่งหรือการเปลี่ยนรูปเชื้อเพลิง แก๊สธรรมชาติจะแก๊สมิเทนที่เป็นองค์ประกอบหลักสูงถึงร้อยละ 90 องค์ประกอบอื่นได้แก่ อีเทน โพรเคนและบิวเทน<sup>[7]</sup> ซึ่งยากต่อการเปลี่ยนรูปให้กลายเป็นไฮโดรเจนจะต้องให้ได้ร้อยละผลได้ให้มากที่สุด ส่วนของกระบวนการรวมเตอร์แก๊สชีฟต์ (Water gas shift) ต้องลดประมาณค่ารับอนุมอนอกไซด์ลงให้เหลือน้อยกว่าร้อยละ 1 โดยประมาณ และส่วนของออกซิเดชันแบบเลือกเกิดปฏิกิริยาของค่ารับอนุมอนอกไซด์ต้องลดประมาณค่ารับอนุมอนอกไซด์ให้เหลือน้อยกว่า 100 ส่วนในล้านส่วนของประมาณแก๊สผสมและเลือกเกิดปฏิกิริยาได้ดีหรือสูญเสียไฮโดรเจนจากปฏิกิริยาน้อยที่สุด นอกจากนี้การควบคุมการป้อนสายป้อนเข็น เชื้อเพลิงตั้งตัน น้ำ และแก๊สออกซิเจน รวมถึงการควบคุมอุณหภูมิ ความดัน ชนิดและปริมาณตัวเร่งปฏิกิริยาที่มีส่วนสำคัญต่อประสิทธิภาพในการผลิตเชื้อเพลิง ต้นทุนในการผลิต และอยุการใช้งาน ตลอดจนมีศักยภาพทั้งเที่ยมกับนานาอารยประเทศ

เนื่องจากอัตราการบริโภคพลังงานของประชากรมีค่าสูงขึ้นทุกปีในขณะที่แหล่งพลังงานมีอยู่อย่างจำกัด จึงเกิดความพยายามในการแสวงหาแหล่งพลังงานทดแทนใหม่ๆ เพื่อป้องกันไม่ให้เกิดปัญหาการขาดแคลนพลังงานในอนาคต นอกจากนี้พลังงานทดแทนนี้ควรมีแหล่งพลังงานที่มีอยู่อย่างในประเทศไทยเพื่อการพึ่งพาตนเองด้านพลังงานตลอดจนควรเป็นพลังงานที่เป็นมิตรต่อสิ่งแวดล้อม โดยในที่นี้มุ่งที่จะผลิตแก๊สไฮโดรเจนจากการกระบวนการค่ารับอนไดออกไซด์รีฟอร์มมิ่ง

## 1.2 วัตถุประสงค์ของโครงการวิจัย

1.2.1 ศึกษาหาภาวะที่เหมาะสมในการกำจัดคาร์บอนมอนอกไซด์ออกจากกระแสไฮโดรเจนเข้มข้นโดยใช้กระบวนการรวมเตอร์แก๊สซิฟต์และออกซิเดชันแบบเลือกเกิดปฏิกิริยาของคาร์บอนมอนอกไซด์ให้เหลือน้อยกว่า 100 ส่วนในล้านส่วนบันทึว่างปฏิกิริยาฐานทองแดง

1.2.2 ศึกษาระบบโดยรวมของปฏิกิริยาเริ่ฟอร์มมิ่งมีเนนด้วยคาร์บอนไดออกไซด์ 瓦อเตอร์ แก๊สซิฟต์และออกซิเดชันแบบเลือกเกิดปฏิกิริยาของคาร์บอนมอนอกไซด์ เพื่อการผลิตกระแสไฮโดรเจนเข้มข้นจากแก๊สรีโอลกະຈາກมีเนนและคาร์บอนไดออกไซด์

## 1.3 สมมติฐานการวิจัย

1.3.1 สำหรับปฏิกิริยาของเตอร์แก๊สซิฟต์ ที่ความเข้มข้นของน้ำในแก๊สผสมที่ต่างกันส่งผลกระทบต่อค่าการเปลี่ยนของคาร์บอนมอนอกไซด์ที่ต่างกัน

1.3.2 การใช้สัดส่วนปริมาณตัวเร่งปฏิกิริยาเทียบกับอัตราเร็วสายป้อนของแก๊สผสมที่เหมาะสม ทำให้แก๊สตั้งต้นมีเวลาในการสัมผัสกับพื้นผิวของตัวเร่งปฏิกิริยาที่พอเหมาะสมต่อการเกิดปฏิกิริยา สองผลให้เกิดปฏิกิริยาของเตอร์แก๊สซิฟต์และออกซิเดชันแบบเลือกเกิดของคาร์บอนมอนอกไซด์ได้ผลที่ดี

1.3.3 การผสมออกซิเจนปริมาณน้อยๆ ลงในแก๊สผสมช่วยกระตุ้นให้เกิดปฏิกิริยาออกซิเดชันของคาร์บอนมอนอกไซด์

1.3.4 ปริมาณทองแดงในตัวเร่งปฏิกิริยาที่แตกต่างกันให้ผลต่อความร่องไวในการเกิดปฏิกิริยาที่ต่างกันสำหรับปฏิกิริยาของเตอร์แก๊สซิฟต์

1.3.5 อุณหภูมิที่ใช้ในการทำปฏิกิริยามีผลต่อพุติกรรมทางอุณหพลศาสตร์และจลนศาสตร์

1.3.6 อัตราส่วนโดยไม่ล่าร์ของออกซิเจนต่อคาร์บอนมอนอกไซด์มีผลต่อค่าการเปลี่ยนของคาร์บอนมอนอกไซด์และค่าการเลือกเกิดของคาร์บอนไดออกไซด์ที่ต่างกันสำหรับปฏิกิริยาออกซิเดชันแบบเลือกเกิดของคาร์บอนมอนอกไซด์

#### 1.4 ขอบเขตของการวิจัย

1.4.1 ศึกษาการสั่งเคราะห์หรือเตรียมตัวเร่งปฏิกิริยาฐานนิกเกิลสำหรับปฏิกิริยาออกซิเดชันแบบเลือกเกิดของคาร์บอนมอนอกไซด์

1.4.2 ศึกษาผลของตัวแปรที่มีต่อความกว้างไว้และการเลือกเกิดปฏิกิริยาของตัวเร่งปฏิกิริยาที่เตรียมสำหรับปฏิกิริยาออกซิเดชันแบบเลือกเกิดของคาร์บอนมอนอกไซด์ เพื่อได้ภาวะที่เหมาะสมในการกำจัดคาร์บอนมอนอกไซด์ออกจากกระแสไฮโดรเจนเข้มข้น

1.4.3 ศึกษาระบบโดยรวมของปฏิกิริยาบริฟอร์มมิ่มมีเทนด้วยคาร์บอนไดออกไซด์ ปฏิกิริยาของเตอร์แก๊สซิฟ์และปฏิกิริยาออกซิเดชันแบบเลือกเกิดของคาร์บอนมอนอกไซด์

#### 1.5 ตัวแปรที่ใช้ในการศึกษา

1.5.1 ตัวแปรสำหรับปฏิกิริยาบริฟอร์มมิ่มมีเทนด้วยคาร์บอนไดออกไซด์

ตัวแปรต้น อุณหภูมิในการเกิดปฏิกิริยา

ตัวแปรตาม ค่าการเปลี่ยนของมีเทน ค่าการเปลี่ยนของคาร์บอนมอนอกไซด์ และค่าการเลือกเกิดของไฮโดรเจน

ตัวแปรควบคุม อัตราส่วนโดยไม่ล่าช้าของมีเทนต่อคาร์บอนไดออกไซด์และความเร็วที่เคลื่อนที่ผ่านเบดของแก๊ส

1.5.2 ตัวแปรสำหรับปฏิกิริยาของเตอร์แก๊สซิฟ์

ตัวแปรต้น ปริมาณน้ำในแก๊สผสม อัตราส่วนน้ำหนักของตัวเร่งปฏิกิริยาต่ออัตราเร็วสายป้อน ปริมาณออกซิเจนในแก๊สผสม ปริมาณทองแดงในตัวเร่งปฏิกิริยาและอุณหภูมิในการเกิดปฏิกิริยา

ตัวแปรตาม ค่าการเปลี่ยนของคาร์บอนมอนอกไซด์

ตัวแปรควบคุม อัตราส่วนโดยน้ำหนักของสังกะสีและเหล็กในตัวเร่งปฏิกิริยา และร้อยละโดยปริมาตรของไฮโดรเจนและคาร์บอนมอนอกไซด์ในแก๊สผสม

1.5.3 ตัวแปรสำหรับปฏิกิริยาของออกซิเดชันแบบเลือกเกิดของคาร์บอนมอนอกไซด์

ตัวแปรต้น อัตราส่วนน้ำหนักของตัวเร่งปฏิกิริยาต่ออัตราเร็วสายป้อน อัตราส่วนโดยไม่ล่าช้าของออกซิเจนต่อคาร์บอนมอนอกไซด์ อัตราส่วนแบ่งแยกของออกซิเจน และอัตราส่วนแบ่งแยกของน้ำหนักของตัวเร่งปฏิกิริยา

**ตัวแปรตาม ค่าการเปลี่ยนของคาร์บอนมอนอกไซด์และค่าการเลือกเกิดของ  
คาร์บอนไดออกไซด์**

**ตัวแปรควบคุม อัตราส่วนโดยน้ำหนักของซีเรียมและเหล็กในตัวเร่งปฏิกิริยา  
ปริมาณทองแดงในตัวเร่งปฏิกิริยา และร้อยละต่ำปริมาตรของไฮโดรเจนและคาร์บอนมอนอกไซด์  
ในแก๊สผสม**

### **1.6 คำชี้แจงเบื้องต้น**

#### **1.6.1 คำชี้แจงสำหรับปฏิกิริยาเรืองมีเทนด้วยคาร์บอนไดออกไซด์**

**1.6.1.1 การทดลองให้วิธีการเก็บข้อมูลปกติ กล่าวคือ ทำการควบคุมตัวแปรที่  
ต้องการควบคุมและเปลี่ยนค่าตัวแปรต้นที่ต้องการศึกษา**

#### **1.6.2 คำชี้แจงสำหรับปฏิกิริยาอเตอร์แก๊สซิฟต์**

**1.6.2.1 ประยุกต์ใช้การออกแบบการทดลองหรือ Design of experiments  
(DOE) สำหรับปฏิกิริยาอเตอร์แก๊สซิฟต์ด้วยวิธีแฟคทอเรียล 5 ตัวแปรหรือ  $2^5$  factorial และวิธี  
พื้นผิวตอบสนองหรือ Response surface**

**1.6.2.2 การออกแบบการทดลองทั้งสองวิธีมีการเพิ่มค่ากลางหรือ Central point  
เพื่อใช้ในการตรวจสอบผลของความโค้งหรือ Curvature และใช้ในการพิจารณาความเหมาะสม  
ของสมการทดถอยหรือ Regression model equation**

**1.6.2.3 ความสำคัญของแฟคเตอร์หรือผลกราบทบทของตัวแปรที่ใช้ศึกษานั้น  
พิจารณาที่ระดับความเชื่อมั่นหรือ Confidence interval ร้อยละ 95**

#### **1.6.3 คำชี้แจงสำหรับปฏิกิริยาออกซิเดชันแบบเลือกเกิดของคาร์บอนมอนอกไซด์**

**1.6.3.1 ประยุกต์ใช้การออกแบบการทดลองหรือ Design of experiments  
(DOE) สำหรับปฏิกิริยาออกซิเดชันแบบเลือกเกิดของคาร์บอนมอนอกไซด์ด้วยวิธีแฟคทอเรียล 2  
ตัวแปรแบบบล็อกอุณหภูมิหรือ Temperature blocking  $2^2$  factorial**

**1.6.3.2 การออกแบบการทดลองทั้งสองวิธีมีการเพิ่มค่ากลางหรือ Central point  
เพื่อใช้ในการตรวจสอบผลของความโค้งหรือ Curvature และใช้ในการพิจารณาความเหมาะสม  
ของสมการทดถอยหรือ Regression model equation**

**1.6.3.3 ความสำคัญของแฟคเตอร์หรือผลกราบทบทของตัวแปรที่ใช้ศึกษานั้น  
พิจารณาที่ระดับความเชื่อมั่นหรือ Confidence interval ร้อยละ 95**

## 1.7 ระยะเวลาดำเนินการวิจัย

ตั้งแต่เดือนมิถุนายน พ.ศ. 2555 จนถึง สิงหาคม 2557

## 1.8 ประโยชน์ที่ได้รับจากการวิจัย

1.8.1 ได้ตัวเร่งปฏิกิริยาที่มีประสิทธิภาพสำหรับใช้ในกระบวนการผลิตไฮโดรเจน

1.8.2 ตัวเร่งปฏิกิริยา มีวิธีการเตรียมที่ง่าย ไม่ซับซ้อน และผลิตขึ้นใช้เองได้ภายในประเทศ

1.8.3 นำแก๊สมีเทนและคาร์บอนมอนอกไซด์ ซึ่งเป็นแก๊สเรือนกระจกที่ส่งผลกระทบต่อสิ่งแวดล้อม มาใช้ให้เกิดประโยชน์

1.8.4 ได้องค์ความรู้ต่อยอดจากการศึกษาวิจัย ตลอดจนได้แนวทางในประยุกต์ใช้งานจริง กับแก๊สธรรมชาติที่ผลิตได้ภายในประเทศและแนวทางในการพัฒนาการผลิตเชื้อเพลิงไฮโดรเจนที่มีความบริสุทธิ์สูง ซึ่งตอบโจทย์กับการใช้งานด้านอุตสาหกรรมได้อย่างมีประสิทธิภาพ

1.8.5 ได้เผยแพร่ผลงาน โดยการนำเสนอผลงานและตีพิมพ์ผลงานลงในวารสารต่างประเทศ เพื่อเป็นการบริการความรู้ทั่วไปในวิชาการ ภาคอุตสาหกรรมและผู้สนใจ

## 1.9 นิยามศัพท์เฉพาะ

1.9.1 อัตราส่วนน้ำหนักของตัวเร่งปฏิกิริยาต่ออัตราเร็วสายป้อนหรือ W/F ratio หมายถึง ปริมาณน้ำหนักของตัวเร่งปฏิกิริยาที่ใช้ (หน่วยเป็น กรัม) หารด้วยอัตราเร็วโดยรวมของแก๊สผสมทุกชนิด (หน่วยเป็น ลูกบาศก์เซนติเมตรต่อวินาที)

1.9.2 ปริมาณทองแดงในตัวเร่งปฏิกิริยาหรือ Cu molar ratio หมายถึง อัตราส่วนโดยโมลาร์ของทองแดง ต่อปริมาณของโลหะทุกชนิดในตัวเร่งปฏิกิริยา ได้แก่ ทองแดง สังกะสี และเหล็ก อาจเขียนในรูป  $Cu/(Cu+Zn+Fe)$

1.9.3 อัตราส่วนโดยน้ำหนักของสังกะสีและเหล็กในตัวเร่งปฏิกิริยา หมายถึง ปริมาณน้ำหนักของสังกะสีเทียบกับปริมาณน้ำหนักของเหล็กที่มีอยู่ในตัวเร่งปฏิกิริยา ในหน่วยเทียบกรัม ต่อกัน

1.9.4 อัตราส่วนแบ่งแยกของออกซิเจนหรือ O<sub>2</sub> split ratio หมายถึง หมายถึง อัตราส่วนโดยโมลาร์ของออกซิเจนที่ป้อนเข้าสู่เตาปฏิกิริย์เครื่องที่หนึ่งต่อออกซิเจนที่ป้อนเข้าสู่เตาปฏิกิริย์เครื่องที่สอง

1.9.5 อัตราส่วนแบ่งแยกของน้ำหนักของตัวเร่งปฏิกิริยาหรือ Catalyst weight split ratio หมายถึง หมายถึง อัตราส่วนโดยไม่ล่าร์ของน้ำหนักของตัวเร่งปฏิกิริยาที่บรรจุในเตาปฏิกิริณ์เครื่อง ที่หนึ่งต่อน้ำหนักของตัวเร่งปฏิกิริยาที่บรรจุในเตาปฏิกิริณ์เครื่องที่สอง

## บทที่ 2

### ทฤษฎีและงานวิจัยที่เกี่ยวข้อง

#### 2.1 ทฤษฎี

##### 2.1.1 ไฮโดรเจน (Hydrogen) [8]

###### 2.1.1.1 สมบัติทางเชื้อเพลิง (Fuel property)

ไฮโดรเจนเป็นเชื้อเพลิงที่ติดไฟได้ง่ายภายในช่วงความเข้มข้นของอุณหภูมิและกําชีวิตหลากหลาย ซึ่งเป็นที่รู้จักกันดีว่า ไฮโดรเจนมีประสิทธิภาพในการเผาไหม้สูง แต่ จำเป็นอย่างยิ่งที่ต้องคำนึงถึงความปลอดภัยในด้านการผลิต การจัดเก็บ และการขนส่งเป็นสำคัญ เมื่อไฮโดรเจนทำปฏิกิริยากับออกซิเจนในเครื่องยนต์สันดาปหรือเซลล์เชื้อเพลิงพื้นอิมแล้ว จะได้พลังงานและน้ำออกไซน์ระหว่างการเกิดปฏิกิริยา และจากการสำรวจไฮโดรเจนบนพื้นโลกที่ผ่านพบว่า ไฮโดรเจนมักไม่อยู่ในรูปของแก๊ส แต่ส่วนใหญ่มักจะอยู่ในรูปของสารประกอบของออกซิเจน และคาร์บอน เช่น ไฮโดรคาร์บอน และออกไซด์ ถ่านหินและชีวมวล ไฮโดรเจนมีสมบัติทางความร้อนที่สูงเมื่อเทียบกับแก๊สธรรมชาติ แก๊สปิโตเรียมเหลว น้ำมันเบนซินและดีเซล อย่างไรก็ได้ ไฮโดรเจนจำเป็นต้องมีวิธีการเก็บปัญหาพื้นฐานด้านการผลิตพลังงานทดแทนเพื่อการแข่งขันทั้งทางเทคนิคและเศรษฐศาสตร์ โดยเฉพาะปัญหาเกี่ยวกับการจัดการไฮโดรเจนหลังการผลิต ซึ่งได้แก่ การขนส่ง การเก็บรักษา การแยกจ่ายหรือกระจายไปยังพื้นที่ต่างๆ และท้ายที่สุดคือ ด้านการใช้งานที่เหมาะสม ดังนั้นปัญหาเหล่านี้ต้องได้รับการแก้ไขก่อนที่ไฮโดรเจนนั้น จะได้รับเลือกให้เป็นสีอกกลางทางด้านพลังงานอย่างเป็นสากระหว่าง [9-23].

### 2.1.1.2 ความจุพลังงาน (Energy Content)

ไฮโดรเจนมีความจุพลังงานสูงสุด (เทียบต่อหน่วยน้ำมันเบนซินเกือบ 3 เท่า (140.4 เมกะจูลต่อ กิโลกรัมเมื่อเทียบกับ 48.6 เมกะจูลต่อ กิโลกรัม) เมื่อเทียบในหน่วยของปริมาตร ไฮโดรเจนเหลว และน้ำมันเบนซินจะมีความจุพลังงานสูงถึง 8,491 เมกะจูลต่อ ลูกบาศก์เมตร และ 31,150 เมกะจูลต่อ ลูกบาศก์เมตร ตามลำดับ ด้วยไฮโดรเจนมีความหนาแน่นเชิงปริมาตรต่ำจึงเป็นปัจจัยการจัดเก็บ โดยเฉพาะอย่างยิ่งในการใช้เป็นเชื้อเพลิงสำหรับยานยนต์ จำเป็นต้องใช้ภาชนะที่มีขนาดใหญ่เพียงพอในการจัดเก็บ ไฮโดรเจนสำหรับใช้ในการขับเคลื่อนเครื่องยนต์ และที่สำคัญสมบูรณ์ทางกายภาพของเชื้อเพลิงส่งผลกระทบต่อความหนาแน่นพลังงานของไฮโดรเจน ไม่ว่าจะเป็นน้ำมันเชื้อเพลิงที่ถูกเก็บในรูปของเหลวหรือแก๊ส คุณสมบัติที่เกี่ยวข้องกับพลังงานของไฮโดรเจน เมื่อเทียบกับเชื้อเพลิงอื่นๆ แสดงในตารางที่ 2.1

ตารางที่ 2.1 การเปรียบเทียบสมบูรณ์ของไฮโดรเจนกับเชื้อเพลิงชนิดอื่น (ดัดแปลงจาก [8])

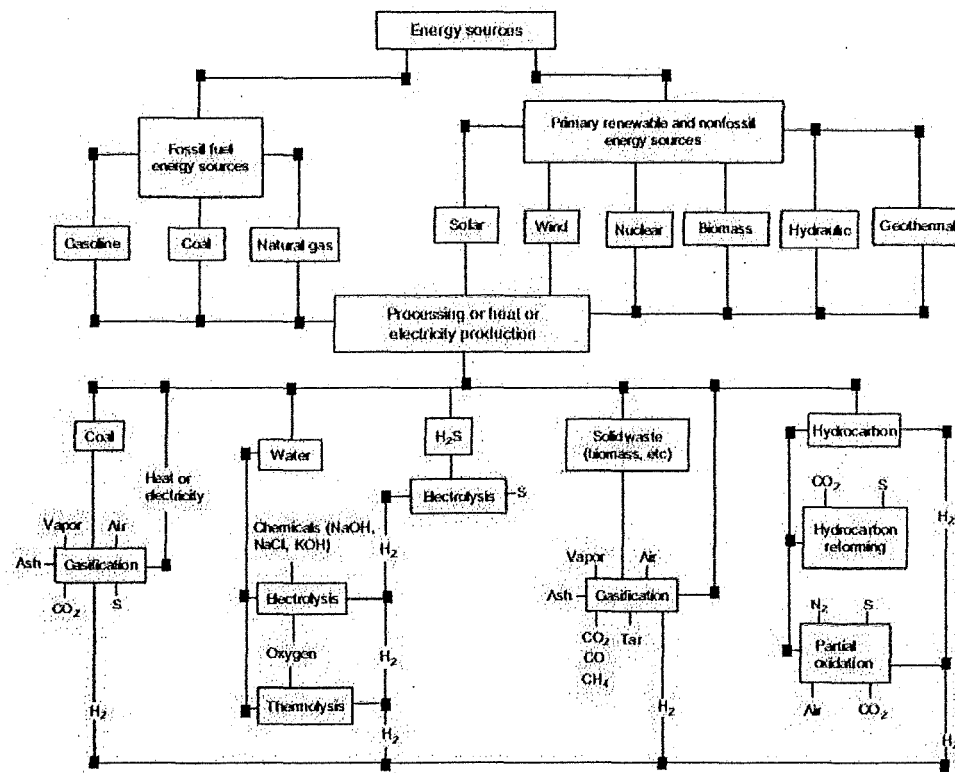
เชื้อเพลิง	ค่าความร้อนต่ำ (เมกะจูลต่อ กิโลกรัม)	ค่าความร้อนสูง (เมกะจูลต่อ กิโลกรัม)	อัตราสวนสัมพันธ์ของต่อ กิโลกรัม)	อัตราสวน (ร้อยละ)	ช่วงการเผาไหม้ (ร้อยละ)	อุณหภูมิ (องศาเซลเซียส)	พลังงาน (เมกะจูล)	อุณหภูมิ (องศาเซลเซียส)
มีเทน	50.0	55.5	17.2	5–15	1914	0.30	540–630	
โพเรน	45.6	50.3	15.6	2.1–9.5	1925	0.30	450	
ออกเทน	47.9	15.1	0.31	0.95–6.0	1980	0.26	415	
เมทานอล	18.0	22.7	6.5	6.7–36.0	1870	0.14	460	
ไฮโดรเจน	119.9	141.6	34.3	4.0–75.0	2207	0.017	585	
แก๊สไฮลีน	44.5	47.3	14.6	1.3–7.1	2307	0.29	260–460	
ดีเซล	42.5	44.8	14.5	0.6–5.5	2327		180–320	

คุณสมบัตินี้ที่สำคัญและน่าสนใจของไฮโดรเจน คือ สมบูรณ์ทางเคมีไฟฟ้าซึ่งสามารถนำไปใช้ในเซลล์เชื้อเพลิงได้ ในปัจจุบันเซลล์เชื้อเพลิงไฮโดรเจนและออกซิเจน มีประสิทธิภาพในการทำงานร้อยละ 50-60 ด้วยอายุการใช้งานได้ถึง 3,000 ชั่วโมง ช่วง

กระแสไฟฟ้าจากอก 440-1,720 แอมป์ต่อตารางเมตรของพื้นผิวข้าไฟฟ้า ซึ่งสามารถให้พลังงานขาออกตั้งแต่ 50-2,500 วัตต์

### 2.1.1.3 อุปทานของไฮโดรเจน (Supply of Hydrogen)

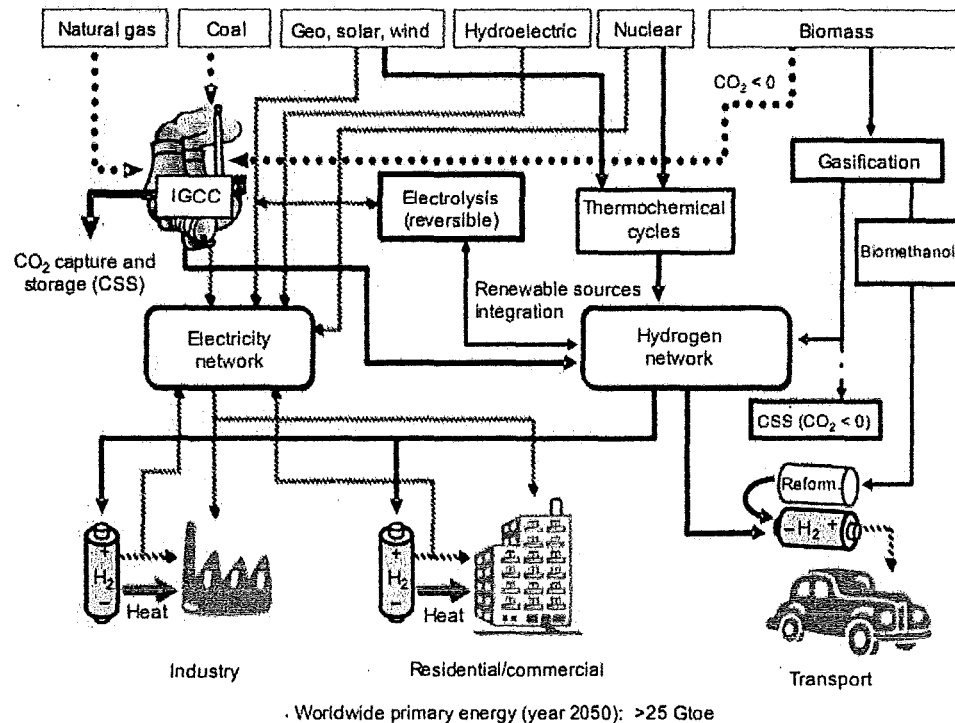
ความสำคัญด้านเศรษฐศาสตร์ของไฮโดรเจน คือ การผลิตไฮโดรเจน พลังงานทั้งหมดที่ถูกใช้ และปริมาณการบอนไดออกไซด์ที่ปลดปล่อยในกระบวนการ การผลิต ไฮโดรเจนในโลกปัจจุบันอยู่ที่ประมาณ 50 ล้านตันต่อปี ซึ่งเทียบเท่าเพียงร้อยละ 2 ของความต้องการพลังงานทั่วโลก ไฮโดรเจนสามารถผลิตได้จากความหลากหลายของทรัพยากรทางพลังงานที่ให้ความหลากหลายของเทคโนโลยีกระบวนการ โดยสรุปที่ให้ไว้ในรูปที่ 2.1



รูปที่ 2.1 เทคนิคที่ใช้ในการผลิตไฮโดรเจน [8]

การใช้พลังงานจากหัวโลกสามารถแบ่งออกเป็นร้อยละ 38.1 ในส่วนของไฟฟ้า ร้อยละ 44.3% ในส่วนของความร้อนและอุตสาหกรรม ร้อยละ 17.6 ในการขนส่ง ไม่ว่าจะเป็นพานพาหนะที่ใช้ไฟฟ้า ประมาณร้อยละ 10 ของกระแสไฟฟ้าที่ผลิตขึ้นจะสูญเสียไปในระหว่างการกระจาย ซึ่งหมายถึง การสูญเสียร้อยละ 4.2 ไปกับพลังงานในชั้นแรกทั้งหมด [24] พลังงานในชั้น

แรกทั่วโลก ในช่วงปี ค.ศ. 2004 เป็น 11.7 กิกะตัน เทียบเท่ากิกะตันของสมมูลน้ำมันดิบ (Gigatons of Oil Equivalent, Gtoe) หรือ 125,000 เทตาวัตต์ ชั่วโมง (Terawatt-hour, TWh) ซึ่ง เทียบเท่ากับ 496 คาด ซึ่งการบริโภคที่คาดการณ์จะเพิ่มขึ้นมากกว่า กิกะตันของสมมูลน้ำมันดิบ ต่อปี ภายในปี 2050 พิจารณาการประมาณค่านอกช่วงเชิงเด่นของอัตราการเติบโตของการบริโภค น้ำมันและอัตราการเพิ่มขึ้นของ น้ำมันสำรองที่รู้จักกัน ก็สามารถอนุมานได้ว่าในตอนท้ายของการ จัดหาปิโตรเลียม อาจจะเกิดขึ้นในรอบปี 2050<sup>[24]</sup> การจัดหาพลังงานไயโตรเจนสามารถพิจารณา เพื่อตอบสนองความต้องการพิเศษ Marban และ Valdes-Solis<sup>[24]</sup> ได้เสนอแผนในการจัดการของ อุปทานหรือความต้องการพลังงานและการเปลี่ยนแปลงจะแสดงในรูปที่ 2.2 เครื่องข่ายไฟฟ้าแบบ ตั้งเดิมจะถูกป้อนบางส่วนที่มีก้าชธรรมชาติและถ่านหิน แม้ว่าส่วนร่วมร้อยละจะลดลง เชื้อเพลิงนี้ จะถูกเปลี่ยนในโรงงานผลิตไฟฟ้าความร้อนถูกผสมในการผลิตไயโตรเจนและไฟฟ้าที่มีการกักเก็บ คาร์บอนโดยออกไซด์ ตัวอย่างเช่น โรงงานที่ใช้กระบวนการแกซิฟิเคชันโดยรวมในวงจรรวม (Integrated gasification in combined cycle, IGCC) รวมกับระบบแยกแก๊สคาร์บอนโดยออกไซด์ (ตัวดูดซับ เยื่อแผ่น ฯลฯ) แนวคิดของโรงไฟฟ้าที่มีความจุสูงนั้น ขึ้นอยู่กับถ่านหินที่เก็บรักษาไว้ ตั้งแต่เชื้อเพลิงนี้ยังไม่ได้เหมาะสมสำหรับการผลิตพลังงาน (ไฟฟ้าหรือไயโตรเจน) ที่ระดับขนาด เล็ก โรงไฟฟ้าเหล่านี้ยังมีความเหมาะสมสำหรับกระบวนการที่ใช้ชีวนมวลเพียงอย่างเดียวหรือใช้ ร่วมกับถ่านหิน ชีวนมวลนี้ส่วนหลักได้มาจากพืชหมุนเวียนระยะสั้นและของเสียอินทรีย์ที่ไม่ได้ใช้ใน กระบวนการเปลี่ยนรูปหรือ โรงกลั่นชีวภาพ สำหรับการผลิตไயโตรเจนและเชื้อเพลิงชีวภาพ (แสดง ในรูป 2.2) ในการจัดหาไயโตรเจนไปยังพื้นที่ห่างไกลจากเครื่องข่ายทั่วไป มักจะมีความจำเป็นที่จะ สร้างสถานีเติมแก๊ส อุปทานที่มากที่สุดจะมีการจัดโดยเครื่องข่ายของสถานีเติมเชื้อเพลิงไயโตรเจน ใน การที่จะจัดทำโดยระบบท่อที่เชื่อมต่อกับโรงงานผลิตขนาดใหญ่ โรงงานผลิตไยาโตรเจนเหล่านี้ จะใช้การผสานผสานของแหล่งพลังงานหลักที่เหมาะสมที่สุดในแต่ละภูมิภาค<sup>[24,25]</sup>



รูปที่ 2.2 พลังงานขั้นต้นของทั่วโลกที่คาดการณ์ไว้ในปี 2050 (มากกว่า 25 กิกะตัน เทียบเท่ากิจกรรมต้นของสมมูลน้ำมันดิบ) [8].

การนำแก๊สไฮโดรเจนมาใช้เป็นเชื้อเพลิง ยังมีข้อจำกัดหรือข้อเสีย เช่น กันโดยข้อจำกัดหลักคือ [5]

### 1) แก๊สไฮโดรเจนที่สังเคราะห์ได้มีราคาสูง

เนื่องมาจากขั้นตอนที่ใช้ในการผลิตและการทำให้แก๊สไฮโดรเจนบริสุทธิ์ ยังมีขั้นตอนที่ซับซ้อน ทำปฏิกิริยาที่อุณหภูมิสูง จึงจำเป็นต้องมีระบบหล่อเย็นซึ่งการเพิ่มระบบมีเงินนำไปใช้ในเชิงพาณิชย์จะเป็นขั้นตอนที่เสียค่าใช้จ่ายมาก และสิ่งเจือปนในแก๊สไฮโดรเจนที่ผลิตได้ยังมีมาก ทำให้ต้องเพิ่มปฏิกิริยาที่ทำให้แก๊สไฮโดรเจนบริสุทธิ์ สงผลให้ต้นทุนการผลิตสูงขึ้นตามไปด้วย

### 2) การกักเก็บแก๊สไฮโดรเจนและบรรจุภัณฑ์มีต้นทุนสูง

แก๊สไฮโดรเจนเป็นแก๊สที่มีความหนาแน่นต่ำมาก เมื่อต้องการกักเก็บแก๊สไฮโดรเจนลักษณะเช่นเดียวกันกับแก๊สหุงต้มและแก๊สธรรมชาติที่อยู่ในสถานะของเหลวในบรรจุภัณฑ์ ภาชนะนั้นต้องมีความแข็งแรง ทนต่อแรงดันสูง เพื่อให้บรรจุภัณฑ์สามารถบรรจุแก๊สได้ที่ความดันสูงๆ ทำให้แก๊สไฮโดรเจนอยู่ในสถานะของเหลวและสามารถบรรจุแก๊สได้

ปัจมีนาคมากขึ้น แต่ผลข้างเคียงของการบรรจุแก๊สไฮโดรเจนลักษณะนี้คือ เสี่ยงต่อการระเบิดและเกิดการลูกไหม์ได้ง่าย การแก๊สปัญหาเรื่องบรรจุภัณฑ์สามารถทำได้โดยการบรรจุแก๊สไฮโดรเจนในบรรจุภัณฑ์ที่เป็นวัสดุชนิดโลหะไฮโดรต์ ที่สามารถดูดซับแก๊สไฮโดรเจนได้ดีที่อุณหภูมิและความดันปกติ แต่อย่างไรก็ตามค่าใช้จ่ายก็เพิ่มสูงตามไปด้วย จากข้อจำกัดข้างต้น ทำให้มีนักวิจัยพยายามค้นคิดการผลิตแก๊สไฮโดรเจนจากสารตั้งต้นแล้วไปใช้ทันทีโดยไม่ต้องมีระบบกักเก็บแก๊สไฮโดรเจน ซึ่งเรียกว่า Hydrogen on-broad production ตัวอย่างเช่น การใช้ระบบนี้ในรถยนต์ และวัตถุดิบในการสังเคราะห์แก๊สไฮโดรเจนอาจจะเป็น น้ำหรือเอทานอลในรถยนต์จะมีถังกักเก็บน้ำหรือเอทานอลเท่านั้น แล้วสารตั้งต้นนี้จะเข้าสู่ขั้นตอนการสังเคราะห์แก๊สไฮโดรเจน และแก๊สไฮโดรเจนที่ได้จะนำไปใช้ในเซลล์เชื้อเพลิงเพื่อผลิตไฟฟ้าทันที ซึ่งวิธีการนี้จะไม่มีการเก็บแก๊สไฮโดรเจน แต่กระบวนการดังกล่าวยังอยู่ในขั้นการทดลองและวิจัยเพื่อพัฒนา ก่อนนำไปใช้จริง

### 3) การใช้แหล่งวัตถุดิบเป็นสารประกอบไฮโดรคาร์บอน

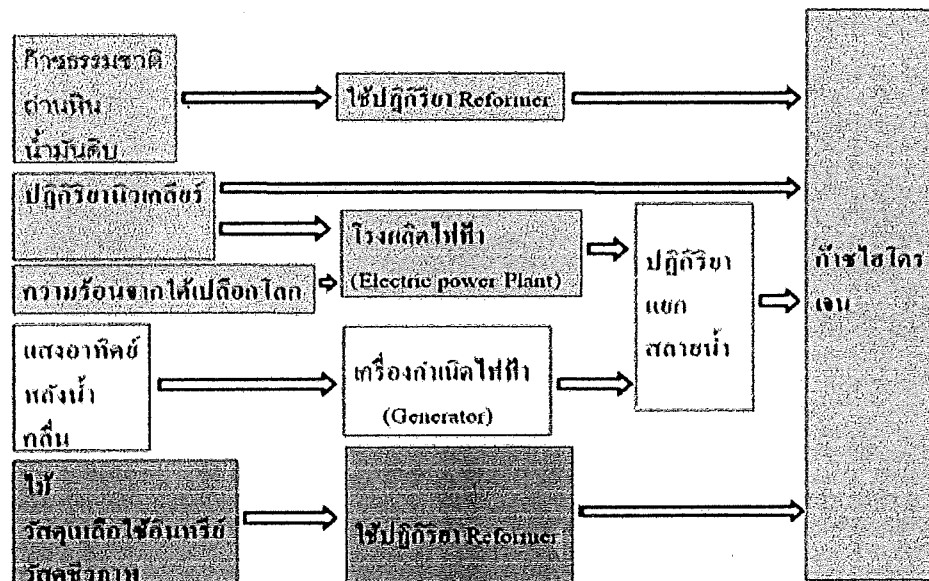
การเลือกแหล่งให้แก๊สไฮโดรเจนเบื้องต้น เป็นสารประกอบพากไฮโดรคาร์บอนนี้จะไม่สามารถลดการผลิตแก๊สคาร์บอนไดออกไซด์ออกสู่สิ่งแวดล้อมได้ เพราะสารตั้งต้นดังกล่าวจะให้สารผลิตภัณฑ์หลักสุดท้ายเป็นแก๊สคาร์บอนไดออกไซด์ ทำให้แม้มีการนำแก๊สไฮโดรเจนที่ได้มาเป็นแหล่งให้พลังงานภาวะโลกร้อนก็ยังไม่สามารถแก๊สได้ และการลดแก๊สนี้สามารถทำได้เพียงอาศัยการสังเคราะห์แสงของพืชเป็นหลัก ซึ่งพืชและต้นไม้มีปริมาณจำกัด ยังต้องอาศัยเวลา การปลูกและการดูแลเพิ่มอย่างจริงจัง แต่การใช้แหล่งตั้งต้นนี้สามารถลดปัญหาการขาดแคลนปิโตรเลียมและน้ำมันได้

#### 2.1.2 กระบวนการผลิตแก๊สไฮโดรเจน<sup>[5]</sup>

สิ่งแรกที่ต้องนึกถึงเมื่อใช้แก๊สไฮโดรเจนเป็นเชื้อเพลิง คือ กระบวนการผลิตแก๊สไฮโดรเจนนี้ใช้สารตั้งต้นที่มาจากแหล่งที่เกิดใหม่มาทดแทนได้เร็วหรือไม่ โดยทั่วไปแก๊สไฮโดรเจนไม่พบอิสระในธรรมชาติ ปัจจุบันนี้มีการนำแก๊สธรรมชาติมาเป็นวัตถุดิบในการผลิตแก๊สไฮโดรเจน เนื่องจากส่วนประกอบหลักของแก๊สธรรมชาติคือ แก๊สมีเทน ( $\text{CH}_4$ ) ซึ่งสามารถให้แก๊สไฮโดรเจนได้สูง นอกจากนี้สารประกอบไฮโดรคาร์บอนในธรรมชาติ เช่น ถ่านหิน วัสดุเหลือใช้จากการเกษตร และกอชอล์กที่ได้จากการหมักเศษวัสดุทางชีวภาพ ล้วนแล้วแต่เมืองไฮโดรเจนจะต้องเป็นองค์ประกอบชีวมวลและแหล่งให้พลังงานอื่นๆ ที่มาจากธรรมชาติ เช่น แรงลม แรงดันน้ำ พลังงานนิวเคลียร์ เป็นต้น ก็สามารถใช้เป็นแหล่งที่ให้พลังงานเพื่อใช้ในกระบวนการสังเคราะห์แก๊สไฮโดรเจนได้

เห็นกัน จากรูปที่ 2.3 จะเห็นว่าวัตถุดิบที่ใช้ในการผลิตแก๊สไฮโดรเจนนั้นหลากหลาย ถ้ามีการเลือกใช้วัตถุดิบเป็นน้ำมันปิโตรเลียม ปัญหาการขาดแคลนปิโตรเลียมก็คงจะไม่สามารถแก้ไขได้

รูปของพลังงานที่มีใช้โดยทั่วไปคือ พลังงานไฟฟ้า น้ำมัน เบนซิน น้ำมันดีเซลและแก๊สธรรมชาติ พลังงานดังกล่าวล้วนได้มาจากแหล่งพลังงานเบื้องต้นชนิดเดียวกัน เช่น ถ่านหิน ปิโตรเลียม แก๊สมีเทนไดพิกพ หรือพลังงานนิวเคลียร์ อย่างไรก็คือไม่อาจปฏิเสธได้ว่าพลังงานในรูปไฟฟ้านั้นเป็นพลังงานที่มีการประยุกต์ใช้ในด้านอื่นๆ อย่างแพร่หลาย เนื่องจากง่ายต่อการขนส่ง และแปรรูป เช่น ในโรงงานอุตสาหกรรม ในธุรกิจแทบทุกประเภท กิจกรรมในครัวเรือนและการขับรถ เป็นต้น ดังนั้นถ้ามีการผลิตกระแสไฟฟ้าโดยใช้แก๊สไฮโดรเจนที่ได้จากการแปรรูปพลังงานที่ยังยืน เป็นวัตถุดิบ ย่อมเป็นการผลิตกระแสไฟฟ้าที่ยั่งยืนด้วย

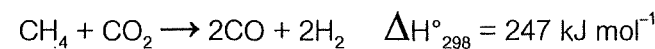


รูปที่ 2.3 กระบวนการสังเคราะห์แก๊สไฮโดรเจนโดยใช้สารตั้งต้นและแปรรูปให้พลังงานจากธรรมชาติ (ดัดแปลงจาก [http://sgth2.com/hydrogen\\_faq](http://sgth2.com/hydrogen_faq))

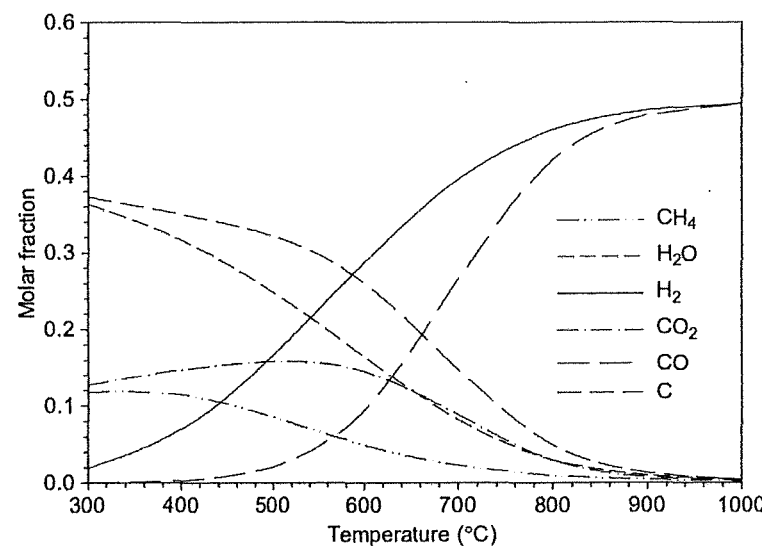
#### 2.1.2.1 คาร์บอนไดออกไซด์รีฟอร์มมิ่งของมีเทน (Carbon dioxide reforming of methane) <sup>[8]</sup>

คาร์บอนไดออกไซด์รีฟอร์มมิ่งของมีเทนเป็นทางอีกเลือกหนึ่งที่น่าสนใจมาก สดีมีรีฟอร์มมิ่งของมีเทน (SMR) และออกซิเดชันบางส่วน (POX) ซึ่ง  $\text{CO}_2$  มีบทบาทเป็นสารออกซิเดนซ์ ซึ่งบางครั้งเรียกว่ากระบวนการนี้ว่า รีฟอร์มมิ่งแบบแห้ง หรือ dry reforming โดยปฏิกริยาที่เกิดขึ้นคล้ายกับ SMR คือ เป็นกระบวนการที่ลดความร้อนที่สูงจึง

ต้องการอุณหภูมิสูงในการทำงานที่ 800–1000 องศาเซลเซียส และมีอัตราส่วนของ  $\text{CO}/\text{H}_2$  เท่ากับ 1:1 ตามสมการดังต่อไปนี้



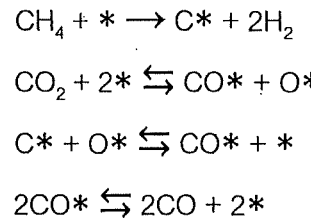
รูปที่ 2.4 แสดงถึงข้อมูลที่สมดุลทางอุณหพลศาสตร์ที่เกี่ยวข้อง กับการบ่อนไดออกไซด์ฟอร์มมิ่งของมีเทนที่ความดันบรรยายกาศ เป็นที่น่าสังเกตว่าที่อุณหภูมิต่ำกว่า 800 องศาเซลเซียส ราดูคาร์บอนเป็นหนึ่งในองค์ประกอบที่สำคัญของแก๊สผสมที่สมดุล และที่อุณหภูมิสูงมากกว่า 800 °C จะเห็นได้ว่าเศษส่วนไมลของคาร์บอนในแก๊สผสมลดลงอย่างมาก และเศษส่วนไมลของไฮโดรเจนและคาร์บอนมอนอกไซเด茨ูงชี้มาย่างเห็นได้ชัด



รูปที่ 2.4 อุณหภูมิที่มีผลต่อองค์ประกอบที่สมดุลทางอุณหพลศาสตร์ของผลิตภัณฑ์ที่ได้จาก อัตราส่วนไมลาร์ของ  $\text{CH}_4:\text{CO}_2$  เท่ากับ 1:1 ที่ความดันบรรยายกาศ

กลไกการเกิดปฏิกิริยาของคาร์บอนไดออกไซด์ฟอร์มมิ่งของมีเทนที่

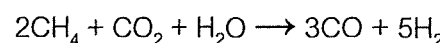
กลไกอย่างง่ายสำหรับการบ่อนไดออกไซด์ฟอร์มมิ่งของมีเทนที่ได้รับการแนะนำโดย Lercher et al แสดงไว้ดังนี้<sup>[26]</sup>



ซึ่ง \* คือ ตำแหน่งว่างไว หรือ active site

ลำดับขั้นตอนนี้ได้มาจากชุดของการทดลองการดูดซับแบบพัลส์ ซึ่ง  $\text{CH}_4$  ถูกแตกตัวตาม stoichiometric ไปเป็นคาร์บอนและ  $\text{H}_2$  ในขณะที่  $\text{CO}_2$  แสดงให้เห็นถึงปฏิกิริยาที่เกิดกับคาร์บอนบนพื้นผิวตาม stoichiometric ได้ผลิตภัณฑ์เป็น CO

การเติมไอน้ำให้กับวัตถุดิบ  $\text{CH}_4/\text{CO}_2$  เพื่อหลีกเลี่ยงการสะสม คาร์บอนที่มากเกินไปเป็นเทคนิคที่ใช้กันอย่างแพร่หลายในระบบการปฏิบัติ<sup>[27]</sup> ผลของกระบวนการแก๊สซิฟิเคชัน  $\text{CO}_2$  และไอน้ำของแก๊สมีเทนสามารถอธิบายโดยสมการทางเคมีต่อไปนี้



อัตราส่วน  $\text{H}_2:\text{CO}$  ในแก๊สสังเคราะห์ที่เกิดขึ้นอยู่ที่ประมาณ 1.7 แต่เนื่องจากปริมาณของ CO ที่ค่อนข้างสูงในแก๊สสังเคราะห์ ทำให้การสะสมคาร์บอนยังคงอาจมีปัญหาโดยเฉพาะอย่างยิ่งสำหรับตัวเร่งปฏิกิริยานิกเกิลที่ใช้กันอย่างแพร่หลายสำหรับสตีมเวฟอร์ม มี

#### 2.1.2.2 วอเตอร์แก๊สชิฟท์ (Water gas shift)<sup>[28]</sup>

วอเตอร์แก๊สชิฟท์ได้พัฒนาขึ้นมาในกระบวนการการผลิต แอมโมเนีย ถูกพัฒนาเพื่อที่จะเพิ่มปริมาณแก๊สไฮโดรเจนและลดปริมาณแก๊สคาร์บอนออกไซด์ ที่เป็นพิษต่อตัวเร่งปฏิกิริยาในกระบวนการการสังเคราะห์แอมโมเนีย และกระบวนการไฮโดรเจนซึ่งสมการแสดงได้ดังสมการต่อไปนี้



วอเตอร์แก๊สชิฟท์เป็นปฏิกิริยาคายความร้อน โดยในกระบวนการนี้จะใช้ปริมาณไอน้ำมากเกินพอเพื่อทำให้ปฏิกิริยาเกิดขึ้นอย่างสมบูรณ์ โดยที่ระบบมีความร้อนคงที่ การเปลี่ยนสูงสุด (Maximum conversion) ที่อุณหภูมิต่ำ นอกจานี้ปฏิกิริยาที่เกิดขึ้นจะไม่ถูกควบคุม

จากการเปลี่ยนแปลงค่าความดันในขณะดำเนินการผลิต ตามหลักของเลอ ชาเตอร์ลิเยร์ (Le Chatelier's Principle) และกระบวนการนี้ได้ใช้ เหล็กออกไซด์เป็นตัวเร่งปฏิกิริยาโดยที่ค่าคงที่สมดุล (Equilibrium Constant) นั้นจะเปลี่ยนตามอุณหภูมิสามารถแสดงได้ดังตารางที่ 2.2

ตารางที่ 2.2 ค่าคงที่สมดุลวอเตอร์แก๊สชิฟต์

อุณหภูมิ (องศาเซลเซียส)	$K_p$	อุณหภูมิ (องศาเซลเซียส)	$K_p$
93.3	4523	426.7	9.030
148.9	783.6	482.2	5.610
204.4	206.8	537.8	3.749
260.0	72.75	593.3	2.653
315.6	31.44	648.9	1.966
371.1	15.89	704.4	1.512

ตัด แปลง จาก Süd-Chemie. Physical and Thermodynamic Properties of Elements and Compounds. Technical Bulletin, Süd-Chemie Inc.

ในปฏิกิริยา Water Gas Shift นั้นในทางอุตสาหกรรมจะมีแบ่งขั้นตอนในการเกิดปฏิกิริยาออกเป็น 2 ขั้นตอน คือ

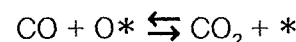
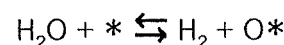
1) ปฏิกิริยาวอเตอร์แก๊สชิฟต์ที่อุณหภูมิสูง (High Temperature Water Gas Shift, HTS) จะมีอัตราการเกิดปฏิกิริยาสูงโดยสภาวะที่ทำการดำเนินการคือ ที่ อุณหภูมิ 350-475 องศาเซลเซียส และมีปอร์เชนต์การแปรสภาพแก๊สคาร์บอนมอนอกไซด์ไปเป็น สารผลิตภัณฑ์ประมาณ 90-95% ตัวเร่งปฏิกิริยาที่ใช้คือ  $\text{Fe}_3\text{O}_4$  และมีการเติมโครงเมียมเล็กน้อย เพื่อเป็นตัวปอร์ไมเตอร์ โดยองค์ประกอบของตัวเร่งปฏิกิริยาประกอบด้วย Fe 55% และ Cr 6% และอาจมีการเติมกัมมะถัน(Sn이나) เล็กน้อยเพื่อป้องกันตัวเร่งปฏิกิริยาเสื่อมสภาพ ตัวเร่งปฏิกิริยา ส่วนใหญ่จะเตรียมด้วยการฝังตัว (Impregnation) ในการเกิดปฏิกิริยานั้นจะมีการเติมไอน้ำด้วย ปริมาณมากเกินพอกเพื่อที่จะทำให้เกิดปฏิกิริยาได้มาก และยังป้องกันการเกิดโคก (Coking)

2) ปฏิกิริยาวอเตอร์แก๊สชิฟต์ที่อุณหภูมิต่ำ (Low Temperature Water Gas Shift, LTS) ในขั้นตอนนี้จะดำเนินการที่อุณหภูมิ 200-250 องศาเซลเซียส โดยมีตัวเร่งปฏิกิริยาคือทองแดงและซิงค์ออกไซด์ (Copper and Zinc Oxide) โดยที่ตัวที่ทองแดงจะเป็น องค์ประกอบหลักในการเปลี่ยนแก๊สคาร์บอนมอนอกไซด์ ส่วนสังกะสีที่เติมไปเพื่อที่จะป้องกันการ

เกิดความเป็นพิษของโลหะทองแดงจากการดูดซับกัมมะถัน ที่มากับแก๊สสังเคราะห์ และซิงค์ออกไซด์ยังทำหน้าที่เป็นตัวรองรับให้กับโลหะทองแดงอีกด้วย ตัวเร่งปฏิกิริยานี้นั้นจะสามารถเกิดการหลอมตัวกันได้ง่ายกว่าเหล็กเนื่องจากทองแดงมีจุดหลอมเหลวต่ำกว่าดังนั้นจึงต้องมีการควบคุมอุณหภูมิในการเกิดปฏิกิริยาให้คงที่โดยปกติไม่เกิน 250 องศาเซลเซียส ตัวอย่างของตัวเร่งปฏิกิริยาที่มีขายทั่วไปจะมีองค์ประกอบคือ  $\text{CuO}$  30%  $\text{ZnO}$  45% และ  $\text{Al}_2\text{O}_3$  13% โดยเมื่อผ่านปฏิกิริยานี้นั้นจะมีปริมาณแก๊สคาร์บอนมอนอกไซด์หล่ออยู่ประมาณ 0.2-0.4 เปอร์เซ็นต์โดยไม่เกิดซึ่งแก๊สคาร์บอนมอนอกไซด์จะสามารถเปลี่ยนไปเป็นผลิตภัณฑ์ได้อย่างดี

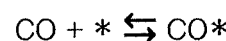
### กลไกการเกิดปฏิกิริยาของเตอร์แก๊สซิฟต์

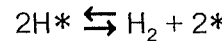
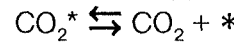
ยึดตามผลของจนศรสาราดอธิบายกลไกการเกิดปฏิกิริยาของเตอร์แก๊สซิฟต์ได้เป็น 2 แบบ<sup>[29]</sup> กลไกอุกซิเดชัน-วิดักชันหรือการเกิดใหม่ของ Rideal-Eley ซึ่งนำจะออกซิไดร์พื้นผิวและ CO จะรีดิว์พื้นผิวที่ถูกออกซิไดร์<sup>[30, 31]</sup> ส่วนคำอธิบายอื่นๆ คือ กระบวนการแบบสองฟังก์ชันที่ CO ที่ถูกดูดซับบนโลหะมีค่าหรือโลหะออกไซด์ผสมถูกออกซิไดร์โดยตัวรองรับและจากนั้นนำจะเป็นตัวที่ตำแหน่งที่ว่างออกซิเจนของตัวรองรับ<sup>[30, 32, 33]</sup>



ซึ่ง \* เป็นตำแหน่งว่างไวของโลหะ ชนิด Langmuir Hinshelwood หลายขั้นตอนหรือกลไก "associative" ที่นำที่ถูกดูดซับหรือเกิดการแตกตัวฟอร์มตัวเป็นกลุ่มไฮดรอกซิลปฏิกิริยาที่รวมกับ CO เพื่อเกิดเป็นฟอร์เมตที่จะสลายตัวให้  $\text{CO}_2$  และ  $\text{H}_2$  ส่วนคำอธิบายอื่นๆ ถึงรวมชาติของ bifunctional ที่ CO ถูกดูดซับบนโลหะที่ทำปฏิกิริยากับไฮดรอกซิลเป็นคิโนเตอร์มีเดียตฟอร์มเมต<sup>[30, 34]</sup>

การวิเคราะห์ FTIR ได้รับการนิยมในการใช้ยืนยันการมีอยู่ของอะมิโนเตอร์มีเดียตฟอร์มเมต

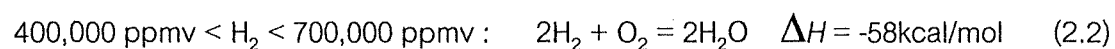
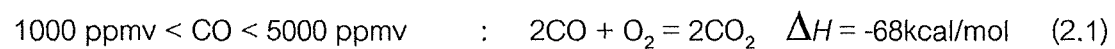




ขั้นตอนที่กำหนดอัตราเร็วในการเกิดปฏิกิริยาถูก คือ ขั้นการ слаяตัวของฟอร์เมต การเพิ่มชีนของแรงดันน้ำบางส่วนสามารถเพิ่มอัตราการ слаяตัวของฟอร์เมตและพลังงานกระตุ้นลดลง [35]

#### 2.1.2.3 ออกซิเดชันแบบเกิดขึ้นคาร์บอนมอนอกไซด์ (Preferential Oxidation of CO) [6]

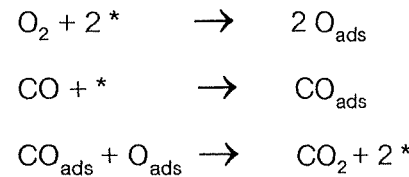
หลังจากที่ผ่านกระบวนการเคลื่อนย้ายหรือ WGS แล้ว แก๊สผสมจะประกอบด้วยแก๊สไฮโดรเจน 40 ถึง 75 เปอร์เซ็นต์ แก๊สคาร์บอนมอนอกไซด์ 15 ถึง 25 เปอร์เซ็นต์ และคาร์บอนไดออกไซด์ประมาณ 1 เปอร์เซ็นต์ การเลือกเกิดปฏิกิริยาออกซิเดชันโดยใช้อากาศเป็นแหล่งให้แก๊สออกซิเจน ซึ่งให้ผลดีในการเลือกเกิดของปฏิกิริยานี้อย่างมาก ใช้อัตราส่วนในช่วงเริ่มต้นของแก๊สไฮโดรเจนต่อแก๊สคาร์บอนมอนอกไซด์ประมาณ 100:1 ไปจนถึง 50,000:1 เกิดปฏิกิริยาขึ้นอย่างสมบูรณ์ ดังแสดงในสมการ (2.1) โดยมีสมการ (2.2) เข้ามาอ้างอิง



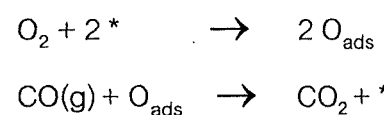
การลดปริมาณแก๊สคาร์บอนมอนอกไซด์ให้เหลือน้อยที่สุด (น้อยกว่า 10 ส่วนในล้านส่วนของแก๊สเชื้อเพลิงตั้งต้น) เป็นสิ่งที่สำคัญมากต่อประสิทธิภาพการทำงานของเซลล์เชื้อเพลิงพื้นอิฐที่กล่าวมาแล้วข้างต้น เนื่องจากแก๊สคาร์บอนมอนอกไซด์เป็นพิษต่อตัวเร่งปฏิกิริยาที่ข้าวเอนเดของเซลล์ ซึ่งมีผลต่อค่าศักย์ไฟฟ้าของเซลล์ดังแสดงในตารางที่ 2.2 และยังมีผลต่ออายุการใช้งานของเซลล์อีกด้วย

#### การเกิดปฏิกิริยาออกซิเดชันของคาร์บอนมอนอกไซด์บนตัวเร่งปฏิกิริยาที่เป็นไบพาส [36]

ออกซิเดชันของคาร์บอนมอนอกไซด์บนตัวเร่งปฏิกิริยาที่เป็นไบพาสมีกลไกการเกิดปฏิกิริยาเป็นไปตามหลักการของ Langmuir-Hinshelwood



ในบางครั้งกลไกการเกิดปฏิกิริยาออกซิเดชันของคาร์บอนมอนอกไซด์จะเข้าทำปฏิกิริยาโดยตรงกับออกซิเจนที่ถูกดูดซึบไป



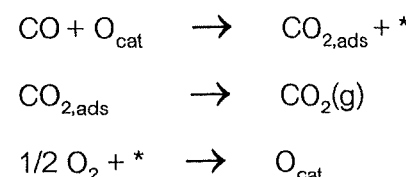
โดย \* คือ ตัวแหน่งว่างไว้ที่ว่างอยู่บนพื้นผิวสัมผัสของโลหะ

$O_{\text{ads}}$  คือ ออกซิเจนที่ถูกดูดซึบบนตัวแหน่งว่างไวบริเวณพื้นผิวของตัวเร่งปฏิกิริยา

$CO_{\text{ads}}$  คือ คาร์บอนมอนอกไซด์ที่ถูกดูดซึบบนตัวแหน่งว่างไวบริเวณพื้นผิวของตัวเร่งปฏิกิริยา

การเกิดปฏิกิริยาออกซิเดชันของคาร์บอนมอนอกไซด์บนตัวเร่งปฏิกิริยาที่เป็นโลหะออกไซด์<sup>[36]</sup>

ออกซิเดชันของคาร์บอนมอนอกไซด์บนตัวเร่งปฏิกิริยาที่เป็นออกไซด์ของโลหะมีกลไกการเกิดปฏิกิริยาเป็นไปตามหลักการของ Langmuir-Hinshelwood จากการเสนอของ Mars และ van Krevelen (1954)<sup>[37]</sup>



โดย \* คือ ตัวแหน่งว่างที่ขาดออกซิเจน และ

$O_{\text{cat}}$  คือ ออกซิเจนบริเวณแลตทิสพื้นผิวของตัวเร่งปฏิกิริยา (Surface lattice oxygen)

## 2.2 การทบทวนวรรณกรรม/สารสนเทศ (information) หรืองานวิจัยที่เกี่ยวข้อง

โครงการวิจัยนี้มีงานวิจัยที่เกี่ยวข้องหลายงานวิจัย โดยจะกล่าวถึงกระบวนการผลิตเชื้อเพลิงไฮโดรเจน และหน่วยอย่างไบในกระบวนการผลิตเชื้อเพลิงไฮโดรเจน ซึ่งได้แก่กระบวนการรีฟอร์มมิ่ง วอเตอร์แก๊สซิฟต์ และออกซิเดชันแบบเลือกเกิดของคาร์บอนมอนอกไซด์

### 2.2.1 กระบวนการผลิตเชื้อเพลิงไฮโดรเจน (Fuel processor)

Sopeka และคณะ (2007)<sup>[38]</sup> ศึกษากระบวนการผลิตเชื้อเพลิงไฮโดรเจน จากดีเซลสำหรับใช้กับเซลล์เชื้อเพลิงชนิดพื้นอิ่มขนาด 5 กิโลวัตต์ กระบวนการดังกล่าว ประกอบด้วยเครื่องปฏิกรณ์ 3 ตัวต่อกันแบบอนุกรม ได้แก่ ออกซิเดทิฟสตีมรีฟอร์มมิ่ง วอเตอร์แก๊สซิฟต์แบบน้ำเดียว และออกซิเดชันแบบเลือกเกิด การออกแบบระบบได้ถูกออกแบบโดยวิธีการแบบหนึ่งมิติ ศึกษาการดำเนินการเฉพาะห้องผสมอากาศกับเซลล์เชื้อเพลิงด้วยโปรแกรม Fluent<sup>®</sup> โดยคำนึงถึงการระเหยของน้ำมันเชื้อเพลิงและกระบวนการเปลวไฟเย็น ผลการทดลองครั้งแรกพบว่า ระบบของรีฟอร์มเมอร์ถูกใช้ลดลงและเชื้อเพลิงดีเซลแสดงให้เห็นถึงความเป็นไปได้ของการออกแบบในการผลิตไฮโดรเจนให้เหมาะสมกับการป้อนเข้าสู่เซลล์เชื้อเพลิงชนิดพื้นอิ่ม

Tan และคณะ (2008)<sup>[39]</sup> ศึกษาการออกแบบระบบการเปลี่ยนรูปไฮโดรเจนสำหรับเซลล์เชื้อเพลิงชนิดพื้นอิ่มแบบมีเทนเป็นโปรดอนเชิงเร่งปฏิกิริยา ซึ่งประกอบด้วย ออกซิเดชันบางส่วนแบบทางอ้อม (IPOX) วอเตอร์แก๊สซิฟต์ (WGS) และออกซิเดชันแบบเลือกเกิดของคาร์บอนมอนอกไซด์ (PROX) ทำการศึกษาโดยใช้การจำลองและเทคนิคการสร้างแบบจำลอง โดยศึกษาการจำลองแบบสเตดิสเตรต การออกแบบและการปรับขนาดของเครื่องปฏิกรณ์พิจารณาถึงชนิดของห้องแบบแพ็คเบดสำหรับสิบสององค์ประกอบที่แตกต่างกันและการกำหนดค่ากำลังไฟฟ้าของของเซลล์เชื้อเพลิงชนิดพื้นอิ่ม คือ ( $\text{CH}_4/\text{O}_2, \text{H}_2\text{O}/\text{CH}_4$ ) = (2.24, 1.17), (1.89, 1.56) และ (10, 50, 100, 500, 1000, 1500 วัตต์) และได้ทำการการคำนวณสมดุลของมวลเพื่อให้ได้อัตราการไหลของแต่ละชนิดที่แต่ละกระแส สำหรับการตั้งค่าทุกครั้ง จากการทดลองพบว่าปริมาณตัวเร่งปฏิกิริยาโดยรวมจะเพิ่มขึ้นเกือบเป็นเส้นตรงกับค่ากำลังไฟฟ้าของของเซลล์เชื้อเพลิงท่องค์ประกอบของสายป้อนห้องคู่ ปริมาณระบบโดยรวมที่ไม่รวมท่อ ปั๊ม อุปกรณ์ แลกเปลี่ยนความร้อนและหน่วยต่อพ่วงอื่น ๆ ที่ค่า 6.3, 40.3, 83.4, 488, 985 และ 1527 ลูกบาศก์เซนติเมตร สำหรับ 10, 50, 100, 500, 1000 และ 1500 วัตต์ของการดำเนินงานตามลำดับ

Wichert และคณะ (2011)<sup>[40]</sup> ได้มีการพัฒนาหน่วยผลิตไออกไซด์เจนขนาดเล็กสำหรับแอ็ปพลิเคชันที่ต้องการรับประทานไออกไซด์เจนขนาดกะทัดรัดสำหรับการใช้งาน พลังงานต่ำ หน่วยผลิตไออกไซด์เจนประกอบด้วยรีฟอร์มเมอร์ที่มีโครงสร้างขนาดเล็กระดับไมโครรวมเข้ากับเตาขนาดไม่คุปกรณ์แลกเปลี่ยนความร้อนและหน่วยควบคุมแก๊สซิฟ์ต์ขนาดไม่คุโร ในงานวิจัยนี้จะเก็บข้อมูลในรูปของอัตราส่วนประสิทธิภาพการทำงานรีฟอร์มเมอร์ต่อเตา ซึ่งทำงานได้เสถียรมากกว่า 1060 ชั่วโมงด้วยกับวงจรเริ่มต้นและปิดลงแบบทำซ้ำ ระบบการผลิตไออกไซด์เจนเหล่านี้มีความสามารถในการแปลงแอ็ปพลิเคชันอัตราการผลิตไออกไซด์เจนที่ 0.263 นิวตัน ลูกบาศก์ เมตรต่อชั่วโมง โดยแสดงให้เห็นว่าคุปกรณ์ที่มีโครงสร้างขนาดเล็กระดับไมโครไม่เพียงกะทัดรัด แต่ยังแสดงความน่าเชื่อถือและความทนทานสูง

### 2.2.2 คาร์บอนไดออกไซด์รีฟอร์มมิ่งของมีเทน ( $\text{CO}_2$ reforming of $\text{CH}_4$ )

Kaengsillalai และคณะ (2007)<sup>[41]</sup> ได้ศึกษาความว่องไวในการเร่งปฏิกิริยาของตัวเร่งปฏิกิริยานิกเกิลแบบเป็นชุดบนตัวรองรับ KH ซีโอลาย์ส์สังเคราะห์สำหรับคาร์บอนไดออกไซด์รีฟอร์มมิ่งของมีเทน ตัวรองรับ KH ซีโอลาย์ส์สังเคราะห์อันดับแรกถูกสังเคราะห์ผ่านทางไฮลาเทวนและสารตั้งต้นอะลูมาเทวนโดยใช้กระบวนการใช้เจล และไออกไซด์เทอร์บ์มอลทวีฟ์เม็นต์แบบไม่คริเวฟ Ni ร้อยละแปดถูกตกตะกอนลงบน KH ซีโอลาย์ส์สังเคราะห์ที่ซึ่งมีลักษณะสัณฐานที่ต่างกัน ได้แก่ กระดูกสุนัข ดอกไม้ และรูปร่างไวรัสเบียน ทำการทดสอบซีโอลาย์ Ni/KH ที่เตรียมได้สำหรับความว่องไวในการเกิดปฏิกิริยาที่ 700 องศาเซลเซียส ที่ความดันบรรยายกาศและท่ออัตราส่วน  $\text{CH}_4/\text{CO}_2$  เท่ากับ 1 ผลการศึกษาพบว่า ตัวเร่งปฏิกิริยานิกเกิลบนตัวรองรับ KH ซีโอลาย์แบบกระดูกสุนัขและดอกไม้รูป ให้ความว่องไวที่สูงกว่าตัวเร่งปฏิกิริยานิกเกิลบนตัวรองรับ KH ซีโอลาย์แบบรูปร่างไวรัสเบียน เนื่องจากค่าการเปลี่ยนของ  $\text{CH}_4$  และ  $\text{CO}_2$  ที่สูงขึ้น การผลิตไออกไซด์เจนที่สูงขึ้นและมีการสะสมไดกับน้ำพิเศษตัวเร่งปฏิกิริยานิกเกิลบนตัวรองรับ KH ซีโอลาย์มีความคงทนมากกว่าตัวเร่งปฏิกิริยานิกเกิลบนอัลูมิเนียมและไคลนอพทิโซ่ลาร์หลังจาก 65 ชั่วโมงในกระแส

Luengnaruemitchai และคณะ (2008)<sup>[42]</sup> ได้ศึกษาประสิทธิภาพของตัวเร่งปฏิกิริยานิกเกิลบนซีโอลาย์เบอร์โค้กซ์ ซีโอลาย์วาย และซีเอสเอ็ม-5 ซึ่งเตรียมด้วยวิธีผงตัวแบบอินซิพิเอ็นเวนส์สำหรับคาร์บอนไดออกไซด์รีฟอร์มมิ่งของมีเทนเป็นแก๊สสังเคราะห์ที่ 700 องศาเซลเซียส ที่ความดันบรรยายกาศและท่ออัตราส่วน  $\text{CH}_4/\text{CO}_2$  เท่ากับ 1 พนฯ ตัวเร่งปฏิกิริยานิกเกิลบนซีโอลาย์มีประสิทธิภาพดีกว่าตัวเร่งปฏิกิริยาประเภท

อื่น ๆ ของซีโอลิท์การศึกษา นอกจากรูปแบบมั่นคงของ Ni / ซีโอลิท์ Y เป็นอย่างมากที่เหนือกว่าของตัวเร่งปฏิกิริยาที่มีตัวรองรับซีโอลิท์ ชนิดอื่น จากการทดลองพบว่า ปริมาณของนิกเกิลในตัวเร่งปฏิกิริยาที่ 7 เปอร์เซ็นต์โดยน้ำหนัก ให้ความว่องไวในการเร่งปฏิกิริยาที่ดีที่สุดในแต่ละตัวรองรับซีโอลิท์ แต่ก้าว 7 เปอร์เซ็นต์โดยน้ำหนัก ของนิกเกิลกลับให้ปริมาณของไดก์ที่สูงกว่า ปริมาณของนิกเกิลในตัวเร่งปฏิกิริยาที่ 3 และ 5 เปอร์เซ็นต์โดยน้ำหนัก

Zhang และคณะ (2010)<sup>[43]</sup> ศึกษาการบอนไดออกไซด์ฟอร์มมิงของมีเทนในแก๊สเทาอบไดก์ บนตัวเร่งปฏิกิริยาถ่านหินถ่านที่ดำเนินการในเตาปฏิกิริณแบบเบนนิ่งที่ อุณหภูมิระหว่าง 800 และ 1200 องศาเซลเซียส ภายใต้ความดันปกติ โดยศึกษาผลของการปรับสภาพตัวเร่งปฏิกิริยาถ่านหินถ่านก้านและอัตราส่วนของ  $\text{CO}_2/\text{CH}_4$  ผลกระทบของพบร่วมกับถ่านหิน เป็นตัวเร่งปฏิกิริยาที่มีประสิทธิภาพสำหรับการผลิตของแก๊สสังเคราะห์ และการเพิ่มปริมาณ คาร์บอนไดออกไซด์เมื่อได้ช่วยเพิ่มการรีฟอร์มของมีเทนไปเป็นไฮโดรเจน นอกจากนี้ยังพบว่า อัตราส่วนของสายป้อนของ  $\text{CO}_2/\text{CH}_4$  มีอิทธิพลอย่างมากต่ออัตราส่วนของแก๊สผลิตภัณฑ์ของ  $\text{H}_2/\text{CO}$  ตัวเร่งปฏิกิริยาถ่านหินที่ผ่านการปรับปรุงมีความว่องไวมากกว่าตัวเร่งปฏิกิริยาถ่านหิน โดยจีนอยู่กับปริมาณของตัวเร่งปฏิกิริยา ค่าการเปลี่ยนของแก๊สมีเทนสามารถแบ่งออกเป็นสอง ขั้นตอน ในระยะแรกค่าการเปลี่ยนของแก๊สมีเทนจะค่อนข้างลดลง ในระยะที่สองค่าการเปลี่ยนของ แก๊สมีเทนจะค่อนข้างคงที่ การแปลงของค่าการเปลี่ยนของ carbонไดออกไซด์ลดลงเล็กน้อยใน ระหว่างการเกิดปฏิกิริยาโดยรวมของ carbонไดออกไซด์ฟอร์มมิงของมีเทน

### 2.2.3 วอเตอร์แก๊สชิฟต์ (Water-gas shift reaction; WGS)

Yahiro และคณะ (2007)<sup>[44]</sup> ศึกษาอิทธิพลตัวรองรับ  $\text{Al}_2\text{O}_3 \text{ MgO } \text{SiO}_2-\text{Al}_2\text{O}_3 \text{ SiO}_2-\text{MgO}$  β-zeolite และ  $\text{CeO}_2$  ของตัวเร่งปฏิกิริยา Cu-ZnO สำหรับวอเตอร์แก๊สชิฟต์ที่ อุณหภูมิต่ำตัวเร่งปฏิกิริยา Cu-ZnO เตรียมด้วยวิธีการฝังตัวแบบครอมดาตามด้วยการรีดักชันด้วย ไฮโดรเจน ความว่องไวของตัวเร่งปฏิกิริยา Cu-ZnO สำหรับวอเตอร์แก๊สชิฟต์ได้รับอิทธิพลส่วน ใหญ่จากชนิดของตัวรองรับ โดยตัวเร่งปฏิกิริยา Cu-ZnO บนตัวรองรับ  $\text{Al}_2\text{O}_3 \text{ MgO}$  และ  $\text{CeO}_2$  มี ความว่องไวที่สูง ในขณะที่ตัวเร่งปฏิกิริยาที่มีตัวรองรับ  $\text{SiO}_2-\text{Al}_2\text{O}_3$   $\text{SiO}_2-\text{MgO}$  และ β-zeolite พ布ว่ามีความว่องไวน้อยกว่าในช่วงที่อุณหภูมิ 423 K ถึง 523 K การวิเคราะห์ด้วย XRD แสดงให้เห็นว่าสปีชีของทองแดงกระจายตัวได้ดีบนตัวรองรับโดยเฉพาะ  $\text{MgO}$  ผลของ TPR ของชุดตัวเร่งปฏิกิริยาที่ได้รับการสนับสนุน CuO-ZnO แสดงให้เห็นว่าค่า reducibility ของ Cu เป็นหนึ่งใน

ปัจจัยสำคัญในการควบคุมความว่องไวของการเกิดปฏิกิริยาของเตอร์แแก็สซิฟต์บนตัวเร่งปฏิกิริยาที่ได้รับการสนับสนุน

Zhang และคณะ (2008)<sup>[45]</sup> แสดงให้เห็นถึงการฟอร์มตัวของตัวเร่งปฏิกิริยา Fe-Al-Cu ที่ปราศจาก Cr โดย Cu เป็นโปรโนเตอร์โครงสร้างและมีส่วนสำคัญต่อการเพิ่มความว่องไว ผลของการสนับสนุนของ Cu ขึ้นอยู่กับ Cu ที่แทรกเข้าในโครงสร้างของเหล็กออกไซด์ ในระหว่างการเตรียมตัวเร่งปฏิกิริยา ผลการวิเคราะห์ลักษณะเฉพาะของตัวเร่งปฏิกิริยาแสดงให้เห็นว่า Cu กระจายสม่ำเสมอในโครงสร้างเหล็กออกไซด์สำหรับตัวเร่งปฏิกิริยาโซลเจล และพบส่วนผสมของผลึกเหล็กออกไซด์สำหรับตัวเร่งปฏิกิริยาโซลเจลของ Fe-Al-Cu การเตรียมด้วยวิธีโซลเจลช่วยเพิ่มตำแหน่งร่องของออกซิเจนจำนวนมากในโครงสร้างซึ่งส่งเสริมwang จากราดออกซิในระหว่างการเกิดปฏิกิริยาของเตอร์แแก็สซิฟต์

Nishida และคณะ (2008)<sup>[46]</sup> ศึกษาปริมาณของโลหะมีตระกูลที่เติมลงในตัวเร่งปฏิกิริยา Cu/ZnO/Al<sub>2</sub>O<sub>3</sub> โดยประยุกต์ใช้ผลของความจำของไฮดรอลไซด์ โลหะมีตระกูลจะเติมลงไปโดยการจุ่มสารตั้งต้นที่เผาที่ 300 องศาเซลเซียสในสารละลายของไนเตรตของโลหะมีตระกูล โดยไฮดรอลไซด์จะถูกจัดเรียงตัวใหม่โดยผลของความจำ และโลหะมีตระกูลจะถูกรวมเข้าเป็นหนึ่งเดียวกัน ในบรรดาโลหะมีตระกูล Pt มีประสิทธิภาพที่ดีที่สุดสำหรับการรักษาเสถียรภาพของความว่องไวในการเร่งปฏิกิริยา แม้จะเสื่อมสภาพไปบ้างจากการรวมตัวกันของ Cu เอโตรชาลดไซด์เป็นตัวที่ขาดไม่ได้สำหรับการผลิตไซด์ที่ว่องไวของ Cu/ZnO ในขณะที่ปริมาณเล็กน้อยของไฮดรอลไซด์ มีประสิทธิภาพสำหรับการปรับปรุงความคงทนของตัวเร่งปฏิกิริยาโดยการปรับปรุงพื้นผิว

Zhang และคณะ (2009)<sup>[47]</sup> ได้รายงานก่อนหน้านี้ถึงตัวเร่งปฏิกิริยา Fe-Al-Cu ที่เตรียมโดยวิธีโซลเจล ซึ่งแสดงถึงประสิทธิภาพที่เหนือกว่าของปฏิกิริยาของเตอร์แแก็สซิฟต์เมื่อเทียบกับตัวเร่งปฏิกิริยาขององค์ประกอบที่คล้ายกันที่เตรียมด้วยเทคนิคการตกตะกอน/การผึ้งตัว ความแตกต่างในประสิทธิภาพถูกอธิบายว่า การก่อตัวของโครงสร้าง α-Fe<sub>2</sub>O<sub>3</sub> และการรวมตัวกันได้ดียิ่งขึ้นและการกระจายของ Cu ในเมทริกซ์ของเหล็กออกไซด์ในการศึกษาในปัจจุบันผลกระทบของปริมาณ Cu ที่ถูกตรวจสอบสำหรับอิทธิพลที่มีต่อสมบัติพื้นผิวและโครงสร้าง และในการเพิ่มประสิทธิภาพตัวเร่งปฏิกิริยา การเลี้ยวเบนรังสีเอกซ์หรือเอกซ์อาร์ดีถูกใช้ในการตรวจสอบความเป็นผลึกในตัวเร่งปฏิกิริยาที่มีปริมาณ Cu ที่แตกต่างกันในระหว่างการเกิดปฏิกิริยา

*Gunawardana และคณะ (2009)*<sup>[48]</sup> ศึกษาชุดของตัวเร่งปฏิกิริยา

ทองแดงบนซีเรียม กับปริมาณของทองแดงในช่วง 20 ถึง 90 % โดยอัตราของ Cu ( $=100 \times \text{Cu}/(\text{Cu}+\text{Ce})$ ) ที่เตรียมโดยวิธีการตกตะกอนร่วม และทำการทดสอบประสิทธิภาพของตัวเร่งปฏิกิริยาที่เตรียมได้สำหรับปฏิกิริยาของเตอร์แก๊สซิฟต์ที่อุณหภูมิขนาดกลาง (150 องศาเซลเซียส ถึง 360 องศาเซลเซียส) หลังจากทดสอบครั้งแรก ตัวเร่งปฏิกิริยา มีความเสถียรในส่วนของความร่องไวและพื้นที่ผิวสัมผัส ความร่องไวของตัวเร่งปฏิกิริยาเพิ่มขึ้นตามการเพิ่มปริมาณทองแดง ผลการศึกษาพบ 80 % โดยอัตราของทองแดง-ซีเรียมมีประสิทธิภาพที่ดีที่สุด และตัวเร่งปฏิกิริยา มีเสถียรภาพที่ 360 องศาเซลเซียส

#### 2.2.4 ออกซิเดชันแบบเลือกเกิดของคาร์บอนมอนอกไซด์ (Preferential oxidation of CO; PROX)

*Mariño และคณะ (2005)*<sup>[49]</sup> ทดสอบตัวเร่งปฏิกิริยาโลหะที่ได้รับการสนับสนุนสำหรับออกซิเดชันแบบเลือกเกิด ตัวเร่งปฏิกิริยาที่ศึกษาประกอบด้วยโลหะ Co Cr Cu Ni Zn และมีตัวรองรับเป็น MgO, La<sub>2</sub>O<sub>3</sub>, SiO<sub>2</sub>-Al<sub>2</sub>O<sub>3</sub>, CeO<sub>2</sub>, Ce<sub>0.63</sub>Zr<sub>0.37</sub>O<sub>2</sub> โดยเบริญบที่ยับความร่องไวของตัวเร่งปฏิกิริยาที่มีซีเรียมและซีเรียม-เชอร์โคเนี่ยเป็นตัวรองรับกับตัวอย่างโลหะมีตระกูลที่ใช้ท้าไป นอกจากนี้ตัวเร่งปฏิกิริยา Cu-CeO<sub>2</sub> พบว่ามีการเลือกเกิดปฏิกิริยาที่สูงและคงที่ต่อการเกิดออกซิเดชันในช่วงอุณหภูมิของ 50 ถึง 150 องศาเซลเซียส ประสิทธิภาพในการเร่งปฏิกิริยาที่ดีที่สุดพบที่ปริมาณทองแดงร้อยละ 1 ถึง 3 โดยน้ำหนัก การมีอู่ของอนุภาคขนาดเล็กของทองแดงที่เกิดอันตรกิริยาอย่างใกล้ชิดกับสังผ肚ต่อการเพิ่มขึ้นของความร่องไว ยกเว้นสำหรับไฮโดรเจนออกซิเดชันที่ไม่มีปฏิกิริยาคุ้นเคย (CO หรือ มีเทนเนชัน, วีเวอร์สวอเตอร์แก๊สซิฟต์, การเกิดโค็ก) สามารถตรวจพบในตัวเร่งปฏิกิริยาเหล่านี้ สุดท้ายการมีอู่ของ CO<sub>2</sub> ในสายป้อนไส้ส่งผลกระทบในเชิงลบของความร่องไวในการเร่งปฏิกิริยาจากการดูดซับบนตำแหน่งของทองแดง

*Liu และคณะ (2007)*<sup>[50]</sup> ศึกษาอิทธิพลของวิธีการเตรียม เช่น การตกตะกอนร่วม คีเลติ้ง กรดซิตริกและขั้นตอนที่สำคัญ สำหรับการเกิดออกซิเดชันแบบเลือกเกิดของ CO ในไฮโดรเจนที่มากเกินพอบนตัวเร่งปฏิกิริยา CuO-CeO<sub>2</sub> ตัวเร่งปฏิกิริยาที่เตรียมโดยคีเลติ้งที่มีความร่องไวสูงที่สุด นอกจากนี้ผลของเอ็กซ์อาร์ดี ยูวี รามันและทีพีอาร์ แสดงว่าวิธีการคีเลติ้งช่วยเพิ่มการก่อตัวของส่วนบกพร่องของซีเรียม และเพิ่มผลซินเนอร์จิกระหว่างวงจรของ Cu<sup>1+</sup>/Cu<sup>2+</sup> และ Ce<sup>3+</sup>/Ce<sup>4+</sup> ซึ่งจะเป็นประโยชน์ต่อการปรับปรุงประสิทธิภาพการทำงานของตัวเร่งปฏิกิริยา CuO-CeO<sub>2</sub>

Moretti และคณะ (2009)<sup>[51]</sup> ศึกษาโดยเบรี่ยบเทียบชุดของระบบออกไซด์บอง Al-Ce-Cu แบบมีโซพอร์ สังเคราะห์โดยวิธีขึ้นต่อนเดียวโดยใช้กําลูมิเนียมเซคบิวทอคไซด์ ซึ่งเป็นสารตั้งต้น Al และ Cu และ Ce สเตียเรต และ/หรือไนเตรตที่เป็นแหล่งโลหะเพื่อประเมินอิทธิพลของบางอย่างของพารามิเตอร์การเตรี่ยมที่มีต่อพฤติกรรมของตัวเร่งปฏิกิริยา ออกซิเดชัน ความว่องไวของตัวเร่งปฏิกิริยาทดสอบในช่วงใน 40 ถึง 190 องศาเซลเซียส ตัวเร่งปฏิกิริยาทั้งหมดแสดงค่าการเปลี่ยนและการเลือกเกิดที่ดีโดยเฉพาะอย่างยิ่งถ้าพิจารณาทางเดงร้อยละ 2 โดยน้ำหนัก และซีเรี่ยมร้อยละ 7 โดยน้ำหนัก แต่ตัวอย่าง  $\text{AlCe}_s\text{Cu}_s$  ที่เตรี่ยมโดยใช้ในปริมาณที่เหมาะสมของซีเรี่ยมและทองแดงทั้งสองที่เป็นสเตียเรต พบว่า ได้ความว่องไวที่สูงสุดสำหรับการออกซิเดชันและมีความต้านทานสูงมากในกระแส (มากกว่า 6 วัน)

## บทที่ 3

### วิธีดำเนินการวิจัย

#### 3.1 วัสดุ อุปกรณ์ เครื่องมือ แก๊สและสารเคมีที่ใช้ในการวิจัย

##### 3.1.1 สารเคมีที่ใช้ในการวิจัย

- 1) คอปเปอร์ทูไนเตรตไอกไซเดรต หรือ Copper (II) nitrate trihydrate ( $\text{Cu}(\text{NO}_3)_2 \cdot 3\text{H}_2\text{O}$ ) น้ำหนักโมเลกุล เท่ากับ 241.60 กรัมต่อมोล ผลิตโดยบริษัท เมอร์ค (Merck)
- 2) ซีเรียมทրีไนเตรตເເກສະໄයเดรต หรือ Cerium (III) nitrate hexahydrate ( $\text{Ce}(\text{NO}_3)_3 \cdot 6\text{H}_2\text{O}$ ) น้ำหนักโมเลกุล เท่ากับ 434.23 กรัมต่อมोล ผลิตโดยบริษัท เมอร์ค (Merck)
- 3) ไอรอนອอนทรีไนเตรตโนนະໄයเดรต หรือ Iron (III) nitrate nanohydrate ( $\text{Fe}(\text{NO}_3)_3 \cdot 9\text{H}_2\text{O}$ ) น้ำหนักโมเลกุล เท่ากับ 404.00 กรัมต่อมोล ผลิตโดยบริษัท เมอร์ค (Merck)
- 4) ซิงค์ทูไนเตรตเตตራไไซเดรต หรือ Zinc (II) nitrate tetrahydrate ( $\text{Zn}(\text{NO}_3)_2 \cdot 4\text{H}_2\text{O}$ ) น้ำหนักโมเลกุล เท่ากับ 261.44 กรัมต่อมोล ผลิตโดยบริษัท เมอร์ค (Merck)
- 5) ยูเรีย หรือ Urea ( $\text{NH}_2\text{CONH}_2$ ) น้ำหนักโมเลกุล เท่ากับ 60.06 g กรัมต่อมोล ผลิตโดยบริษัท เอเชียแปซิฟิก สเปเชียลตี้ เคมิคอลส์ จำกัด (Asia Pacific Specialty Chemicals Ltd.)
- 6) นิกเกิลทูไนเตรตເເກສະໄයเดรต หรือ Nickel (II) nitrate hexahydrate ( $\text{Ni}(\text{NO}_3)_2 \cdot 6\text{H}_2\text{O}$ ) น้ำหนักโมเลกุล เท่ากับ 290.81 กรัมต่อมोล ผลิตโดยบริษัท เอแจ็กซ์ ไฟน์เคม จำกัด มหาชน (Ajax Finechem Pty. Ltd.)
- 7) โซไลต์วาย (โซเดียมฟอร์ม) หรือ Zeolite Y (Na-form) พื้นที่ผิวบีเอที (BET surface area) เท่ากับ 606.15 ตารางเมตรต่อกرام และ อัตราส่วนโดยโมลของซิลิกอนต่อ อัลูมิเนียม (Si/Al) เท่ากับ 2.833 ได้ความอนุเคราะห์จาก Institut Français du Pétrole (IFP) ประเทศไทย

### 3.1.2 แก๊สที่ใช้ในการวิจัย

- 1) คาร์บอนไดออกไซด์บริสุทธิ์สูง (High purity carbon dioxide, CO<sub>2</sub>) ร้อยละความบริสุทธิ์ 99.99 ผลิตโดยบริษัท ไทยอินดัสเตรียลแก๊ส จำกัด (TIG Co., Ltd.)
- 2) มีเทนอัด (Compressed methane) ผลิตโดยกลุ่มบริษัท บринส์ออกซิเจน คอมปานี (The BOC Group, Inc.)
- 3) ไฮโดรเจนบริสุทธิ์สูง (High purity hydrogen, H<sub>2</sub>) ร้อยละความบริสุทธิ์ 99.99 ผลิตโดยบริษัท ไทยอินดัสเตรียลแก๊ส จำกัด (TIG Co., Ltd.)
- 4) ไฮโดรเจนบริสุทธิ์สูงพิเศษ (Ultra-high purity helium, He) ร้อยละความบริสุทธิ์ 99.999 ผลิตโดยบริษัท ไทยอินดัสเตรียลแก๊ส จำกัด (TIG Co., Ltd.)
- 5) คาร์บอนมอนอกไซด์ร้อยละ 10 โดยปริมาตร ในไฮเดรย์เจน (10% carbon monoxide (CO) in helium (He)) ผลิตโดยบริษัท ไทยอินดัสเตรียลแก๊ส จำกัด (TIG Co., Ltd.)
- 6) คาร์บอนไดออกไซด์ร้อยละ 20 โดยปริมาตร ในไฮเดรย์เจน (20% carbon dioxide (CO<sub>2</sub>) in helium (He)) ผลิตโดยบริษัท พร็อกซ์แอร์ ประเทศไทย จำกัด (Praxair Thailand Co., Ltd.)
- 7) ออกซิเจนร้อยละ 5 โดยปริมาตร ในไฮเดรย์เจน (Oxygen (O<sub>2</sub>) in helium (He)) ผลิตโดยบริษัท ไทยอินดัสเตรียลแก๊ส จำกัด (TIG Co., Ltd.)

### 3.1.3 อุปกรณ์ที่ใช้ในการวิจัย

- 1) อุปกรณ์ควบคุมอัตราการไหลของแก๊ส (Mass flow controller) ยี่ห้ออัลบรอก (AALBROG) รุ่น GFC 1715
- 2) อุปกรณ์ควบคุมอุณหภูมิ ต่อเข้ากับตัววัดอุณหภูมิและเตาไฟฟ้าชนิดขาดลาด (Temperature controller equipped with thermocouple and solenoid electric furnace)
- 3) ปั๊มปืนนิดหลอดฉีด (Syringe pump)
- 4) ท่อ ข้อต่อ และวาล์วเหล็กกล้าไร้สนิมชนิด 316 (Stainless steel 316 tube, fitting, and valve) ยี่ห้อสวेगล็อก (Swagelok)
- 5) ท่อแก้วควอตซ์ (Quartz tubes) ขนาดเส้นผ่านศูนย์กลางภายใน 1/4 นิ้ว และ 6 มิลลิเมตร
- 6) เทปไนเก็ตความร้อน (Heating tab)
- 7) เกจความดัน (Pressure gauge)

- 8) อุปกรณ์ดักจับน้ำ (Glass water trap)
- 9) เตาไฟฟ้า (Electric oven)
- 10) เตาเผาอากาศนิ่ง (Static air muffle furnace)
- 11) อุปกรณ์ปรับความดันแก๊ส (Regulator)
- 12) แก๊สโครมาตอกราฟ (Gas chromatography, GC) รุ่น Thermo Finnigan 2000 และ Agilent Technologies 6890N

### 3.2 วิธีดำเนินการทดลอง

#### 3.2.1 ปฏิกิริยาออกซิเดชันแบบเลือกเกิดของคาร์บอนมอนอกไซด์ (Preferential oxidation of CO, PROX)

สำหรับขั้นตอนของการทดลองในหน่วยนี้ เริ่มจากการเตรียมตัวเร่งปฏิกิริยา วิเคราะห์เอกลักษณ์หรือลักษณะเฉพาะของตัวเร่งปฏิกิริยา และการวัดความว่องไวในการเกิดปฏิกิริยา โดยทำการออกแบบการทดลองเชิงสถิติเพื่อประเมินความสำคัญของตัวแปรที่ศึกษา ที่ส่งผลต่อค่าการเปลี่ยนของคาร์บอนมอนอกไซด์ (CO conversion) และค่าการเลือกเกิดของคาร์บอนไดออกไซด์ ( $\text{CO}_2$  selectivity)

##### 3.2.1.1 การเตรียมตัวเร่งปฏิกิริยา (Catalyst preparation)

ตัวเร่งปฏิกิริยาโลหะออกไซด์ผสมของทองแดง ซึ่เริ่มและเหล็กเตรียมด้วยวิธีการเผาไหม้เรียบและไนเตรต (Urea-nitrate combustion, UNC) โดยเริ่มจากนำคอปเปอร์ทูไนเตรตไตรไนเตรต ( $\text{Cu}(\text{NO}_3)_2 \cdot 3\text{H}_2\text{O}$ ) ซึ่เริ่มทรีไนเตรตอะกัลไนเตรต ( $\text{Ce}(\text{NO}_3)_3 \cdot 6\text{H}_2\text{O}$ ) ไอรอนทรีไนเตรตโนนไนเตรต ( $\text{Fe}(\text{NO}_3)_3 \cdot 9\text{H}_2\text{O}$ ) และยูเรีย ( $\text{NH}_2\text{CONH}_2$ ) มาผสมในน้ำกลั่นปริมาณน้อยที่สุด ที่อัตราส่วนโดยโมลาร์ของทองแดง ( $\text{Cu}/(\text{Cu}+\text{Ce}+\text{Fe})$  molar ratio) เท่ากับ 0.15 อัตราส่วนโดยน้ำหนักของซึ่เริ่มต่อเหล็ก (Ce:Fe weight ratio) เท่ากับ 1:0.5 และอัตราส่วนโดยโมลของยูเรียต่อไนเตรต (Urea/nitrate (U/N) ratio) เท่ากับ 2.375 จากนั้นนำสารละลายไปรังให้ปอดบทที่ 80 องศาเซลเซียส เป็นเวลาหนึ่งชั่วโมงในเตาอบ จะได้สารละลายที่มีลักษณะเป็นเจลนิด นำไปให้ความร้อนที่อุณหภูมิ 450 องศาเซลเซียส และเผาต่อที่ 550 องศาเซลเซียส เป็นเวลาหนึ่งชั่วโมงในบรรยายการที่เป็นอากาศนิ่ง เมื่อครบกำหนดจะได้วัสดุของแข็งออกมานำไปบดในโครงแก้วและเก็บในตู้ดูดความชื้น

### 3.2.1.2 การทดสอบความว่องไวของตัวเร่งปฏิกิริยา (Catalytic activity measurement)

การทดสอบความว่องไวในการเกิดปฏิกิริยาของตัวเร่งปฏิกิริยาดำเนินการภายใต้ความดันบรรยากาศ และดำเนินการในเครื่องปฏิกิริณ์เบดningแบบสองขั้นตอน ซึ่งระบบเครื่องปฏิกิริณ์ประกอบด้วย หลอดแก้วควบอุณหภูมิปัตติวัลย์สองหลอดขนาดเด่นผ่านศูนย์กลางภายใน 6 มิลลิเมตร ต่อ กันแบบอนุกรมและแต่ละเครื่องปฏิกิริณ์ได้ติดตั้งอุปกรณ์ควบคุมอุณหภูมิที่แยกจากกัน โดยบรรจุตัวเร่งปฏิกิริยาระหว่างขั้นไนแก้วควบอุณหภูมัยในหลอดควบอุณหภูมิ ก่อนที่จะทดสอบความว่องไวในการเกิดปฏิกิริยาจะทำการปรับสภาพตัวเร่งปฏิกิริยาโดยผ่านออกซิเจนที่มีความบริสุทธิ์สูงที่อุณหภูมิ 110 องศาเซลเซียส เป็นเวลา 30 นาที และจากนั้นลดอุณหภูมิลงถึง 50 องศาเซลเซียส โดยผ่านอีเลี่ยมที่มีความบริสุทธิ์สูง แก๊สผสมตั้งต้นประกอบด้วยคาร์บอนไดออกไซด์ร้อยละ 1 โดยปริมาตร ออกซิเจนร้อยละ 1-2 โดยปริมาตร ไออกไซเจนร้อยละ 40 โดยปริมาตร สมดุลในอีเลี่ยม และอัตราการไหลรวมของแก๊สผสมเป็น 50 มิลลิลิตรต่อนาที อุณหภูมิอยู่ในช่วง 50-225 องศาเซลเซียส เพื่อศึกษาประสิทธิภาพของตัวเร่งปฏิกิริยาในเครื่องปฏิกิริณ์แบบเดียวจะใช้เครื่องปฏิกิริณ์เพียงเครื่องแรกเท่านั้น แก๊สข้าวอกจากเครื่องปฏิกิริณ์เครื่องแรกจะผ่านคอนเดนเซอร์น้ำแข็งเย็นเพื่อดักจับไอน้ำ ก่อนจะเข้าสู่เครื่องแก๊สโคลร์มาโดยกราฟ โดยศึกษาผลของอัตราส่วนของออกซิเจนต่อคาร์บอนมอนอกไซด์ ( $O_2/CO$  ratio) และอัตราส่วนของน้ำหนักของตัวเร่งปฏิกิริยาต่ออัตราการไหลรวมของแก๊สผสม ( $W/F$  ratio) ที่ส่งผลต่อประสิทธิภาพของตัวเร่งปฏิกิริยาสำหรับการศึกษาในปฏิกิริยาแบบขั้นเดียว อัตราส่วนของออกซิเจนต่อคาร์บอนมอนอกไซด์และอัตราส่วน  $W/F$  อยู่ในช่วง 1.0-2.0 และ 0.12-0.36 กรัม วินาทีต่อลูกบาศก์เซนติเมตร ตามลำดับ เพื่อศึกษาความว่องไวในการเกิดปฏิกิริยาของตัวเร่งปฏิกิริยาในปฏิกิริยาแบบสองขั้น แก๊สข้าวอกจากเครื่องปฏิกิริณ์เครื่องแรกจะถูกส่งผ่านโดยตรงไปยังเครื่องปฏิกิริณ์เครื่องที่สอง ซึ่งก็คือเครื่องปฏิกิริณ์แบบสองขั้น อุณหภูมิของเครื่องปฏิกิริณ์ทั้งสองจะควบคุมให้ที่อุณหภูมิเดียวกัน อัตราส่วนออกซิเจนที่ป้อนเข้าสู่เครื่องปฏิกิริณ์เครื่องแรกต่อเครื่องที่สอง เรียกว่า อัตราส่วนแบ่งแยกออกซิเจน ( $O_2$  split ratio) และอัตราส่วนของปริมาณตัวเร่งปฏิกิริยาที่อยู่ในเครื่องปฏิกิริณ์เครื่องแรกต่อเครื่องที่สอง เรียกว่า อัตราส่วนแบ่งแยกของน้ำหนักตัวเร่งปฏิกิริยา (Weight of catalyst (WC) split ratio) ที่ 1:2 1:1 และ 2:1 ในขณะที่อัตราส่วน  $O_2/CO$  และอัตราส่วน  $W/F$  คงที่ไว้ ณ ภาวะที่เหมาะสมที่ได้จากปฏิกิริยาแบบขั้นเดียว แก๊สข้าวอกจากเครื่องปฏิกิริณ์เครื่องที่สองจะส่งจะผ่านคอนเดนเซอร์น้ำแข็งเย็นเพื่อดักจับไอน้ำ ก่อนจะเข้าสู่เครื่องแก๊สโคลร์มาโดยกราฟ แก๊สทั้งขาเข้าและขาออกจากเครื่องปฏิกิริณ์จะถูกดูดด้วยเครื่องแก๊ส

โครมาตอกราฟ หรือ GC (ยี่ห้อ Agilent Technologies รุ่น 6890N Network GC system) พร้อมกับตัวตรวจจับการนำความร้อนของแก๊ส (Thermal conductivity detector, TCD) และใช้แก๊สไฮเดรียมเป็นแก๊สตัวพา ข้อมูลที่ได้ในการทดลองจะถูกบันทึกและรายงานในรูปของค่าการเปลี่ยนของคาร์บอนมอนอกไซด์ (CO conversion) และค่าการเลือกเกิดของคาร์บอนไดออกไซด์ (CO<sub>2</sub> selectivity) แสดงดังต่อไปนี้

$$\text{CO conversion} = ([\text{CO}]_{\text{in}} - [\text{CO}]_{\text{out}})/[\text{CO}]_{\text{in}} \quad (3.1)$$

$$\text{CO selectivity} = [\text{O}_2]_{\text{CO}} / (\text{[O}_2]_{\text{CO}} - [\text{O}_2]_{\text{H}_2}) \quad (3.2)$$

โดยที่  $[\text{CO}]_{\text{in}}$  คือ ความเข้มข้นของคาร์บอนมอนอกไซด์เข้า (ไมลต่อนาที)

$[\text{CO}]_{\text{out}}$  คือ ความเข้มข้นของคาร์บอนมอนอกไซด์ข้อออก (ไมลต่อนาที)

$[\text{O}_2]_{\text{CO}}$  คือ ความเข้มข้นของออกซิเจนที่ใช้ในปฏิกิริยาออกซิเดชันของคาร์บอนมอนอกไซด์ (ไมลต่อนาที)

และ  $[\text{O}_2]_{\text{H}_2}$  คือ ความเข้มข้นของออกซิเจนที่ใช้ในปฏิกิริยาออกซิเดชันของไฮโดรเจน (ไมลต่อนาที)

### 3.2.1.3 การออกแบบการทดลองและการวิเคราะห์ทางสถิติ (Design of experiments and statistical analysis)

การออกแบบการทดลองแบบแฟคทอริ얼เต็มรูปแบบสองระดับหรือ Full two-level factorial design (สองปัจจัยและสองระดับ) ได้ถูกนำมาใช้เพื่อให้สอดคล้องกับโมเดลที่ใช้ศึกษาโดยกำหนดให้ค่าการเปลี่ยนของคาร์บอนมอนอกไซด์ (CO conversion) และค่าการเลือกเกิดของคาร์บอนไดออกไซด์ (CO<sub>2</sub> selectivity) เป็นผลตอบสนอง (Responses) ในการทดลอง ส่วนของปฏิกิริยาแบบขั้นเดียว ทำการศึกษาผลของอัตราส่วน O<sub>2</sub>/CO และอัตราส่วน W/F ที่มีต่อผลตอบสนองโดยใช้การออกแบบแฟคทอริ얼สองระดับแบบบล็อกอุณหภูมิ เมื่อคงที่อุณหภูมิปฏิกิริยาไว้ที่ 50 75 100 125 150 175 200 และ 225 องศาเซลเซียส ซึ่งในแต่ละปัจจัยจะนำเสนอที่สองระดับในขนาดพิกัดต่ำและสูงแสดงเป็น “+1” และ “-1” ตามลำดับ ใน การทดลองส่วนของปฏิกิริยาแบบสองขั้น ทำการศึกษาผลของอัตราส่วนแบ่งแยกออกซิเจนและอัตราส่วนแบ่งแยกของน้ำหนักของตัวเร่งปฏิกิริยาที่มีต่อผลตอบสนองโดยใช้การออกแบบแฟคทอริ얼สองระดับแบบบล็อกอุณหภูมิ เมื่อคงที่อุณหภูมิปฏิกิริยาไว้ที่ 50 75 100 125 150 175 200 และ 225 องศาเซลเซียส ระดับของจุดกลางในการทดลองของปฏิกิริยาแบบขั้นสองจะยังดำเนินการในการ

ออกแบบแพคทอเรียล ซึ่งแทนด้วยรหัส “0” สำหรับการประมาณข้อผิดพลาดของการทดลอง และ ลำดับการทดลองเป็นแบบสุ่มโดยสมบูรณ์ ผลกระทบของแต่ละปัจจัยที่ทดสอบโดยใช้การทดสอบแบบสตูเดนท์ (Student test) ที่ทดสอบลักษณะกับค่า P-value เป้าจัยที่มีค่า P-value น้อยกว่า 0.05 ได้รับการพิจารณาให้เป็น “นัยสำคัญทางสถิติ”

### 3.2.2 ระบบโดยรวม (Integrated system)

สำหรับระบบโดยรวมของปฏิกิริยาเริฟอร์มมิ่งของมีเทนด้วยคาร์บอนไดออกไซด์ อาจ เทอร์แก๊สชีฟต์และออกซิเดชันแบบเลือกเกิดขึ้นจากการบ่อนอกไชด์ ตัวเร่งปฏิกิริยา 7%Ni/Zeolite-Y ถูกนำมาใช้ในการผลิตไฮโดรเจนผ่านปฏิกิริยาเริฟอร์มมิ่งของมีเทนด้วย คาร์บอนไดออกไซด์ ซึ่งแก๊สข้ามออกที่ได้จะผ่านกระบวนการเพื่อลดปริมาณคาร์บอนมอนอกไชด์ ต่อไป เมื่อไข่ในการทดลองมีดังต่อไปนี้

เริ่มต้นด้วยการบรรจุตัวเร่งปฏิกิริยานิกเกิล ร้อยละ 7 โดยนำหันกับน้ำของรับชี โซไลต์ชนิดไฮเดรียมวาย (7 wt.% Ni/NaY-zeolite) เตรียมด้วยวิธีเคลือบผึ้งแบบเปียกพอตื้อพูน (Incipient wetness impregnation, IMP) จำนวน 0.2 กรัม ในเครื่องปฏิกิริณ์หลอดแก้วภาชนะ และรีดิวซ์กับไฮโดรเจนที่มีความบริสุทธิ์สูงด้วยอัตราเร็ว 15 มิลลิลิตรต่อนาที ที่อุณหภูมิ 600 องศา เชลเซียส เป็นเวลา 1 ชั่วโมง จากนั้นผ่านอีเดียมในตัวอย่างตัวเร่งปฏิกิริยาที่อุณหภูมิปฏิกิริยา เป็น เวลา 30 นาที แก๊สตั้งต้นของปฏิกิริยาเริฟอร์มมิ่งของมีเทนด้วยคาร์บอนไดออกไซด์ประกอบด้วย คาร์บอนไดออกไซด์ร้อยละ 50 โดยโมลและมีเทนร้อยละ 50 โดยโมล (อัตราส่วนโดยโมล  $\text{CH}_4/\text{CO}_2 = 1$ ) มีอัตราการไหลโดยรวม 50 มิลลิลิตรต่อนาที ควบคุมด้วยอุปกรณ์ควบคุมอัตราการ ไหลของแก๊ส อุณหภูมิปฏิกิริยาอยู่ระหว่าง 700 ถึง 850 องศาเซลเซียส ในการตรวจสอบความ กว้างไวยของตัวเร่งปฏิกิริยา

สำหรับส่วนของปฏิกิริยาของเตอร์แก๊สชีฟต์ บรรจุตัวเร่งปฏิกิริยาโลหะออกไชด์ผสม ของทองแดง สังกะสีและเหล็ก (Cu-Zn-Fe composite-oxide catalysts) จำนวน 0.2 กรัมลงใน เครื่องปฏิกิริณ์ทึ้งสองขั้น ทำการผ่านอีเดียมที่มีอัตราการไหล 10 มิลลิลิตรต่อนาที เข้าสู่เครื่อง ระยะและส่งไปยังเครื่องปฏิกิริณ์ขั้นแรก โดยอัตราส่วนไอน้ำต่อคาร์บอนหรือ Steam-to-carbon (S/C) ratio อยู่ระหว่าง 1 ถึง 7 ความกว้างไวยของตัวเร่งปฏิกิริยาจะทำการวัดที่อุณหภูมิ 450 องศา เชลเซียส สำหรับเครื่องปฏิกิริณ์ตัวแรก ในขณะที่เครื่องปฏิกิริณ์ตัวที่สองวัดที่อุณหภูมิ 350 ถึง 450 องศาเซลเซียส และไม่มีการเติมไอน้ำเพิ่มเข้าไปในสายป้อนก่อนเข้าเครื่องปฏิกิริณ์ตัวที่สอง

สำหรับส่วนของปฏิกิริยาออกซิเดชันแบบเลือกเกิดขึ้นการบอนมอนออกไซด์ บรรจุตัวเร่งปฏิกิริยาโลหะออกไซด์ผสมของทองแดง ซีเรียมและเหล็กเตรียมด้วยวิธีการเผาใหม่ยูเรียและในเตอร์ จำนวน 0.6 กรัม ลงในเครื่องปฏิกรณ์แบบสองชั้น โดยอัตราส่วนแบ่งแยกของน้ำหนักของตัวเร่งปฏิกิริยา (WC split ratio) เท่ากับ 1:1 ความเข้มข้นของออกซิเจนที่เพิ่มเข้าไปในสายป้อน ร้อยละ 0.5 ในแต่ละชั้น หรืออัตราส่วนแบ่งแยกของออกซิเจน ( $O_2$  split ratio) เท่ากับ 1:1 WGS แก๊สขาออกจากปฏิกิริยาอุตสาหกรรมแก๊สซิฟต์จะเข้าสู่เครื่องปฏิกรณ์ออกซิเดชันแบบเลือกเกิดขึ้นการบอนมอนออกไซด์เครื่องแรก โดยควบคุมอุณหภูมิไว้ที่ 175 องศาเซลเซียส สำหรับทั้งสองชั้น แก๊สขาออกจากเครื่องปฏิกิริยานี้จะส่องจะผ่านคอนเดนเซอร์น้ำแข็งเย็นเพื่อดักจับไอน้ำ ก่อนจะเข้าสู่เครื่องแก๊สโคลโนม่าโทรกราฟ แก๊สทั้งขาเข้าและขาออกจากเครื่องปฏิกิริยาระหว่างเครื่องแก๊สโคลโนม่าโทรกราฟ หรือ GC (ยี่ห้อ Agilent Technologies รุ่น 6890N Network GC system) พร้อมกับตัวตรวจจับการนำความร้อนของแก๊ส และใช้แก๊สไฮเดรียมเป็นแก๊สตัวพา

### 3.3 การวิเคราะห์คุณลักษณะตัวเร่งปฏิกิริยา

ตัวเร่งปฏิกิริยาโลหะออกไซด์ผสมของทองแดง สังกะสีและเหล็กที่ใช้ในปฏิกิริยาออกซิเดชันแบบเลือกเกิดขึ้นการบอนมอนออกไซด์ จะถูกวิเคราะห์โครงสร้างผลึกของตัวเร่งปฏิกิริยาด้วยเทคนิคการเลี้ยวเบนรังสีเอกซ์ (X-ray diffractometer, XRD) พร้อมคำนวณขนาดโดยใช้ Scherrer's equation นอกจากนี้ยังวิเคราะห์พื้นที่ผิวจำเพาะ ปริมาตรรูพูน และขนาดเส้นผ่าศูนย์กลางเฉลี่ยของรูพูนด้วยเทคนิค The Brunauer-Emmet-Teller (BET) ลักษณะสัณฐานของตัวเร่งปฏิกิริยาที่ถ่ายด้วยเทคนิคที่อิเม็มและเทคนิคเอกซ์อิเม็ม

หมายเหตุ การวิเคราะห์คุณลักษณะตัวเร่งปฏิกิริยาที่ใช้ในปฏิกิริยาเริฟอร์มมิ่งของมีเทนด้วยการบอนไดออกไซด์ และตัวเร่งปฏิกิริยาที่ใช้ในปฏิกิริยาอุตสาหกรรมแก๊สซิฟต์ ได้ถูกวิเคราะห์และแสดงผลไว้แล้วในรายงานช่วงที่ 1

ตัวเร่งปฏิกิริยานิกเกิล ร้อยละ 7 โดยน้ำหนักบนตัวรองรับซีโลไลต์ชนิดโซเดียมวาย ที่ใช้ในปฏิกิริยาเริฟอร์มมิ่งของมีเทนด้วยการบอนไดออกไซด์ จะถูกวิเคราะห์โครงสร้างผลึกของตัวเร่งปฏิกิริยาด้วยเทคนิคการเลี้ยวเบนรังสีเอกซ์ และวิเคราะห์รูปแบบการรีดักชันด้วยเทคนิค TPR

ตัวเร่งปฏิกิริยาโลหะออกไซด์ผสมของทองแดง สังกะสีและเหล็กที่ใช้ในปฏิกิริยาอุตสาหกรรมแก๊สซิฟต์ จะถูกวิเคราะห์โครงสร้างผลึกของตัวเร่งปฏิกิริยาด้วยเทคนิคการเลี้ยวเบนรังสีเอกซ์ พร้อมคำนวณขนาดโดยใช้ Scherrer's equation สำรวจปริมาณทองแดงและสัดส่วนโลหะในตัวรองรับจะถูกวิเคราะห์ด้วยเทคนิคการเรืองแสงของรังสีเอกซ์ นอกจากนี้ยังวิเคราะห์พื้นที่ผิวจำเพาะ ปริมาตรรูพูน และขนาดเส้นผ่าศูนย์กลางเฉลี่ยของรูพูนด้วยเทคนิค BET

## บทที่ 4

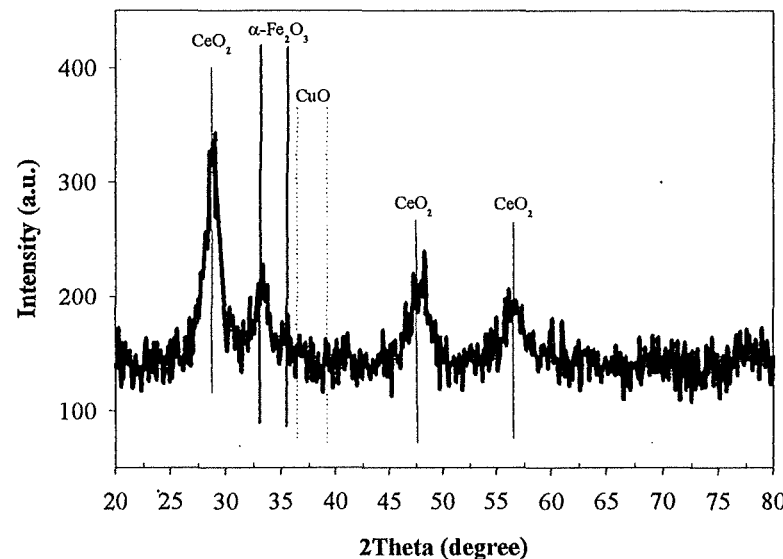
### ผลและอภิปรายผลการวิจัย

#### 4.1 ปฏิกิริยาออกซิเดชันแบบเลือกเกิดของคาร์บอนมอนออกไซด์ (Preferential oxidation of CO)

##### 4.1.1 ลักษณะของตัวเร่งปฏิกิริยา (Catalyst characterization)

ตัวเร่งปฏิกิริยาที่สังเคราะห์จะถูกวิเคราะห์คุณลักษณะโครงสร้างผลึกของตัวเร่งปฏิกิริยาด้วยเทคนิคการเลี้ยงเบนริงส์เอ็กซ์ ดังแสดงผลรูปที่ 4.1 และพื้นที่ผิวจำเพาะ ปริมาตรรูพูน และขนาดเส้นผ่าศูนย์กลางเฉลี่ยของรูพูนด้วยเทคนิค The Brunauer-Emmet-Teller (BET) และคำนวนหาขนาดของผลึกจาก Scherrer's equation ดังแสดงในตารางที่ 4.1 พัฒนาทั้งวิเคราะห์สัณฐานของตัวเร่งปฏิกิริยาที่ถ่ายด้วยเทคนิคที่อีเม็มและเทคนิคเอกซ์อีเม็มดังแสดงผลรูปที่ 4.2 และ 4.3 ตามลำดับ

รูปที่ 4.1 แสดงการเลี้ยงเบนริงส์เอ็กซ์ของตัวเร่งปฏิกิริยา  $Cu_{0.15}CeFe_{0.5}$  ที่ปรับปูงเป็นตันด้วยออกซิเจน พบร่วมกับรูปที่ 4.2 แสดงว่าทางเดนเซชันของตัวเร่งปฏิกิริยา  $Cu_{0.15}CeFe_{0.5}$  มีขนาดเล็กเกินไปที่ตรวจพบด้วยเทคนิคเอ็กซ์อาร์ดีและกระจายตัวได้ดีในตัวเร่งปฏิกิริยา ปรากម្មยอดพีคที่กว้างของเหล็กออกไซด์ในตัวเร่งปฏิกิริยา แสดงว่าเฟสของเหล็กออกไซด์มีขนาดผลึกของส่วนประกอบตัวเร่งปฏิกิริยา ได้แก่ เหล็กออกไซด์และซีเรีย คำนวนโดยใช้สมการของเซอร์เรอร์ และพื้นที่ผิวสัมผัส ปริมาตรรูพูนและขนาดรูพูนของตัวเร่งปฏิกิริยา  $Cu_{0.15}CeFe_{0.5}$  แสดงในตารางที่ 4.1



รูปที่ 4.1 รูปแบบการเดี้ยวนรังสีเอกซ์ของตัวเร่งปฏิกิริยา  $\text{Cu}_{0.15}\text{CeFe}_{0.5}$

ตารางที่ 4.1 ลักษณะเฉพาะของตัวเร่งปฏิกิริยา  $\text{Cu}_{0.15}\text{CeFe}_{0.5}$

อัตราส่วน		อัตราส่วน		$S_{\text{BET}}$	$V_p$	ขนาดผลึก	
Cu/(Cu+Ce+Fe)	Ce:Fe	(ตาราง	(ลูกบาศก์	$D_p$	(นาโน	(นาโนเมตร)	(นาโนเมตร)
ค่าที่	ค่าจริง	ค่าที่	ค่าจริง	เมตรต่อ	เซนติเมตรต่อ	เมตร)	
กำหนด	กำหนด	กำหนด	กำหนด	กรัม)	กรัม)		
0.15	0.148	1:0.5	1:0.55	34.33	0.1004	51.25	18.25 23.62

- รูปแบบการเดี้ยวนรังสีเอกซ์ที่ 2Theta เพื่อกับ <sup>a</sup> 29 องศา (สำหรับ  $\text{CeO}_2$ ) และ <sup>b</sup> 33 องศา (สำหรับ  $\text{Fe}_2\text{O}_3$ )

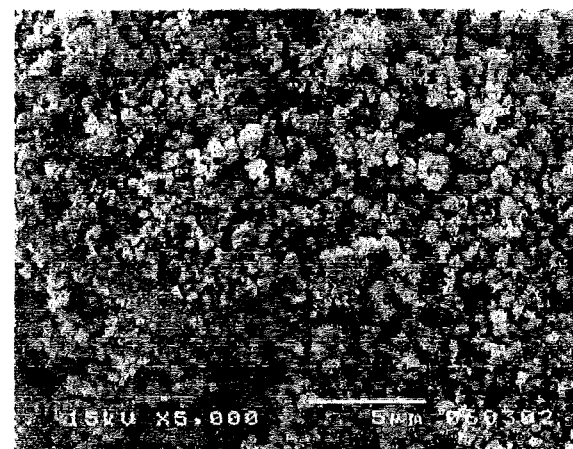
ในการตรวจสอบความถูกต้องของอัตราส่วนโดยไม้ล่าร์ของ  $Cu/(Cu+Ce+Fe)$  และอัตราส่วนโดยน้ำหนักของ Ce:Fe ดำเนินการโดยใช้เทคนิคเอ็กซ์อาร์เอฟ ซึ่งทำการเปรียบเทียบกับอัตราส่วนที่กำหนดค่าที่ได้จากการคำนวณ ดังแสดงในตารางที่ 4.1 ผลการวิเคราะห์ด้วยเทคนิคดังกล่าวพบว่า ค่าจริงที่ได้กับค่าที่กำหนดมีค่าใกล้เคียงกัน

รูปที่ 4.2 แสดงลักษณะสัณฐานของตัวเร่งปฏิกิริยาที่ถ่ายด้วยเทคนิคที่อี็ม ซึ่งแสดงให้เห็นได้ว่า อนุภาคของทองแดงออกไซด์ ซีเรียมและเหล็กไม่สามารถระบุได้ซึ่งชี้ให้เห็นว่า เพสขององค์ประกอบทั้งสามกระจายตัวได้ในตัวเร่งปฏิกิริยา นอกจากนี้พื้นผิวสัมผัสของอนุภาคองค์ประกอบเหล่านี้มีขนาดเล็กมากและอนุภาคผลึกนาโนอยู่ติดกับอนุภาคอื่น ๆ



รูปที่ 4.2 ภาพถ่ายด้วยเทคนิคที่อี็มสำหรับตัวเร่งปฏิกิริยา  $Cu_{0.15}CeFe_{0.5}$

รูปที่ 4.3 แสดงภาพถ่ายด้วยเทคนิคเอกซ์เรียมสำหรับตัวเร่งปฏิกิริยา  $\text{Cu}_{0.15}\text{CeFe}_{0.5}$  พบว่า อนุภาคขององค์ประกอบเหล่านี้ของตัวเร่งปฏิกิริยา มีลักษณะรูปทรงเป็นทรงกลมปกติขนาดเล็ก ซึ่ง รวมตัวกันเป็นผลึกแบบโพลิคริสตอลไลต์ (Polycrystallite) และกระจายตัวได้ในตัวเร่งปฏิกิริยา



รูปที่ 4.3 ภาพถ่ายด้วยเทคนิคเอกซ์เรียมสำหรับตัวเร่งปฏิกิริยา  $\text{Cu}_{0.15}\text{CeFe}_{0.5}$

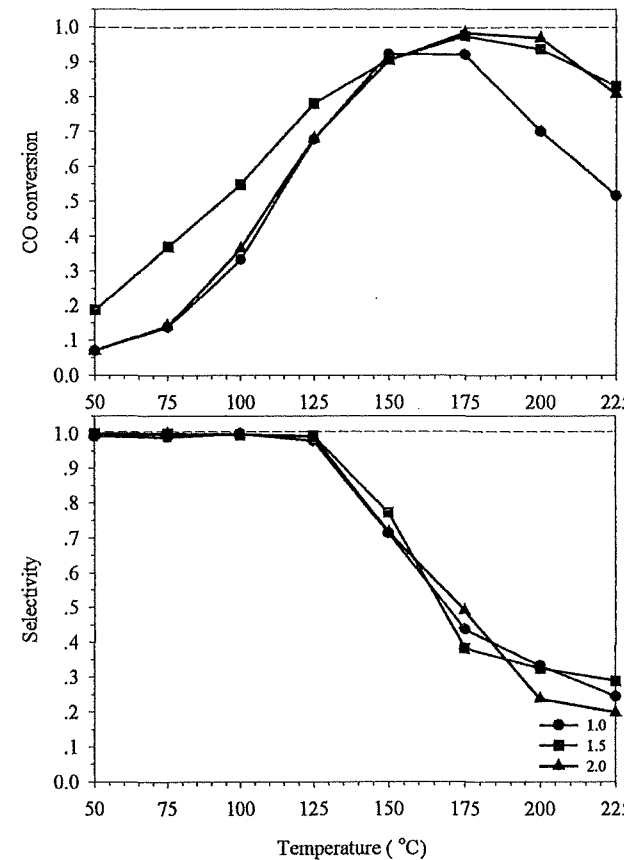
#### 4.1.2 ออกซิเดชันแบบเลือกเกิดของคาร์บอนมอนอกไซด์แบบขั้นเดียว (Single-stage of preferential oxidation of CO)

การศึกษาความกว้างไวดำรงสำหรับออกซิเดชันแบบเลือกเกิดของคาร์บอนมอนอกไซด์แบบ ขั้นเดียว บนตัวเร่งปฏิกิริยา  $\text{Cu}_{0.15}\text{CeFe}_{0.5}$  จะศึกษาภายใต้อัตราพัดของ 2 ปัจจัยหลัก คือ อัตราส่วน โดยไม่ล่าร์ของออกซิเจนต่อคาร์บอนมอนอกไซด์ และอัตราส่วนน้ำหนักของตัวเร่งปฏิกิริยาต่ออัตราเร็ว สายป้อน นอกจากนี้ยังทำการเปรียบเทียบความกว้างไวดำรงของตัวเร่งปฏิกิริยาที่มีอัตราส่วนออกซิเจนต่อ คาร์บอนมอนอกไซด์ต่างๆ และอัตราส่วนน้ำหนักของตัวเร่งปฏิกิริยาต่ออัตราเร็วสายป้อนต่างๆ ดังนี้

##### 4.1.2.1 อัตราส่วนโดยไม่ล่าร์ของออกซิเจนต่อคาร์บอนมอนอกไซด์

ความกว้างไวดำรงของตัวเร่งปฏิกิริยา  $\text{Cu}_{0.15}\text{CeFe}_{0.5}$  ที่อัตราส่วนโดยไม่ล่าร์ของออกซิเจนต่อคาร์บอนมอนอกไซด์ ( $\text{O}_2/\text{CO}$ )

molar ratio) ที่แตกต่างกัน ซึ่งเป็นพังค์ชันของอุณหภูมิ และคงที่อัตราส่วนน้ำหนักของตัวเร่งปฏิกิริยา ต่ออัตราเร็วสายป่อน (W/F ratio) ไว้ที่ 0.12 กรัม วินาทีต่อลูกบาศก์เซนติเมตร แสดงผลดังรูปที่ 4.4



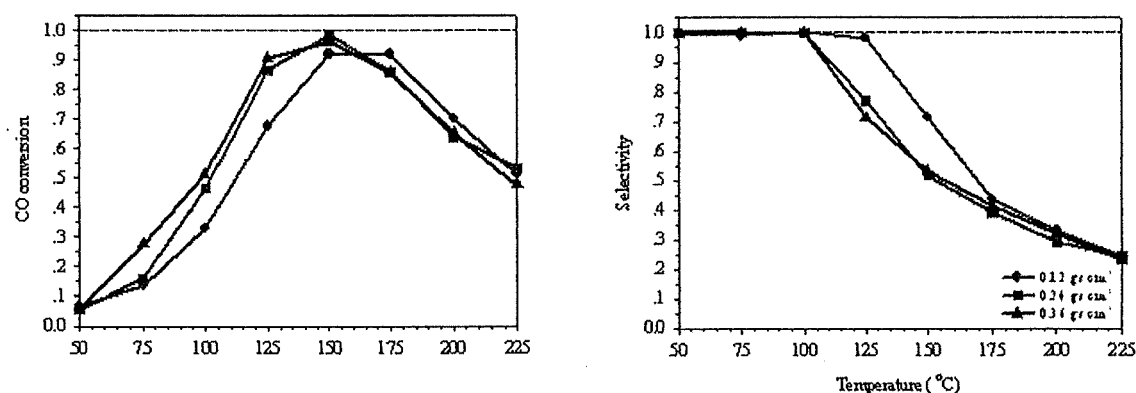
รูปที่ 4.4 ค่าการเปลี่ยนของคาร์บอนมอนอกไซด์และค่าการเลือกเกิดของคาร์บอนมอนอกไซด์ที่อัตราส่วนออกซิเจนต่อคาร์บอนมอนอกไซด์ต่างๆ ซึ่งเป็นพังค์ชันของอุณหภูมิ สำหรับออกซิเดชันแบบขั้นเดียวโดยคงที่อัตราส่วนน้ำหนักของตัวเร่งปฏิกิริยาต่ออัตราเร็วสายป่อน ไว้ที่ 0.12 กรัม วินาทีต่อลูกบาศก์เซนติเมตร

แม้ว่าอัตราส่วนสัมพันธ์ (Stoichiometric ratio) ของออกซิเจนต่อคาร์บอนมอนอกไซด์อยู่ที่ 0.5 อย่างไรก็ตามมีความจำเป็นอย่างยิ่งที่จะต้องมีเติมออกซิเจนที่มากเกินพอดเพื่อให้ได้ค่าการเปลี่ยนของคาร์บอนมอนอกไซด์ที่สูงขึ้นมาโดยได้สภาวะที่มีไฮดรเจโนyxในปริมาณมาก โดยค่าอัตราส่วนออกซิเจนต่อคาร์บอนมอนอกไซด์ที่ใช้ในการศึกษา คือ 1.0 1.5 และ 2.0 ผลการทดสอบแสดงให้เห็นว่า ค่าการเปลี่ยนของคาร์บอนมอนอกไซด์ของทุกอัตราส่วนมีแนวโน้มที่เพิ่มขึ้นตามที่เพิ่มคุณภาพมีต่อไปมีผลทำให้ค่าการเปลี่ยนของคาร์บอนมอนอกไซด์เริ่มลดลง ซึ่งค่าการเปลี่ยนของคาร์บอนมอนอกไซด์สูงสุดพบที่อัตราส่วนออกซิเจนต่อคาร์บอนมอนอกไซด์เท่ากับ 1.5 ในช่วงอุณหภูมิที่ต่ำกว่า 150 องศาเซลเซียส และในช่วงอุณหภูมิที่สูงกว่าพบว่า ค่าการเปลี่ยนของคาร์บอนมอนอกไซด์ที่อัตราส่วนออกซิเจนต่อคาร์บอนมอนอกไซด์ เท่ากับ 1.5 และ 2.0 มีค่าที่ไม่แตกต่างกัน ซึ่งตรงกับความเข้าใจของ Ahluwalia และคณะ<sup>[52]</sup> อย่างไรก็ตามค่าการเปลี่ยนของคาร์บอนมอนอกไซด์ที่ได้จากการทดลองในช่วงอุณหภูมิต่ำ (น้อยกว่า 150 องศาเซลเซียส) เมื่อเพิ่มอัตราส่วนออกซิเจนต่อคาร์บอนมอนอกไซด์มากกว่า 1.5 เนื่องจากเกิดจากการขาดแคลนการขาดซับคาร์บอนมอนอกไซด์โดยออกซิเจน บนพื้นผิวตัวเร่งปฏิกิริยา และค่าการเปลี่ยนของคาร์บอนมอนอกไซด์เพิ่มขึ้นเมื่อเพิ่มอัตราส่วนออกซิเจนต่อคาร์บอนมอนอกไซด์ที่อุณหภูมิสูงกว่า 150 องศาเซลเซียส เมื่อพิจารณาที่ค่าการเลือกเกิดของคาร์บอนมอนอกไซด์ พบร่วมค่าการเลือกเกิดของคาร์บอนมอนอกไซด์มีแนวโน้มที่คล้ายกันสำหรับทุกอัตราส่วนออกซิเจนต่อคาร์บอนมอนอกไซด์ และมีแนวโน้มลดลงเมื่ออุณหภูมิเพิ่มขึ้น

#### 4.1.2.2 อัตราส่วนน้ำหนักของตัวเร่งปฏิกิริยาต่ออัตราเริ่วสายป้อน

ค่าการเปลี่ยนของคาร์บอนมอนอกไซด์และค่าการเลือกเกิดของคาร์บอนมอนอกไซด์ที่อัตราส่วน W/F ต่างๆ (0.12 0.24 และ 0.36 กรัม วินาทีต่อลูกบาศก์เซนติเมตร) เป็นฟังก์ชันของอุณหภูมิ โดยคงที่อัตราส่วนออกซิเจนต่อคาร์บอนมอนอกไซด์ไว้เท่ากับ 1.0 แสดงดังรูปที่ 4.5

จากรูปที่ 4.5 พบว่า แนวโน้มเส้นกราฟมีลักษณะเป็นระฆังคว้าสำหรับค่าการเปลี่ยนของคาร์บอนมอนออกไซด์ในทุกอัตราส่วน W/F เมื่อพิจารณาแนวโน้มของค่าการเปลี่ยนของ ค่าการเปลี่ยนของคาร์บอนมอนออกไซด์เพิ่มขึ้นเมื่อเพิ่มอัตราส่วน W/F ที่อุณหภูมิน้อยกว่าหรือเท่ากับ 150 องศาเซลเซียส และค่าการเปลี่ยนของคาร์บอนมอนออกไซด์สูงสุดเลื่อนไปยังอุณหภูมิที่ต่ำกว่า ซึ่งค่าการเปลี่ยนของคาร์บอนมอนออกไซด์สูงสุดมีค่า เท่ากับ 0.92 (ที่อุณหภูมิ 175 องศาเซลเซียส) 0.98 (ที่อุณหภูมิ 150 องศาเซลเซียส) และ 0.96 (ที่อุณหภูมิ 150 องศาเซลเซียส) ตามลำดับ เมื่อเพิ่มอัตราส่วน W/F จาก 0.12 เป็น 0.24 และ 0.36 กรัม วินาทีต่อถูก巴斯ก์เซนติเมตร ค่าการเลือกเกิดของคาร์บอนมอนออกไซด์สูงสุดพบที่อัตราส่วน W/F เท่ากับ 0.12 กรัม วินาทีต่อถูก巴斯ก์เซนติเมตรสำหรับทุกช่วงอุณหภูมิในการเกิดปฏิกิริยา ซึ่งการเพิ่มอัตราส่วน W/F เสมือนการเพิ่มเวลาที่แก๊สตั้งตันสัมผัสกับพื้นผิวของตัวเร่งปฏิกิริยา เป็นผลให้ความร่องไวของตัวเร่งปฏิกิริยาเพิ่มขึ้น แต่เป็นการนำไปสู่การเพิ่มปริมาณไฮโดรเจนที่ทำปฏิกิริยากับออกซิเจนบนพื้นผิวของตัวเร่งปฏิกิริยาในปฏิกิริยาออกซิเดชันของไฮโดรเจน ผลลัพธ์คือการเลือกเกิดของคาร์บอนมอนออกไซด์ลดลง

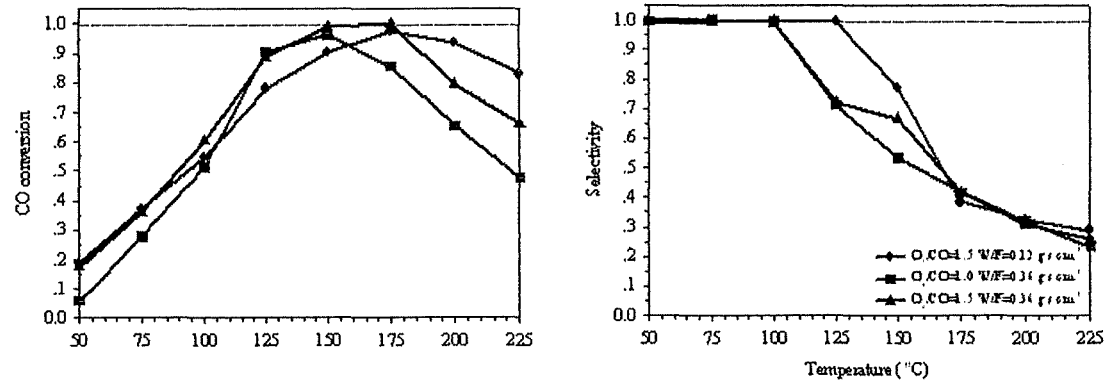


รูปที่ 4.5 ค่าการเปลี่ยนของคาร์บอนมอนออกไซด์และค่าการเลือกเกิดของคาร์บอนมอนออกไซด์ที่อัตราส่วน W/F ต่างๆ เป็นพงก์ชันของอุณหภูมิ สำหรับออกซิเดชันแบบเลือกเกิดของคาร์บอนมอนออกไซด์แบบขั้นเดียว โดยคงที่อัตราส่วนออกซิเจนต่อคาร์บอนมอนออกไซด์ไว้ เท่ากับ 1.0

#### 4.1.2.3 การเปรียบเทียบความว่องไวของตัวเร่งปฏิกิริยาที่มีอัตราส่วนออกซิเจนต่อคาร์บอนมอนอกไซด์ต่างๆ และอัตราส่วน W / F ต่างๆ

การเปรียบเทียบความว่องไวของตัวเร่งปฏิกิริยาที่มีอัตราส่วนอออกซิเจนต่อคาร์บอนมอนอกไซด์ต่างๆ (1.0 ถึง 1.5) และอัตราส่วน W / F (0.12 ถึง 0.36 กรัม วินาทีต่อลูกบาศก์เซนติเมตร) แสดงดังรูปที่ 4.6

จากรูปที่ 4.6 พบร่วมกันได้ค่าการเปลี่ยนของคาร์บอนมอนอกไซด์ที่สมบูรณ์ที่อัตราส่วนอออกซิเจนต่อคาร์บอนมอนอกไซด์เท่ากับ 1.5 อัตราส่วน W/F เท่ากับ 0.36 กรัม วินาทีต่อลูกบาศก์เซนติเมตร และอุณหภูมิที่เกิดปฏิกิริยาเท่ากับ 175 องศาเซลเซียส ด้วยค่าการเลือกเกิดของคาร์บอนมอนอกไซด์เท่ากับ 0.417 และที่สภาวะเดียวกันนี้ไฮโดรเจนที่ถูกใช้ไปในปฏิกิริยาอออกซิเดชันอยู่ที่ร้อยละ 58.4



รูปที่ 4.6 ค่าการเปลี่ยนของคาร์บอนมอนอกไซด์และค่าการเลือกเกิดของคาร์บอนมอนอกไซด์ที่อัตราส่วนอออกซิเจนต่อคาร์บอนมอนอกไซด์และอัตราส่วน W/F ต่างๆ เป็นฟังก์ชันของอุณหภูมิ สำหรับอออกซิเดชันแบบเลือกเกิดของคาร์บอนมอนอกไซด์แบบขั้นเดียว

#### 4.1.3 การออกแบบการทดลองแบบแพ็คทอเรียลสองปัจจัยบล็อกอุณหภูมิสำหรับออกแบบชีเดชันแบบเลือกเกิดของคาร์บอนมอนอกไซด์แบบขั้นเดียว

การออกแบบการทดลองแบบแพ็คทอเรียลสองปัจจัยบล็อกอุณหภูมิ (Temperature blocking 2<sup>2</sup> factorial design) สำหรับออกแบบชีเดชันแบบเลือกเกิดของคาร์บอนมอนอกไซด์แบบขั้นเดียว ได้นำมาใช้เพื่อขอรับถึงความสำคัญอย่างมีนัยของอัตราส่วนออกแบบชีเดชันแบบเลือกเกิดของคาร์บอนมอนอกไซด์และอัตราส่วน W/F ที่ส่งผลกระทบต่อค่าการเปลี่ยนของคาร์บอนมอนอกไซด์และค่าการเลือกเกิดของคาร์บอนมอนอกไซด์สำหรับออกแบบชีเดชันแบบเลือกเกิดของคาร์บอนมอนอกไซด์แบบขั้นเดียว โดยค่าการเปลี่ยนของคาร์บอนมอนอกไซด์และค่าการเลือกเกิดของคาร์บอนมอนอกไซด์เป็นผลตอบสนอง (Response) ของปัจจัย และคงที่อุณหภูมิไว้ที่ 50 75 100 125 150 175 200 และ 225 องศาเซลเซียส การเลือกระดับจะดำเนินการโดยยึดตามผลที่กล่าวข้างต้น แสดงในรูปที่ 4.4 4.5 และ 4.6 ซึ่งระดับต่ำและระดับสูงสำหรับแต่ละปัจจัยที่เลือก คือ ที่ 1.0 และ 1.5 สำหรับอัตราส่วนออกแบบชีเดชันต่อคาร์บอนมอนอกไซด์และ 0.12 และ 0.36 กรัม วินาทีต่อลูกบาศก์เมตรสำหรับอัตราส่วน W/F

ตารางที่ 4.2 แสดงการวิเคราะห์ความแปรปรวนแบบสมบูรณ์ (Complete analysis of variance) หรือ ANOVA สำหรับค่าการเปลี่ยนของคาร์บอนมอนอกไซด์และค่าการเลือกเกิดของคาร์บอนมอนอกไซด์ในออกแบบชีเดชันแบบเลือกเกิดของคาร์บอนมอนอกไซด์แบบขั้นเดียว เพื่อพิจารณาถึงความสำคัญของอัตราส่วนออกแบบชีเดชันต่อคาร์บอนมอนอกไซด์ อัตราส่วน W/F และอันตรกิริยา (Interaction) ของแต่ละปัจจัยที่ส่งผลกระทบต่อผลตอบสนอง โดยพื้นฐานที่ระดับความเชื่อมั่น (Confidence interval) ร้อยละ 95 ซึ่งปัจจัยที่มีค่า P-values น้อยกว่า 0.0500 จะแสดงถึงปัจจัยที่มีความสำคัญอย่างมีนัยค่าการเลือกเกิดของคาร์บอนมอนอกไซด์ จากตารางที่ 4.2 สามารถสรุปได้ว่า มีเพียงอัตราส่วนออกแบบชีเดชันต่อคาร์บอนมอนอกไซด์ ซึ่งกำหนดให้เป็นปัจจัย A ที่มีความสำคัญอย่างมีนัยทางสถิติต่อค่าการเปลี่ยนของคาร์บอนมอนอกไซด์ ในขณะที่อัตราส่วน W/F ซึ่งกำหนดให้เป็นปัจจัย B มีความสำคัญอย่างมีนัยทางสถิติต่อค่าการเลือกเกิดของคาร์บอนมอนอกไซด์ และอันตรกิริยาระหว่างอัตราส่วนทั้งสอง ซึ่งกำหนดให้เป็นอันตรกิริยา AB ไม่มีผลกระทบอย่างมีนัยสำคัญต่อค่าการเปลี่ยนของคาร์บอนมอนอกไซด์และค่าการเลือกเกิดของคาร์บอนมอนอกไซด์

ตาราง 4.2 การวิเคราะห์ความแปรปรวนของค่าการเปลี่ยนของคาร์บอนมอนอกไซด์ที่แปลงข้อมูลให้อยู่ในรูปรากกำลังสองหรือ square root transform ( $y' = \sqrt{y}$ ) สำหรับอักษรเดชันแบบเลือกเกิดขึ้นของคาร์บอนมอนอกไซด์แบบขั้นเดียว

แหล่ง	ผลบวกของคะแนน เบี่ยงเบนยกกำลังสอง	องศาของ ความอิสระ	ค่าเฉลี่ยของ ผลบวกกำลังสอง	F-value <sup>c</sup>		P-value
				F-value <sup>c</sup>	P-value	
บล็อก	1.42	7	0.20			
A <sup>a</sup>	0.076	1	0.076	24.68	< 0.0001	
B <sup>a</sup>	2.696E-003	1	2.696E-003	0.87	0.3611	
AB <sup>b</sup>	4.495E-003	1	4.495E-003	1.45	0.2414	
ส่วนตกค้าง	0.065	21	3.094E-003			
ผลรวม	1.57	31				

การวิเคราะห์ความแปรปรวนของค่าการเลือกเกิดขึ้นของคาร์บอนมอนอกไซด์ที่แปลงข้อมูลให้อยู่ในรูปล็อกฐานสิบหรือ base 10 log transform ( $y' = \log_{10}y$ ) สำหรับอักษรเดชันแบบเลือกเกิดขึ้นของคาร์บอนมอนอกไซด์แบบขั้นเดียว

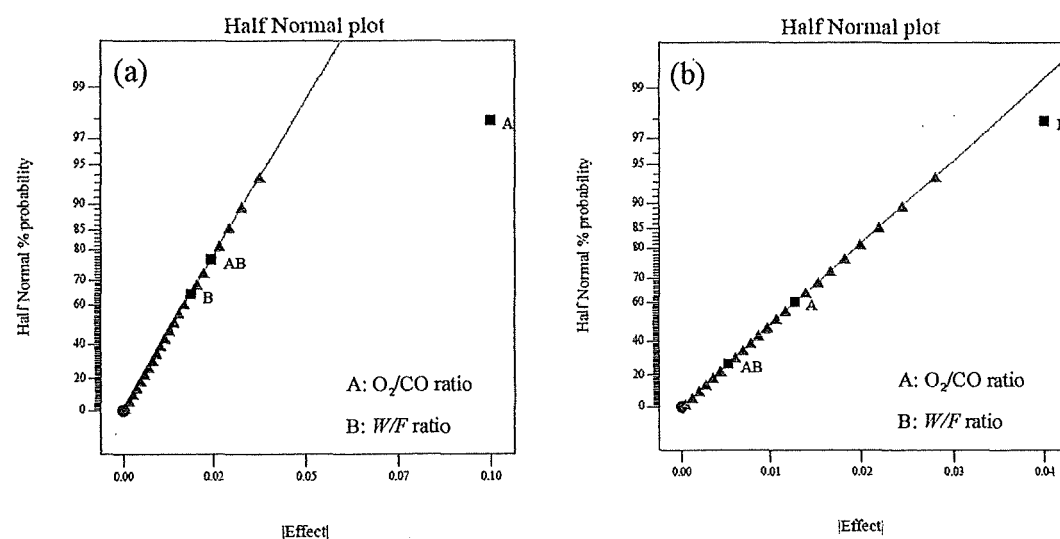
แหล่ง	ผลบวกของคะแนน เบี่ยงเบนยกกำลังสอง	องศาของ ความอิสระ	ค่าเฉลี่ยของ ผลบวกกำลังสอง	F-value <sup>c</sup>		P-value
				F-value <sup>c</sup>	P-value	
บล็อก	1.63	7	0.23			
A <sup>a</sup>	1.004E-003	1	1.004E-003	0.71	0.4075	
B <sup>a</sup>	9.953E-003	1	9.953E-003	7.08	0.0146	
AB <sup>b</sup>	1.743E-004	1	1.743E-004	0.12	0.7282	
ส่วนตกค้าง	0.030	21	1.406E-003			
ผลรวม	1.67	31				

<sup>a</sup> ปัจจัย A และ B คือ ผลกระทบหลัก (Main effects) ของอัตราส่วนของอัตราเจนต่อคาร์บอนมอนอกไซด์และอัตราส่วน W/F

<sup>b</sup> ปัจจัย AB คือ อันตรกิริยาของปัจจัย (Interactions)

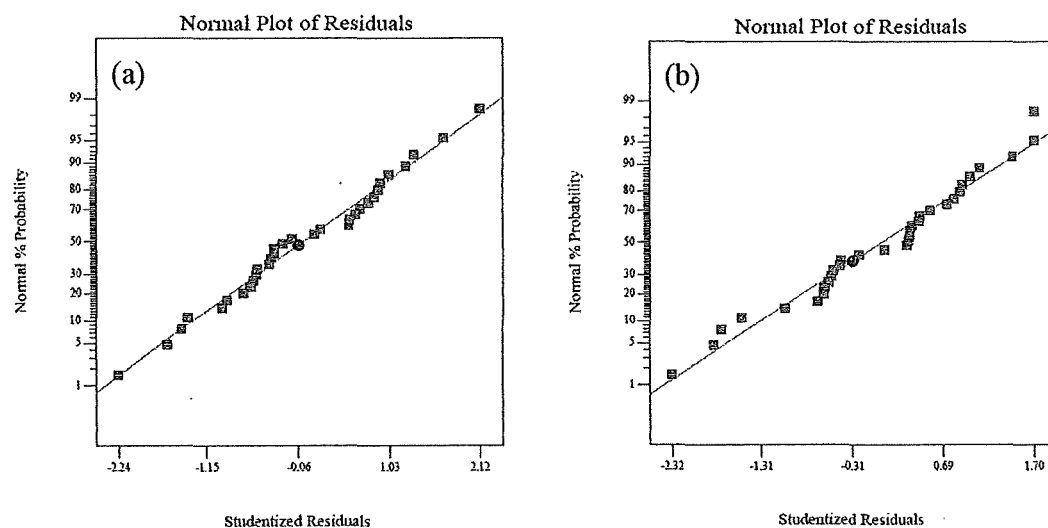
<sup>c</sup> F-value คือที่ระดับความเชื่อมั่นร้อยละ 95

รูปที่ 4.7a และ 4.7b แสดงผลลัพธ์ความน่าจะเป็นปกติแบบครึ่ง (Half normal probability) ของผลกระทบสัมบูรณ์ที่ส่งผลกระทบต่อค่าการเปลี่ยนของคาร์บอนมอนอกไซด์และค่าการเลือกเกิดของคาร์บอนมอนอกไซด์ พบว่า มีเพียงปัจจัย A ที่เปลี่ยนจากเส้นตรงสำหรับค่าการเปลี่ยนของคาร์บอนมอนอกไซด์ ดังแสดงในรูปที่ 4.7a และมีเพียงปัจจัย B ที่เปลี่ยนจากเส้นตรงสำหรับค่าการเลือกเกิดของคาร์บอนมอนอกไซด์ ดังแสดงในรูปที่ 4.7b ซึ่งปัจงบอกว่าอัตราส่วนออกซิเจนต่อคาร์บอนมอนอกไซด์ (แสดงเป็นปัจจัย A) มีผลกระทบอย่างมีนัยสำคัญต่อค่าการเปลี่ยนของคาร์บอนมอนอกไซด์ ขณะที่อัตราส่วน W/F (แสดงเป็นปัจจัย B) มีอิทธิพลต่อค่าการเลือกเกิดของคาร์บอนมอนอกไซด์ จึงกล่าวได้ว่าผลการทดลองดังที่กล่าวมานี้สามารถยืนยันผลโดยใช้ผลทางสถิติ



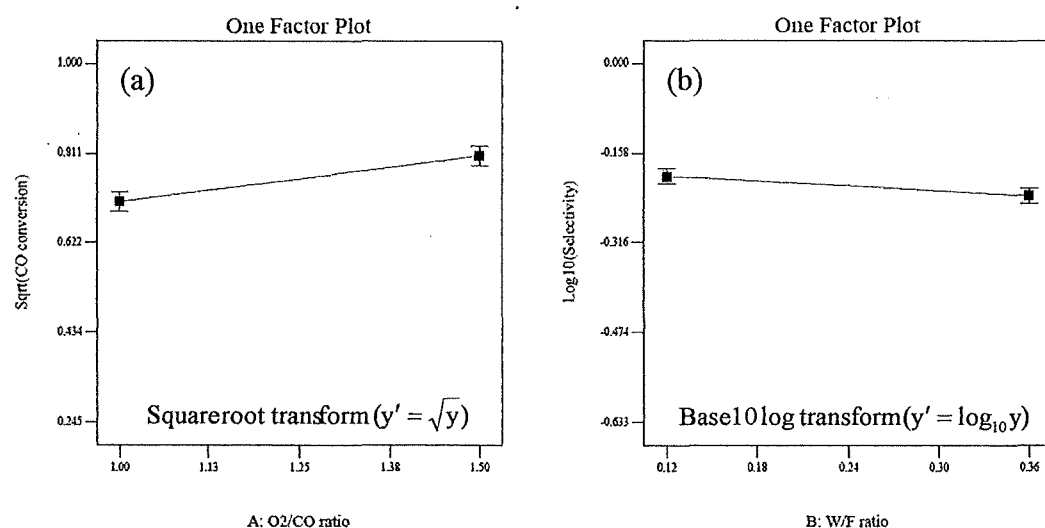
รูปที่ 4.7 พล็อตความน่าจะเป็นปกติแบบครึ่งของผลกระทบสัมบูรณ์ของอัตราส่วนออกซิเจนต่อคาร์บอนมอนอกไซด์ อัตราส่วน W/F และอัตราปริมาณของปัจจัยทั้งสองสำหรับ (a) ค่าการเปลี่ยนของคาร์บอนมอนอกไซด์และ (b) ค่าการเลือกเกิดของคาร์บอนมอนอกไซด์

รูปที่ 4.8a และ 4.8b แสดงผลอัตความน่าจะเป็นปกติของส่วนตกล้างสตูเด้นซ์ (Studentized residuals) สำหรับค่าการเปลี่ยนของค่าวิบูลย์บอนมอนอกไซด์และค่าการเลือกเกิดของค่าวิบูลย์บอนมอนอกไซด์ ตามลำดับ เพื่อพิสูจน์ว่าความหมายของโมเดลที่สัมนิชฐานได้ ซึ่งถ้าสมมติฐานในส่วนผิดพลาด (Errors) เป็นที่พอใจจะพบว่า พล็อตข้อมูลของการกระจายแบบปกติควรมีลักษณะอยู่ในกลาดที่ศูนย์ กล่าวคือ ถ้าพล็อตนี้มีลักษณะเช่นเดียวกับเส้นตรงสีแดงหมายความว่าการกระจายของส่วนผิดพลาดเป็นปกติ และการเปลี่ยนแปลงข้อมูล (Transformations) กระทำเพื่อลดความไม่เท่าเทียมกันของความแปรปรวนที่ส่งผลกระทบต่อรูปแบบการกระจายของส่วนผิดพลาด โดยในกรณีส่วนใหญ่สำหรับการวิเคราะห์ความแปรปรวนของข้อมูลการทดลอง การเปลี่ยนแปลงข้อมูลทำให้เกิดการกระจายของส่วนผิดพลาดอื่น ๆ ที่อยู่ติดกันเป็นปกติ อย่างไรก็ตามพล็อตความน่าจะเป็นปกติของส่วนตกล้างสำหรับค่าการเปลี่ยนของค่าวิบูลย์บอนมอนอกไซด์และค่าการเลือกเกิดของค่าวิบูลย์บอนมอนอกไซด์สามารถกล่าวได้ว่ามีการกระจายเป็นที่น่าพอใจ



รูปที่ 4.8 พล็อตความน่าจะเป็นปกติของส่วนตกล้างสำหรับ (a) ค่าการเปลี่ยนของค่าวิบูลย์บอนมอนอกไซด์และ (b) ค่าการเลือกเกิดของค่าวิบูลย์บอนมอนอกไซด์

รูปที่ 4.9a และ 4.9b แสดงผลลัพธ์หนึ่งปัจจัย (One factor plot) ของปัจจัยหลักของอัตราส่วนออกซิเจนต่อการบอนมอนอกไซด์และอัตราส่วน W/F พบว่า อัตราส่วนออกซิเจนต่อการบอนมอนอกไซด์มีผลกระทบในเชิงบวกต่อค่าการเปลี่ยนของการเปลี่ยนของการบอนมอนอกไซด์ ในขณะที่อัตราส่วน W/F มีผลกระทบในเชิงลบต่อค่าการเลือกเกิดของการบอนมอนอกไซด์ ซึ่งหมายความว่าค่าการเปลี่ยนของการบอนมอนอกไซด์เพิ่มขึ้นเมื่อเพิ่มอัตราส่วนออกซิเจนต่อการบอนมอนอกไซด์จาก 1.0 เป็น 1.5 ในช่วงอุณหภูมิปฏิกริยาที่ศึกษา ในขณะที่ค่าการเลือกเกิดของการบอนมอนอกไซด์ลดลง เมื่อเพิ่มอัตราส่วน W/F จาก 0.12 และ 0.36 กรัม วินาทีต่อลูกบาศก์เซนติเมตร และท้ายที่สุดสามารถกล่าวได้ว่า ผลการทดลองของปฏิกริยาออกซิเดชันแบบเลือกเกิดของการบอนมอนอกไซด์แบบขั้นเดียวสามารถยืนยันโดยใช้การออกแบบการทดลองแบบแพคทอเรียลสองปัจจัยบล็อกอุณหภูมิ

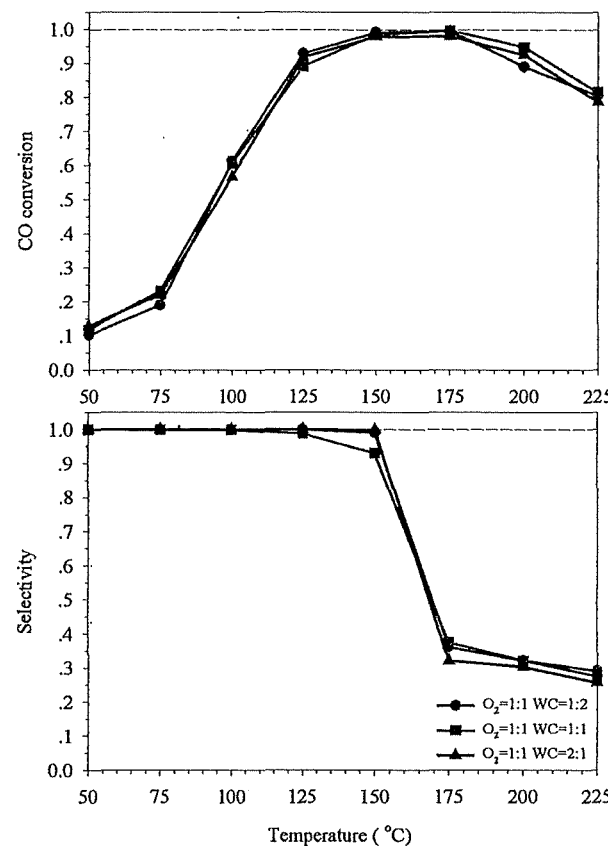


รูปที่ 4.9 ผลลัพธ์หนึ่งปัจจัยของปัจจัยหลักสำหรับ (a) อัตราส่วนออกซิเจนต่อการบอนมอนอกไซด์และ (b) อัตราส่วน W/F

**4.1.4 ออกซิเดชันแบบเลือกเกิดของคาร์บอนมอนอกไซด์แบบสองขั้น (Double-stage of preferential oxidation of CO)**

**4.1.4.1 อัตราส่วนแบ่งแยกของน้ำหนักของตัวเร่งปฏิกิริยา**

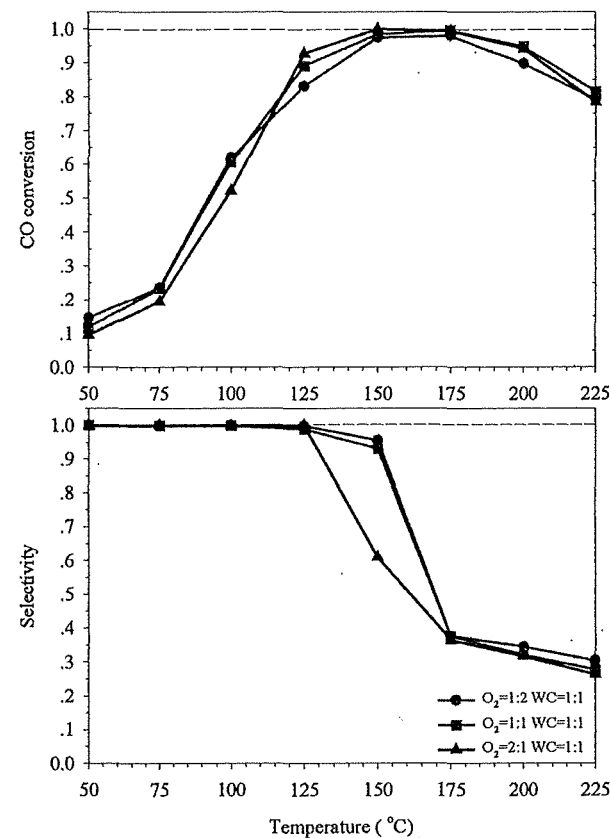
ปฏิกิริยาออกซิเดชันแบบเลือกเกิดของคาร์บอนมอนอกไซด์แบบสองขั้น กระทำเพื่อค่าการเลือกเกิดของคาร์บอนมอนอกไซด์โดยในกราฟดลงแบบสองขั้นนี้ได้คงที่อัตราส่วน ออกซิเจนต่อคาร์บอนมอนอกไซด์และอัตราส่วน W/F ไว้ที่สภาวะที่เหมาะสมซึ่งไดจากการทดลองของ ออกซิเดชันแบบเลือกเกิดของคาร์บอนมอนอกไซด์แบบขั้นเดียว รูปที่ 4.10 แสดงค่าการเปลี่ยนของ คาร์บอนมอนอกไซด์และค่าการเลือกเกิดของคาร์บอนมอนอกไซด์ที่เป็นพังก์ชันของอุณหภูมิปฏิกิริยาที่ อัตราส่วนแบ่งแยกปริมาณตัวเร่งปฏิกิริยาต่างๆ (1:1 1:2 และ 2:1) และอัตราส่วนแบ่งแยกออกซิเจนที่ 1:1 พบว่า การเปลี่ยนแปลงอัตราส่วนแบ่งแยกปริมาณตัวเร่งปฏิกิริยาไม่ส่งผลกระทบต่อแนวโน้มของ ค่าการเปลี่ยนของคาร์บอนมอนอกไซด์และค่าการเลือกเกิดของคาร์บอนมอนอกไซด์ แสดงว่าพื้นผิว ทั้งหมดของตำแหน่งว่องไวของตัวเร่งปฏิกิริยาที่สำผัสกับแก๊สคาร์บอนมอนอกไซด์ ไฮโดรเจนและ ออกซิเจนไม่เปลี่ยนแปลงเมื่อแบ่งแยกปริมาณของตัวเร่งปฏิกิริยาระหว่างสองเครื่องปฏิกิริย์



รูปที่ 4.10 ค่าการเปลี่ยนของคาร์บอนมอนอกไซด์และค่าการเลือกเกิดของคาร์บอนมอนอกไซด์ที่เป็นพิเศษขึ้นของอุณหภูมิปฏิกิริยาที่อัตราส่วนแป้งแยกปริมาณตัวเร่งปฏิกิริยาต่างๆ สำหรับออกซิเดชันแบบเลือกเกิดของคาร์บอนมอนอกไซด์แบบสองขั้น ที่อัตราส่วนแป้งแยกออกซิเจนไว้ที่ 1:1 อัตราส่วนออกซิเจนต่อคาร์บอนมอนอกไซด์ เท่ากับ 1.5 และอัตราส่วน W/F เท่ากับ 0.36 กรัม วินาทีต่อลูกบาศก์ เช่นติเมตร

#### 4.1.4.2 อัตราส่วนแบ่งแยกออกชีเจน

ความว่องไวของตัวเร่งปฏิกิริยาสำหรับออกชีเดชันแบบเลือกเกิดของคาร์บอนมอนอกไซด์แบบสองขั้นที่เป็นพังก์ชันของอุณหภูมิปฏิกิริยา ที่อัตราส่วนแบ่งแยกออกชีเจนต่างๆ (1:1 1:2 และ 2:1) และอัตราส่วนแบ่งแยกปริมาณตัวเร่งปฏิกิริยาที่ 1:1 แสดงดังรูปที่ 4.11 เมื่อพิจารณาแนวโน้มของค่าการเปลี่ยนของคาร์บอนมอนอกไซด์ พบว่า ค่าการเปลี่ยนของคาร์บอนมอนอกไซด์เพิ่มขึ้นเมื่อเพิ่มอุณหภูมิปฏิกิริยาจนถึงค่าสูงสุดและเมื่อเพิ่มอุณหภูมิต่อไปกลับลงให้ค่าการเปลี่ยนของคาร์บอนมอนอกไซด์เริ่มลดลง ค่าการเลือกเกิดของคาร์บอนมอนอกไซด์มีค่าเท่ากับ 1 ที่มีอุณหภูมิปฏิกิริยาทั้งสองเครื่องปฏิกิริยาน้อยกว่าหรือเท่ากับ 125 องศาเซลเซียส และที่อุณหภูมิสูงกว่า 125 องศาเซลเซียส ค่าการเลือกเกิดของคาร์บอนมอนอกไซด์ลดลงอย่างมีนัยสำคัญ กับอุณหภูมิที่เพิ่มขึ้น และแนวโน้มของค่าการเปลี่ยนของคาร์บอนมอนอกไซด์และค่าการเลือกเกิดของคาร์บอนมอนอกไซด์แสดงให้เห็นถึงความแตกต่างอย่างชัดเจนเมื่อมีการเปลี่ยนแปลงอัตราส่วนแบ่งแยกออกชีเจนสำหรับออกชีเดชันแบบเลือกเกิดของคาร์บอนมอนอกไซด์แบบสองขั้น



รูปที่ 4.11 ค่าการเปลี่ยนของคาร์บอนมอนอกไซด์และค่าการเลือกเกิดของคาร์บอนมอนอกไซด์ที่เป็นพิษก็ขันของอุณหภูมิปฏิกิริยาที่อัตราส่วนแบ่งแยกออกซิเจนต่างๆ (1:1 1:2 และ 2:1) สำหรับออกซิเดชันแบบเลือกเกิดของคาร์บอนมอนอกไซด์แบบสองขั้น อัตราส่วนแบ่งแยกปริมาณตัวเร่งปฏิกิริยาที่ 1:1 อัตราส่วนออกซิเจนต่อคาร์บอนมอนอกไซด์ เท่ากับ 1.5 และอัตราส่วน W/F เท่ากับ 0.36 กรัม วินาทีต่อลูกบาศก์เซนติเมตร

#### 4.1.5 การออกแบบการทดลองแบบแพ็คทอเรียลสองปัจจัยบล็อกอุณหภูมิสำหรับออกแบบเดชันแบบเลือกเกิดของคาร์บอนมอนอกไซด์แบบสองขั้น

การออกแบบการทดลองแบบแพ็คทอเรียลสองปัจจัยบล็อกอุณหภูมิสำหรับออกแบบเดชันแบบเลือกเกิดของคาร์บอนมอนอกไซด์แบบสองขั้น เพื่อที่จะอธิบายถึงบทบาทที่สำคัญของอัตราส่วนแบ่งแยกออกแบบและอัตราส่วนแบ่งแยกปริมาณตัวเร่งปฏิกิริยาที่มีต่อค่าการเปลี่ยนของคาร์บอนมอนอกไซด์และค่าการเลือกเกิดของคาร์บอนมอนอกไซด์สำหรับออกแบบเดชันแบบเลือกเกิดของคาร์บอนมอนอกไซด์แบบสองขั้น โดยคงที่อัตราส่วนออกแบบเดชันต่อคาร์บอนมอนอกไซด์ไว้ที่ 1.5 และอัตราส่วน W/F ให้ที่ 0.36 กรัม วินาทีต่อลูกบาศก์เซนติเมตร โดยกำหนดให้ค่าการเปลี่ยนของคาร์บอนมอนอกไซด์และค่าการเลือกเกิดของคาร์บอนมอนอกไซด์เป็นผลตอบสนอง อุณหภูมิจะคงที่ 50 75 100 125 150 175 200 และ 225 องศาเซลเซียส และเลือกระดับโดยยึดตามผลที่กล่าวมาข้างต้น ที่แสดงในรูปที่ 4.10 และ 4.11

ตารางที่ 4.3 แสดงระดับที่เลือกที่ระดับต่ำ ระดับกลางและระดับสูงสำหรับแต่ละที่ 1:2 1:1 และ 2:1 สำหรับอัตราส่วนแบ่งแยกออกแบบเดชันและอัตราส่วนแบ่งแยกปริมาณตัวเร่งปฏิกิริยา ที่ใช้การวิเคราะห์ความแปรปรวนสมบูรณ์ (ANOVA) เพื่อวิเคราะห์ผลกระทบที่สำคัญของอัตราส่วนแบ่งแยกออกแบบเดชัน อัตราส่วนแบ่งแยกปริมาณตัวเร่งปฏิกิริยาและอัตราส่วนของปัจจัยทั้งสองที่มีต่อผลตอบสนอง พบร่วม ค่า P-values ของอัตราส่วนแบ่งแยกออกแบบเดชันที่กำหนดเป็นปัจจัย A' อัตราส่วนแบ่งแยกปริมาณตัวเร่งปฏิกิริยาที่กำหนดเป็นปัจจัย B' และอัตราส่วนของปัจจัยทั้งสองที่กำหนดเป็นปัจจัย A'B' มีค่ามากกว่า 0.0500 แสดงให้เห็นว่า เทอมของโมเดลนี้ไม่มีความสำคัญอย่างมีนัย ค่า F-value ของส่วนโค้ง (Curvature) F ที่คำนวณได้จากผลต่างของค่าเฉลี่ยของจุดกึ่งกลางและค่าเฉลี่ยของจุดแพ็คทอเรียลในพื้นที่การออกแบบ แสดงให้เห็นถึงผลกระทบที่ไม่มีนัยสำคัญเมื่อเทียบกับค่าสัญญาณรบกวน (Noise) นอกจากนี้ยังยืนยันได้ว่า การเปลี่ยนแปลงอัตราส่วนแบ่งแยกออกแบบเดชันและอัตราส่วนแบ่งแยกปริมาณตัวเร่งปฏิกิริยาไม่ผลกระทบอย่างไม่มีนัยสำคัญต่อค่าการเปลี่ยนของคาร์บอนมอนอกไซด์และค่าการเลือกเกิดของคาร์บอนมอนอกไซด์สำหรับออกแบบเดชันแบบเลือกเกิดของคาร์บอนมอนอกไซด์แบบสองขั้น

ตารางที่ 4.3 การวิเคราะห์ความแปรปรวนของค่าการเปลี่ยนของかるบอนมอนอกไซด์ที่แปลงข้อมูลให้อยู่ในรูป根กำลังสองหรือ square root transform ( $y' = \sqrt{y}$ ) สำหรับอูกซีเดชันแบบเลือกเกิดของかるบอนมอนอกไซด์แบบสองชั้น

แหล่ง	ผลbaugh ของคะแนน เบี่ยงเบนยกกำลังสอง	องศาของ ความอิสระ	ค่าเฉลี่ยของ ผลbaugh กำลังสอง	F-value <sup>°</sup>	P-value
				ผลbaugh กำลังสอง	
บล็อก	2.21	7	0.32		
$A'$ <sup>a</sup>	1.347E-003	1	1.347E-003	2.76	0.1079
$B'$ <sup>a</sup>	5.493E-003	1	5.493E-003	0.11	0.7399
$A'B'$ <sup>b</sup>	1.922E-003	1	1.922E-003	0.41	0.5283
ส่วนโถง	5.188E-005	1	5.188E-005	0.11	0.7469
ส่วนต่อก้าง	0.014	28	4.885E-004		
ผลรวม	2.23	39			

การวิเคราะห์ความแปรปรวนของค่าการเลือกเกิดของかるบอนมอนอกไซด์ที่แปลงข้อมูลให้อยู่ในรูปส่วนกลับหรือ inverse transform ( $y' = 1/y$ ) สำหรับอูกซีเดชันแบบเลือกเกิดของかるบอนมอนอกไซด์แบบสองชั้น

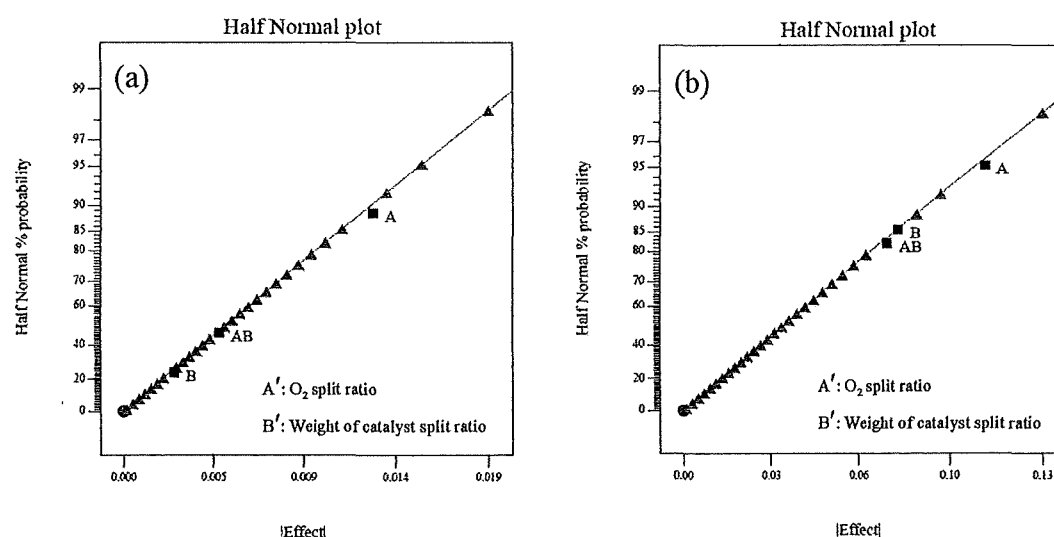
แหล่ง	ผลbaugh ของคะแนน เบี่ยงเบนยกกำลังสอง	องศาของ ความอิสระ	ค่าเฉลี่ยของ ผลbaugh กำลังสอง	F-value <sup>°</sup>	P-value
				ผลbaugh กำลังสอง	
บล็อก	33.42	7	0.20		
$A'$ <sup>a</sup>	0.094	1	0.094	4.13	0.0517
$B'$ <sup>a</sup>	0.049	1	0.049	2.14	0.1544
$A'B'$ <sup>b</sup>	0.044	1	0.044	1.94	0.1749
ส่วนโถง	0.080	1	0.080	3.52	0.0711
ส่วนต่อก้าง	0.64	28	0.023		
ผลรวม	34.32	39			

<sup>a</sup> ปัจจัย A' และ B' คือ ผลกระทบหลัก (Main effects) ของอัตราส่วนเบี่ยงเบนยกอูกซีเจนและอัตราส่วนเบี่ยงเบนยกปริมาณตัวเร่งปฏิกิริยา

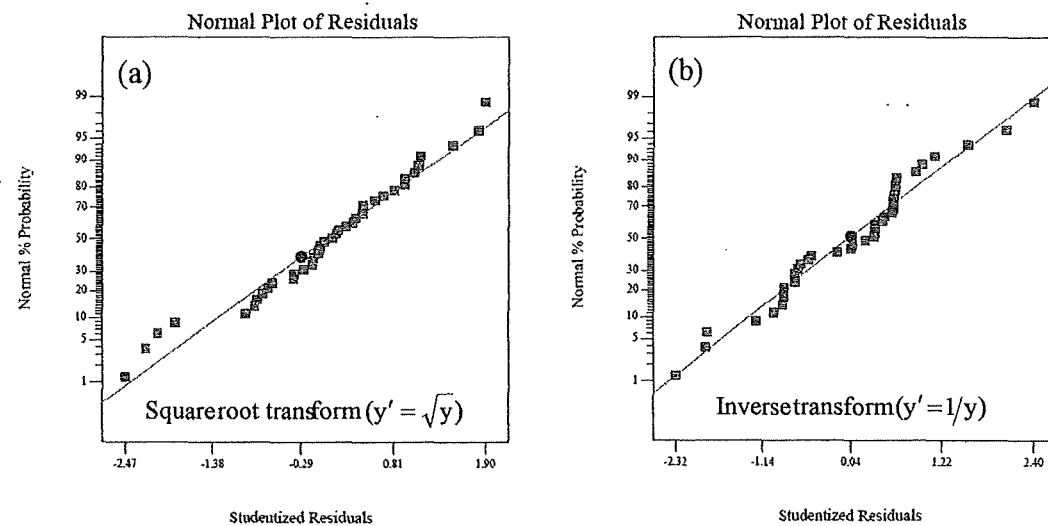
<sup>b</sup> ปัจจัย A'B' คือ อันตรกิริยาของปัจจัย (Interactions)

<sup>°</sup> F-value คือที่ระดับความเชื่อมั่นร้อยละ 95

พัสดุอัตความนำจะเป็นปกติแบบครึ่งหนึ่ง (Half normal probability plots) ของผลกระทบสัมบูรณ์ (Absolute effects) ของข้อมูลการทดลองของอัตราส่วนแบ่งแยกออกชิเจนและอัตราส่วนแบ่งแยกปริมาณตัวเร่งปฏิกิริยาที่ส่งผลต่อค่าการเปลี่ยนของคาร์บอนมอนอกไซด์และค่าการเลือกเกิดของคาร์บอนมอนอกไซด์ แสดงในรูปที่ 4.12a และ 4.12b ตามลำดับ พบว่า ปัจจัยทั้งหมดไม่ได้เบนออกจากแนวเส้นตรงสีแดง ซึ่งแสดงให้เห็นว่า อัตราส่วนแบ่งแยกออกชิเจนและอัตราส่วนแบ่งแยกปริมาณตัวเร่งปฏิกิริยา มีผลกระทบอย่างไม่มีนัยสำคัญต่อค่าการเปลี่ยนของคาร์บอนมอนอกไซด์และค่าการเลือกเกิดของคาร์บอนมอนอกไซด์ในช่วงที่ศึกษาของระดับปัจจัยที่สอดคล้องกับผลการวิเคราะห์ความแปรปรวน รูปที่ 4.13a และ 4.13b แสดงพัสดุอัตความนำจะเป็นปกติของส่วนตกล้างสำหรับค่าการเปลี่ยนของคาร์บอนมอนอกไซด์และค่าการเลือกเกิดของคาร์บอนมอนอกไซด์ ตามลำดับ ซึ่งสามารถอธิบายได้ว่ากระจายของข้อมูลสิงเหล่านี้เป็นที่น่าพอใจ



รูปที่ 4.12 พัสดุอัตความนำจะเป็นปกติแบบครึ่งหนึ่งของผลกระทบสัมบูรณ์ของอัตราส่วนแบ่งแยกออกชิเจน อัตราส่วนแบ่งแยกปริมาณตัวเร่งปฏิกิริยาและอั้มตระกิริยาของปัจจัยทั้งสองสำหรับ (a) ค่าการเปลี่ยนของคาร์บอนมอนอกไซด์และ (b) ค่าการเลือกเกิดของคาร์บอนมอนอกไซด์



รูปที่ 4.13 พล็อตความน่าจะเป็นปกติของส่วนตกล้างสำหรับ (a) ค่าการเปลี่ยนของค่าวิบัติอนมอนอกไซด์และ (b) ค่าการเลือกเกิดของค่าวิบัติอนมอนอกไซด์

ตารางที่ 4.4 แสดงสภาวะเหมาะสมที่เกิดปฏิกิริยาออกซิเดชันอย่างสมบูรณ์สำหรับออกซิเดชันแบบเลือกเกิดของค่าวิบัติอนมอนอกไซด์ที่ได้จากการเลือกเกิดของค่าวิบัติอนมอนอกไซด์แบบสองขั้น พบว่า ค่าการเลือกเกิดของค่าวิบัติอนมอนอกไซด์ที่ได้จากการเลือกเกิดของค่าวิบัติอนมอนอกไซด์แบบสองขั้น มีค่าสูงกว่าค่าที่ได้จากการเลือกเกิดของค่าวิบัติอนมอนอกไซด์แบบหนึ่งเดียวเมื่อพิจารณาที่อุณหภูมิปฏิกิริยา 175 องศาเซลเซียส อัตราส่วนออกซิเจนต่อค่าวิบัติอนมอนอกไซด์ เท่ากับ 1.5 และอัตราส่วน W/F เท่ากับ 0.36 กรัม วินาทีต่อลูกบาศก์เมตร และสามารถลดการสูญเสียไฮโดรเจน ในระหว่างทำปฏิกิริยา ซึ่งค่าการสูญเสียไฮโดรเจน ( $H_2$  consumption) ลดลงจาก 0.584 เป็น 0.535 นอกจากรายงาน อุณหภูมิปฏิกิริยา 150 องศาเซลเซียส พบว่า ค่าการเลือกเกิดของค่าวิบัติอนมอนอกไซด์ที่ได้จากการเลือกเกิดของค่าวิบัติอนมอนอกไซด์แบบสองขั้นสูงกว่าถึง 1.6 เท่า โดยประมาณ เมื่อเทียบกับค่าที่ได้จากการเลือกเกิดของค่าวิบัติอนมอนอกไซด์แบบหนึ่งเดียว และค่าการสูญเสียไฮโดรเจนลดลงเป็น 0.335 การแบ่งแยกออกซิเจนช่วยในการจำกัดปริมาณออกซิเจนที่เข้าทำ

ปฏิกริยา กับไฮโดรเจนและการแบ่งแยกบริมาณตัวเร่งปฏิกริยาช่วยลดการสัมผัสดองไฮโดรเจนและออกซิเจนกับพื้นผิวของตัวเร่งปฏิกริยา จึงช่วยลดการสูญเสียของไฮโดรเจน ซึ่งผลที่ได้สอดคล้องกับผลของ Ahluwalia และคณะ<sup>[52]</sup> และ Srivivas และ Gulari<sup>[53]</sup> ที่เสนอว่า ระบบแบบหลายขั้นตอนสามารถให้ประสิทธิภาพการทำงานดีขึ้นหรือเทียบเท่ากับระบบแบบขั้นตอนเดียวหรือขั้นเดียว

ตารางที่ 4.4 สถานะเหมาะสมที่เกิดปฏิกริยาของอัตราส่วนของไฮดรอกไซด์

อัตราส่วนของไฮดรอกไซด์ที่เหมาะสมที่สุด						
อัตราส่วน W/F	อุณหภูมิ	ค่าการเปลี่ยนค่าการเลือกเกิด	ค่าการสูญเสีย	ความเข้มข้นของออกซิเจนต่อ (กรัม วินาทีต่อ (องศาเซลเซียส))	ของคาร์บอน-	ของไฮโดรเจน
ของออกซิเจน-	ลูกบาศก์-	ของออกไซด์	ของออกไซด์	ของออกไซด์	ของออกไซด์	ไฮดรอกไซด์
ของออกไซด์	เมตริกตัน					(ส่วนในล้านส่วน)
1.5	0.36	175	1.000	0.416	0.584	0

อัตราส่วนของไฮดรอกไซด์ที่เหมาะสมที่สุด (อัตราส่วนของไฮดรอกไซด์ที่เหมาะสมที่สุดของออกซิเจนต่อ 1.5 และอัตราส่วน W/F เท่ากับ 0.36 กรัม วินาทีต่อลูกบาศก์เมตริกตัน)

อัตราส่วนของไฮดรอกไซด์ที่เหมาะสมที่สุด						
อัตราส่วน W/F	อัตราส่วน	อุณหภูมิ	ค่าการเปลี่ยนค่าการเลือกเกิด	ค่าการสูญเสีย	ความเข้มข้นของ	ไฮดรอกไซด์
ของออกซิเจน	ของไฮดรอกไซด์	ของไฮดรอกไซด์	ของไฮดรอกไซด์	ของไฮดรอกไซด์	ของไฮดรอกไซด์	ไฮดรอกไซด์
ของไฮดรอกไซด์	เมตริกตัน					(ส่วนในล้านส่วน)
1:2	1:2	175	1.000	0.465	0.535	0
2:1	1:1	150	1.000	0.610	0.390	0
2:1	2:1	150	1.000	0.665	0.335	0

## 4.2 การปรับภาวะของปฏิกิริยาของเตอร์แก๊สชีฟต์และออกซิเดชันแบบเลือกเกิดของคาร์บอนมอนอกไซด์

จากการศึกษาปฏิกิริยาไฟฟอร์มมิ่งของมีเทนด้วยคาร์บอนไดออกไซด์ มีประสิทธิภาพสูงสุดที่อุณหภูมิ 800 องศาเซลเซียส ดังนั้นจึงเลือกอุณหภูมนิ่งสำหรับศึกษาในส่วนของปฏิกิริยาของเตอร์แก๊สชีฟต์ในขั้นแรกและขั้นที่สอง

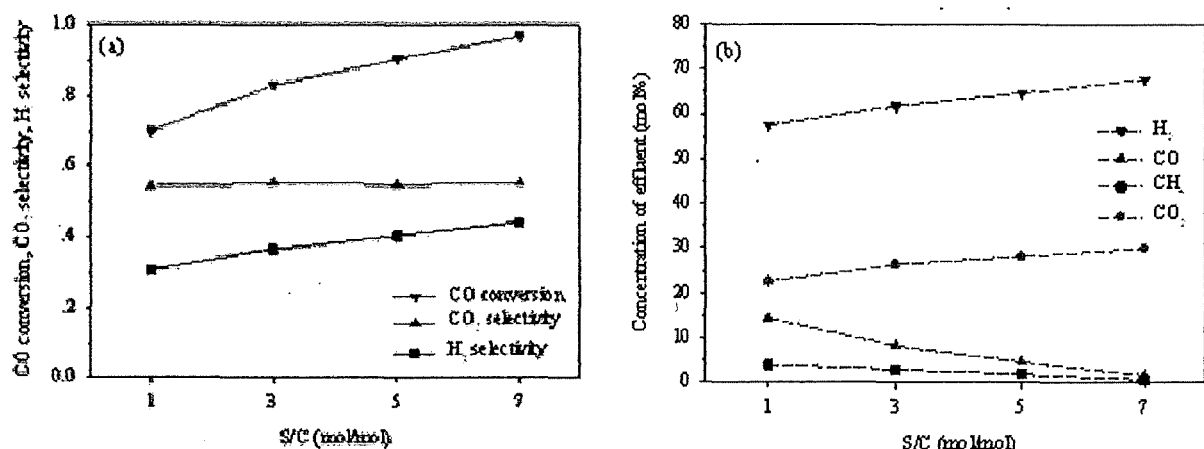
### 4.2.1 วอเตอร์แก๊สชีฟต์ (Water-gas shift reaction)

ความว่องไวของปฏิกิริยาของเตอร์แก๊สชีฟต์ในขั้นแรกที่อยู่ชิฟต์อุณหภูมิสูงหรือ High-temperature shift (HTS) โดยใช้ตัวเร่งปฏิกิริยาดัดแปลงฐานทองแดง ค่าการเปลี่ยนของคาร์บอนมอนอกไซด์ ( $X_{CO, WGS}$ ) ค่าการเลือกเกิดของคาร์บอนออกไซด์ ( $S_{CO_2, WGS}$ ) และค่าการเลือกเกิดของไฮโดรเจน ( $S_{H_2, WGS}$ ) (แสดงในรูปที่ 4.14a) และองค์ประกอบของแก๊สผสมข้าวออกที่ได้จากปฏิกิริยาของเตอร์แก๊สชีฟต์ในขั้นแรก (แสดงในรูปที่ 4.14b) ที่เปลี่ยนแปลงตามค่าของอัตราส่วน S/C

รูปที่ 4.14a แสดงให้เห็นว่า ค่าการเปลี่ยนของคาร์บอนมอนอกไซด์จะสูงขึ้นเมื่อเพิ่มอัตราส่วน S/C ซึ่งผลที่ได้สามารถอธิบายได้ว่าในอัตราส่วน S/C ที่ต่ำกว่า 1.0 ค่าการเปลี่ยนของไฮโดรเจนจะลดลง แต่ค่าการเลือกเกิดของคาร์บอนไดออกไซด์เพิ่มขึ้น เมื่อเพิ่มอัตราส่วน S/C เพิ่มขึ้น (แสดงในรูปที่ 4.14b) ในขณะที่ความเข้มข้นของคาร์บอนมอนอกไซด์และมีเทนลดลง แสดงให้เห็นว่า การเพิ่มขึ้นของอัตราส่วน S/C ช่วยลดการเกิดปฏิกิริยาการเกิดมีเทนหรือ Methanation

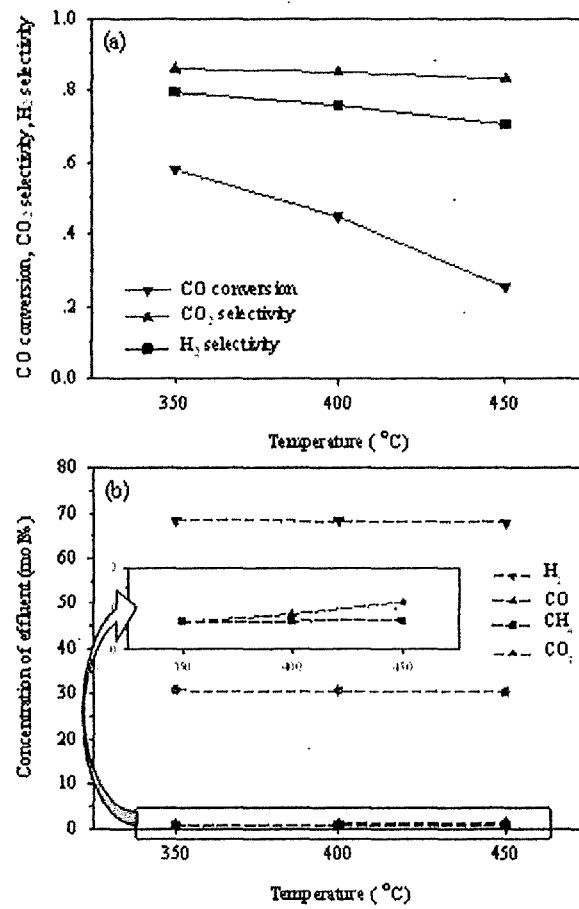
นอกจากนี้ค่าการเลือกเกิดของไฮโดรเจนและค่าการเลือกเกิดของคาร์บอนไดออกไซด์ มีค่าไม่ใกล้หนึ่ง หมายความว่า ปฏิกิริยาที่ไม่เพียงประสงค์ เช่น ปฏิกิริยาขับเคลื่อนปฏิกิริยาไปข้างหน้าโดยปราศจากข้อจำกัดทางจนศาสตร์ เมื่อเพิ่มอัตราส่วน S/C พบว่า ค่าการเลือกเกิดของไฮโดรเจนเพิ่มขึ้น แต่ค่าการเลือกเกิดของคาร์บอนไดออกไซด์ไม่เปลี่ยนแปลง และความเข้มข้นของไฮโดรเจนและคาร์บอนไดออกไซด์เพิ่มขึ้น เมื่อเพิ่มอัตราส่วน S/C เพิ่มขึ้น (แสดงในรูปที่ 4.14b) ในขณะที่ความเข้มข้นของคาร์บอนมอนอกไซด์และมีเทนลดลง แสดงให้เห็นว่า การเพิ่มขึ้นของอัตราส่วน S/C ช่วยลดการเกิดปฏิกิริยาการเกิดมีเทนหรือ Methanation

ของคาร์บอเนต ( $\text{OCOO}_2^-$ ) หรือ ไบคาร์บอเนต ( $\text{HOCOO}_2^-$ ) จาก ปฏิกิริยาของคาร์บอนไดออกไซด์ที่ถูกดูดซับในขั้นตอนของแยกออกจากกันของฟอร์เมตหรือ Formate dissociation step ( $\text{HCOO}^* + * \leftrightarrow \text{CO}_2^* + \text{H}^*$ ) ทำปฏิกิริยากับ อะตอมออกซิเจนที่ถูกดูดซับ ( $\text{O}^*$ ) หรือ ไฮดรอกซิล ( $\text{OH}^*$ ) ซึ่งเป็นไปตามการอธินายรูปแบบทางเดินแบบหลายขั้นตอนของแดงเมียร์ อินเซลวูด (Multi-step Langmuir-Hinshelwood) หรือ กลไกการเชื่อมโยง (Associative mechanism) ในรูปแบบทางเดินแบบฟอร์เมต (Formate pathway)



รูปที่ 4.14 ผลลัพธ์จากการทดลองปฏิกิริยาของเตอร์เก็สชิฟต์ในขั้นแรกบนตัวเร่งปฏิกิริยาตัดเบื้องฐาน ทองแดง ภายใต้อัตราส่วนไอน้ำต่อคาร์บอน (S/C ratio) เท่ากับ 1-7 อุณหภูมิปฏิกิริยา 450 องศา เซลเซียส อัตราเร็วของแก๊สสมมติแบบ (GHSV) เท่ากับ 32,000 ลูกบาศก์เซนติเมตรต่อ(ชั่วโมง กรัม ของตัวเร่งปฏิกิริยา) โดยประมาณ และองค์ประกอบแก๊สประกอบด้วยไฮโดรเจนประมาณร้อยละ 49 โดยปริมาตร คาร์บอนมอนอกไซด์ประมาณร้อยละ 50 โดยปริมาตร มีเทนน้อยกว่าร้อยละ 0.4 โดยปริมาตร และคาร์บอนไดออกไซด์น้อยกว่าร้อยละ 0.5 โดยปริมาตร (อ้างอิงในสภาวะที่ไม่มีน้ำและ ชีเลียม) (a) ค่าการเปลี่ยนของคาร์บอนมอนอกไซด์ ( $X_{\text{CO}, \text{WGS}}$ ) ค่าการเลือกเกิดของ คาร์บอนไดออกไซด์ ( $S_{\text{CO}_2, \text{WGS}}$ ) และค่าการเลือกเกิดของไฮโดรเจน ( $S_{\text{H}_2, \text{WGS}}$ ) เป็นฟังก์ชันของ อัตราส่วน S/C (b) องค์ประกอบของแก๊สผลิตจาก (อ้างอิงในสภาวะที่ไม่มีน้ำและชีเลียม) ที่ได้จาก ปฏิกิริยาของเตอร์เก็สชิฟต์ในขั้นแรกเป็นฟังก์ชันของอัตราส่วน S/C

จากการทดลอง พนบว่า ที่อัตราส่วน S/C เท่ากับ 7 ให้ค่าการเปลี่ยนของคาร์บอนมอนอกไซด์สูงสุดที่ 0.97 ค่าการเลือกเกิดของคาร์บอนไดออกไซด์ เท่ากับ 0.55 ค่าการเลือกเกิดของไฮโดรเจน เท่ากับ 0.44 และ ความเข้มข้นของแก๊สขาออกของไฮโดรเจนร้อยละ 67.8 คาร์บอนมอนอกไซด์ร้อยละ 1.55 มีเทนร้อยละ 0.65 และคาร์บอนไดออกไซด์ร้อยละ 30 โดยเลือกอัตราส่วนดังกล่าวนี้ ในการศึกษาขั้นต่อไปของวิวัฒนาการของไฮโดรเจน ความร้อนใน การเปลี่ยนของคาร์บอนมอนอกไซด์ในระดับสูง จำเป็นอย่างยิ่งที่ต้องใช้ปฏิกิริยาของเตอร์แก๊สชิฟต์ในขั้นที่สอง (Second-stage water-gas shift reaction) เพื่อส่งเสริมพุติกรรมทางอุณหพลศาสตร์ ความว่องไวใน การเร่งปฏิกิริยาของตัวเร่งปฏิกิริยาดัดแปลงของเตอร์แก๊สชิฟต์ในขั้นที่สอง โดยทั่วไปเรียกว่า ชิฟต์ที่อุณหภูมิต่ำ ซึ่งได้ดำเนินการทดสอบในหลายอุณหภูมิ ผลของการเปลี่ยนของคาร์บอนมอนอกไซด์ ค่าการเลือกเกิดของคาร์บอนไดออกไซด์และค่าการเลือกเกิดของไฮโดรเจนของตัวเร่งปฏิกิริยาสำหรับปฏิกิริยาของเตอร์แก๊สชิฟต์ในขั้นที่สอง แสดงในรูปที่ 4.15a แก๊ส ผสมของของปฏิกิริยาของเตอร์แก๊สชิฟต์ในขั้นแรกมีความเร็วแก๊สผ่านเบด และ อัตราส่วน S/C อยู่ที่ประมาณ 36,000 ลูกบาศก์เมตรต่อชั่วโมง (ชั่วโมง กรณีของตัวเร่งปฏิกิริยา) และ 6 ตามลำดับ ผลที่ได้จากการทดสอบแสดงให้เห็นว่า ค่าการเปลี่ยนของคาร์บอนมอนอกไซด์ลดลงเมื่อเพิ่มอุณหภูมิ ซึ่ง สาเหตุมาจากการที่ตัวเร่งปฏิกิริยาของเตอร์แก๊สชิฟต์ทำงานที่ประสิทธิภาพของเตอร์แก๊สชิฟต์ ค่าสูงสุดของค่าการเปลี่ยนของคาร์บอนมอนอกไซด์ ค่าการเลือกเกิดของคาร์บอนไดออกไซด์และค่าการเลือกเกิดของไฮโดรเจนลดลงเมื่อเพิ่มอุณหภูมิ จึงที่ให้เห็นว่า ปฏิกิริยาการเกิดมีเทนหรือปฏิกิริยาของเตอร์แก๊สชิฟต์เข้าแทนที่ปฏิกิริยาของเตอร์แก๊สชิฟต์ ค่าสูงสุดของค่าการเปลี่ยนของคาร์บอนมอนอกไซด์ ค่าการเลือกเกิดของคาร์บอนไดออกไซด์และค่าการเลือกเกิดของไฮโดรเจน อยู่ที่ 0.56 0.86 และ 0.80 ตามลำดับ ที่อุณหภูมิ 350 องศาเซลเซียส ที่มี องค์ประกอบของแก๊สผสม ของออกซิเจน คือ ไฮโดรเจนร้อยละ 68.4 คาร์บอนมอนอกไซด์ร้อยละ 0.65 มีเทนร้อยละ 0.7 และ คาร์บอนไดออกไซด์ร้อยละ 30.25 ในสภาวะปราศจากไอน้ำและอีเลี่ยม ดังแสดงใน รูปที่ 4.15b อย่างไรก็ตามค่าการเลือกเกิดของคาร์บอนไดออกไซด์และค่าการเลือกเกิดของไฮโดรเจนมีค่าต่ำกว่า หนึ่ง แสดงให้เห็นว่าปฏิกิริยาข้างเดียว คือ ปฏิกิริยาการเกิดมีเทนหรือการก่อตัวของคาร์บอนเตตเกิดขึ้น ในระหว่างปฏิกิริยา สภาวะที่เหมาะสมสำหรับปฏิกิริยาของเตอร์แก๊สชิฟต์ในขั้นที่สองที่ให้ความว่องไว มากที่สุด ได้รับเลือกเพื่อศึกษาในส่วนของออกซิเดชันแบบเลือกเกิดของคาร์บอนมอนอกไซด์ต่อไป

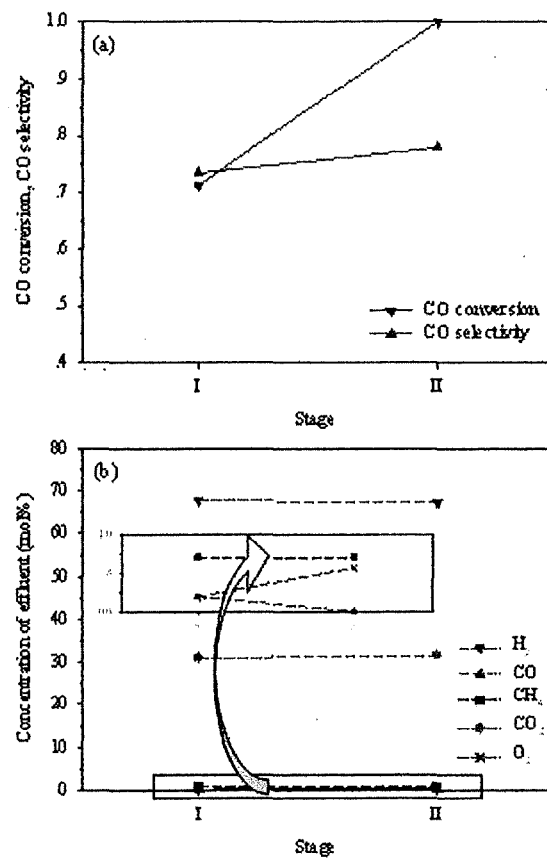


รูปที่ 4.15 ผลลัพธ์จากการทดสอบปฏิกิริยาในขั้นที่สองบนตัวเร่งปฏิกิริยาดัดแปลงท้องเดง ภายใต้ อุณหภูมิปฏิกิริยา 350-450 องศาเซลเซียส อัตราส่วนไอน้ำต่อคาร์บอน เท่ากับ 6 โดยประมาณ อัตราเร็วของแก๊สผสมผ่านเบด เท่ากับ 36,000 ลูกบาศก์เซนติเมตรต่อชั่วโมง กรัมของตัวเร่งปฏิกิริยา โดยประมาณ และองค์ประกอบแก๊สประกอบด้วยไฮโดรเจนประมาณร้อยละ 68 โดยปริมาตร คาร์บอนมอนอกไซด์ประมาณร้อยละ 1.5 โดยปริมาตร มีเทนน้อยกว่าร้อยละ 0.7 โดยปริมาตร และ คาร์บอนไดออกไซด์ประมาณร้อยละ 30 โดยปริมาตร (อ้างอิงในสภาวะที่ไม่มีน้ำและอีเลี่ยม) (a) ค่า การเปลี่ยนของคาร์บอนมอนอกไซด์ ( $X_{CO,WGS}$ ) ค่าการเลือกเกิดของคาร์บอนไดออกไซด์ ( $S_{CO_2,WGS}$ ) และค่าการเลือกเกิดของไฮโดรเจน ( $S_{H_2,WGS}$ ) เป็นพื้นที่ของอัตราส่วน S/C (b) องค์ประกอบของ แก๊สผสมขาออก (อ้างอิงในสภาวะที่ไม่มีน้ำและอีเลี่ยม) ที่ได้จากปฏิกิริยาของเตอร์แก๊สซิฟต์ในขั้นที่สอง เป็นพื้นที่ของอัตราส่วน S/C

#### 4.2.2 ออกซิเดชันแบบเลือกเกิดของคาร์บอนมอนออกไซด์ (Preferential oxidation of CO)

รูปที่ 4.16a แสดงผลของการวิเคราะห์ความเร่งไวของตัวเร่งปฏิกิริยา  $\text{Cu}_{0.16}\text{CeFe}_{0.5}$  สำหรับปฏิกิริยาออกซิเดชันแบบเลือกเกิดของคาร์บอนมอนออกไซด์ ภายใต้ภาวะที่ทำการศึกษา ได้แก่ น้ำหนักของตัวเร่งปฏิกิริยา 0.6 กรัม อุณหภูมิปฏิกิริยา 175 องศาเซลเซียส เติมออกซิเจนร้อยละ 0.5 โดยปริมาณในแต่ละขั้น อัตราส่วนแบ่งแยกของออกซิเจนและอัตราส่วนแบ่งแยกของปริมาณตัวเร่งปฏิกิริยา เท่ากับ 1:1 อัตราเร็วของแก๊สผสมผ่านเบด (GHSV) เท่ากับ 26,000 ลูกบาศก์เซนติเมตรต่อ (ชั่วโมง กรัมของตัวเร่งปฏิกิริยา) โดยประมาณ สำหรับปฏิกิริยาขั้นแรกและ 28,000 ลูกบาศก์เซนติเมตรต่อ(ชั่วโมง กรัมของตัวเร่งปฏิกิริยา) โดยประมาณ สำหรับปฏิกิริยาขั้นที่สอง อัตราส่วนแบ่งแยกของออกซิเจน คือ อัตราส่วนของปริมาณออกซิเจนที่ป้อนเข้าสู่เตาปฏิกิริยานี้ในขั้นแรกต่อปริมาณออกซิเจนที่ป้อนเข้าสู่เตาปฏิกิริยานี้ในขั้นที่สอง และอัตราส่วนแบ่งแยกของปริมาณตัวเร่งปฏิกิริยา คือ อัตราส่วนของปริมาณตัวเร่งปฏิกิริยาที่ใช้ในเตาปฏิกิริยานี้ขั้นแรกต่อปริมาณตัวเร่งปฏิกิริยาที่ใช้ในเตาปฏิกิริยานี้ที่สอง จากการทดสอบพบว่า เกิดปฏิกิริยาออกซิเดชันอย่างสมบูรณ์ในเตาปฏิกิริยานี้ที่สองหรือใช้ออกซิเดชันแบบเลือกเกิดของคาร์บอนมอนออกไซด์แบบสองขั้น ค่าการเปลี่ยนของคาร์บอนมอนออกไซด์ ( $X_{\text{CO,PROX}}$ ) และค่าการเลือกเกิดของคาร์บอนมอนออกไซด์ ( $S_{\text{CO,PROX}}$ ) สำหรับปฏิกิริยาขั้นแรก เท่ากับ 0.71 และ 0.73 ตามลำดับ และค่าการเปลี่ยนของคาร์บอนมอนออกไซด์ ( $X_{\text{CO,PROX}}$ ) และค่าการเลือกเกิดของคาร์บอนมอนออกไซด์ ( $S_{\text{CO,PROX}}$ ) สำหรับปฏิกิริยาขั้นที่สอง เท่ากับ 1 และ 0.78 ตามลำดับ รูปที่ 4.16b แสดงองค์ประกอบของแก๊สจากเตาปฏิกิริยานี้ขั้นแรกและขั้นที่สองของออกซิเดชันแบบเลือกเกิดของคาร์บอนมอนออกไซด์ ซึ่งเป็นที่ชัดเจนว่า มีปริมาณของไฮโดรเจนเพียงเล็กน้อยที่ถูกใช้ไปโดยปฏิกิริยาออกซิเดชันของไฮโดรเจนในระหว่างการแปลงคาร์บอนมอนออกไซด์ไปเป็นคาร์บอนไดออกไซด์โดยปฏิกิริยาออกซิเดชันของคาร์บอนมอนออกไซด์

ในขณะที่ความเร็วขั้นของมีเทนในแก๊สผสมจากออกาที่ได้จากการทั้งสองขั้นไม่เปลี่ยนแปลง แสดงให้เห็นว่าไม่เกิดปฏิกิริยาการเกิดมีเทนในภาวะการดำเนินการ ซึ่งองค์ประกอบแก๊สจากเตาปฏิกิริยานี้ที่สองประกอบด้วยไฮโดรเจนร้อยละ 67.1 โดยปริมาตร ออกซิเจนร้อยละ 0.6 โดยปริมาตร มีเทนร้อยละ 0.7 โดยปริมาตร และคาร์บอนไดออกไซด์ปริมาณร้อยละ 31.6 โดยปริมาตร (อ้างอิงในสภาวะที่ไม่มีน้ำและสีเดียว)



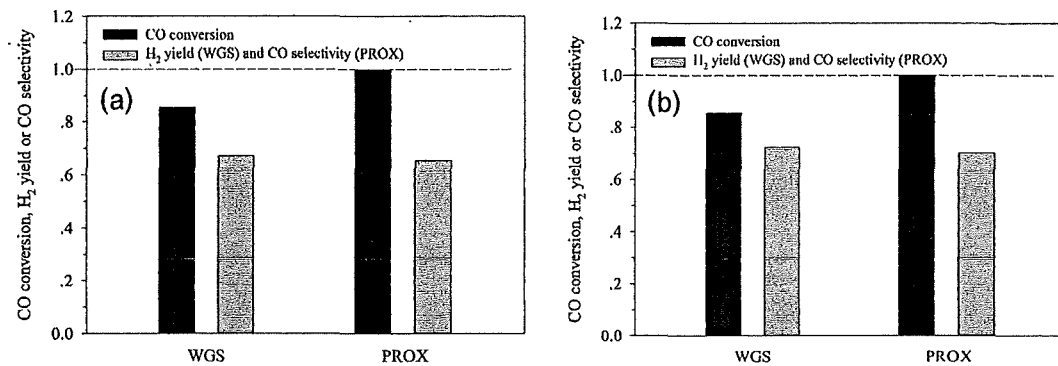
รูปที่ 4.16 ผลลัพธ์จากการทดสอบปฏิกิริยาออกซิเดชันแบบเลือกเกิดของคาร์บอนมอนอกไซด์ในแต่ละขั้นบนตัวเร่งปฏิกิริยา Cu<sub>0.15</sub>CeFe<sub>0.5</sub> ภายใต้อุณหภูมิปฏิกิริยา 175 องศาเซลเซียส อัตราเร็วของแก๊สผงสมผ่านเบด (GHSV) เท่ากับ 26,000 ลูกบาศก์เซนติเมตรต่อ(ชั่วโมง กรัมของตัวเร่งปฏิกิริยา) โดยประมาณ สำหรับปฏิกิริยาขั้นแรกและ 28,000 ลูกบาศก์เซนติเมตรต่อ(ชั่วโมง กรัมของตัวเร่งปฏิกิริยา) โดยประมาณ สำหรับปฏิกิริยาขั้นที่สอง และองค์ประกอบแก๊สขาเข้าประกอบด้วยไฮโดรเจนประมาณร้อยละ 68 โดยปริมาตร คาร์บอนมอนอกไซด์น้อยกว่าร้อยละ 0.7 โดยปริมาตร มีเทนน้อยกว่าร้อยละ 0.7 โดยปริมาตร และคาร์บอนไดออกไซด์ประมาณร้อยละ 30 โดยปริมาตร (อ้างอิงในสภาวะที่ไม่มีน้ำและอีเลี่ยม) สำหรับปฏิกิริยาขั้นแรกและไฮโดรเจนประมาณร้อยละ 68 โดยปริมาตร ออกซิเจนน้อยกว่าร้อยละ 0.2 โดยปริมาตร คาร์บอนมอนอกไซด์น้อยกว่าร้อยละ 0.2 โดยปริมาตร มีเทนน้อยกว่าร้อยละ 0.7 โดยปริมาตร และคาร์บอนไดออกไซด์ประมาณร้อยละ 30.9 โดยปริมาตร (อ้างอิงในสภาวะที่ไม่มีน้ำและอีเลี่ยม) สำหรับปฏิกิริยาขั้นที่สอง (a) ค่าการเปลี่ยนของคาร์บอนมอนอกไซด์ ( $X_{CO,PROX}$ ) และค่าการเลือกเกิดของคาร์บอนมอนอกไซด์ ( $S_{CO,PROX}$ ) สำหรับปฏิกิริยาในแต่ละขั้น (b) องค์ประกอบของแก๊สผงสมขาวออก (อ้างอิงในสภาวะที่ไม่มีน้ำและอีเลี่ยม) ที่ได้จากปฏิกิริยาออกซิเดชันแบบเลือกเกิดของคาร์บอนมอนอกไซด์ในแต่ละขั้น

#### 4.3 ระบบโดยรวมของวอเตอร์แก๊สชิฟต์และออกซิเดชันแบบเลือกเกิดของคาร์บอนมอนอกไซด์ (Integrated system of water-gas shift and preferential oxidation of CO)

##### 4.3.1 ความว่องไวในการเกิดปฏิกิริยาของระบบโดยรวมของวอเตอร์แก๊สชิฟต์และออกซิเดชันแบบเลือกเกิดของคาร์บอนมอนอกไซด์

หลังจากที่ทางภาครัฐที่เหมาะสมของปฏิกิริยาของวอเตอร์แก๊สชิฟต์และปฏิกิริยาออกซิเดชันแบบเลือกเกิดของคาร์บอนมอนอกไซด์ที่ให้ค่าการเปลี่ยนของคาร์บอนมอนอกไซด์สูงสุดดังที่อธิบายไว้ในข้างต้น การทดสอบความว่องไวในการเกิดปฏิกิริยาสำหรับระบบโดยรวมของวอเตอร์แก๊สชิฟต์และออกซิเดชันแบบเลือกเกิดของคาร์บอนมอนอกไซด์ ดำเนินการในสภาพที่เหมาะสมสำหรับหน่วยวอเตอร์แก๊สชิฟต์ คือ อุณหภูมิปฏิกิริยา เท่ากับ 350 องศาเซลเซียส อัตราส่วน W/F เท่ากับ 0.24 กรัม วินาทีต่อลูกบาศก์เซนติเมตร แก๊สขาเข้าประกอบด้วยน้ำร้อยละ 30 โดยปริมาตร คาร์บอนมอนอกไซด์ร้อยละ 3 โดยปริมาตร ไฮโดรเจนร้อยละ 40 โดยปริมาตร สมดุลด้วยอีเลี่ยม และสำหรับหน่วยออกซิเดชันแบบเลือกเกิดของคาร์บอนมอนอกไซด์ คือ อุณหภูมิปฏิกิริยา เท่ากับ 175 องศาเซลเซียส อัตราส่วน W/F เท่ากับ 0.36 กรัม วินาทีต่อลูกบาศก์เซนติเมตร แก๊สขาเข้าประกอบด้วยออกซิเจนร้อยละ 1.5 โดยปริมาตร คาร์บอนมอนอกไซด์น้อยกว่าร้อยละ 1% โดยปริมาตร ไฮโดรเจนประมาณร้อยละ 42 โดยปริมาตร สมดุลด้วยอีเลี่ยม (ในสภาพไม่มีน้ำ) ดังแสดงในรูปที่

4.17

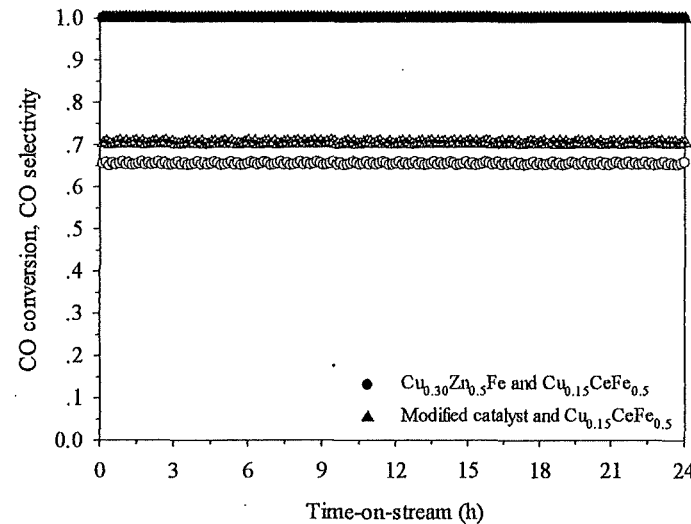


รูปที่ 4.17 ความว่องไวในการเกิดปฏิกิริยาของระบบโดยรวมของวอเตอร์แก๊สชีฟต์และออกซิเดชันแบบเลือกเกิดของคาร์บอนมอนอกไซด์บน (a) ตัวเร่งปฏิกิริยา Cu<sub>0.30</sub>Zn<sub>0.5</sub>Fe (สำหรับวอเตอร์แก๊สชีฟต์) และ Cu<sub>0.15</sub>CeFe<sub>0.5</sub> (สำหรับออกซิเดชันแบบเลือกเกิดของคาร์บอนมอนอกไซด์) และ (b) ตัวเร่งปฏิกิริยาดัดแปลงท้องแดง (สำหรับวอเตอร์แก๊สชีฟต์) และ Cu<sub>0.15</sub>CeFe<sub>0.5</sub> (สำหรับออกซิเดชันแบบเลือกเกิดของคาร์บอนมอนอกไซด์) โดยที่

- หน่วยวอเตอร์แก๊สชีฟต์ : อุณหภูมิปฏิกิริยา เท่ากับ 350 องศาเซลเซียส อัตราส่วน W/F เท่ากับ 0.24 กรัม วินาทีต่อลูกบาศก์เซนติเมตร แก๊สขาเข้าประกอบด้วยน้ำร้อยละ 30 โดยปริมาตร คาร์บอนมอนอกไซด์ร้อยละ 3 โดยปริมาตร ไฮโดรเจนร้อยละ 40 โดยปริมาตร สมดุลด้วยอีเลี่ยม
- หน่วยออกซิเดชันแบบเลือกเกิดของคาร์บอนมอน : อุณหภูมิปฏิกิริยา เท่ากับ 175 องศาเซลเซียส อัตราส่วน W/F เท่ากับ 0.36 กรัม วินาทีต่อลูกบาศก์เซนติเมตร แก๊สขาเข้าประกอบด้วยออกซิเจนร้อยละ 1.5 โดยปริมาตร คาร์บอนมอนอกไซด์น้อยกว่าร้อยละ 1% โดยปริมาตร ไฮโดรเจนประมาณร้อยละ 42 โดยปริมาตร สมดุลด้วยอีเลี่ยม (ในสภาวะไม่มีน้ำ)

#### 4.3.2 การทดสอบเสถียรภาพหรือความคงทนในระยะยาวของตัวเร่งปฏิกิริยาสำหรับระบบโดยรวมของวอเตอร์แก๊สซิฟต์และออกซิเดชันแบบเลือกเกิดของคาร์บอนมอนอกไซด์

การทดสอบเสถียรภาพหรือความคงทนในระยะยาวของตัวเร่งปฏิกิริยาสำหรับระบบโดยรวมของวอเตอร์แก๊สซิฟต์และออกซิเดชันแบบเลือกเกิดของคาร์บอนมอนอกไซด์ โดยดำเนินการทดสอบเป็น ระยะเวลา 24 ชั่วโมง ภายใต้สภาวะที่เหมาะสม ดังแสดงใน รูปที่ 4.18 ซึ่งผลที่ได้แสดงให้เห็นถึงการเกิดปฏิกิริยาอย่างสมบูรณ์ โดยค่าการเปลี่ยนของคาร์บอนมอนอกไซด์และค่าการเลือกของคาร์บอนไดออกไซด์คงที่ที่ตำแหน่งเอกสารและร้อยละ 65 โดยประมาณ ตามลำดับ เมื่อใช้ตัวเร่งปฏิกิริยา  $Cu_{0.30}Zn_{0.5}Fe$  และ  $Cu_{0.15}CeFe_{0.5}$  ในวอเตอร์แก๊สซิฟต์และออกซิเดชันแบบเลือกเกิดของคาร์บอนมอนอกไซด์ ตามลำดับ ในขณะที่ ค่าการเปลี่ยนของคาร์บอนมอนอกไซด์และค่าการเลือกของคาร์บอนไดออกไซด์ยังคงคงที่ที่ตำแหน่งเอกสารและร้อยละ 70 โดยประมาณ ตามลำดับ เมื่อใช้ตัวเร่งปฏิกิริยาดัดแปรฐานทองแดง และ  $Cu_{0.15}CeFe_{0.5}$  ในวอเตอร์แก๊สซิฟต์และออกซิเดชันแบบเลือกเกิดของคาร์บอนมอนอกไซด์ ตามลำดับ จึงสามารถตั้งข้อสังเกตได้ว่า การใช้ตัวเร่งปฏิกิริยาดัดแปรฐานทองแดงทำให้ได้ค่าการเลือกของคาร์บอนไดออกไซด์สูงขึ้น จึงเป็นเหตุผลที่จะเลือกตัวเร่งปฏิกิริยานี้ใน การศึกษาในส่วนต่อไป

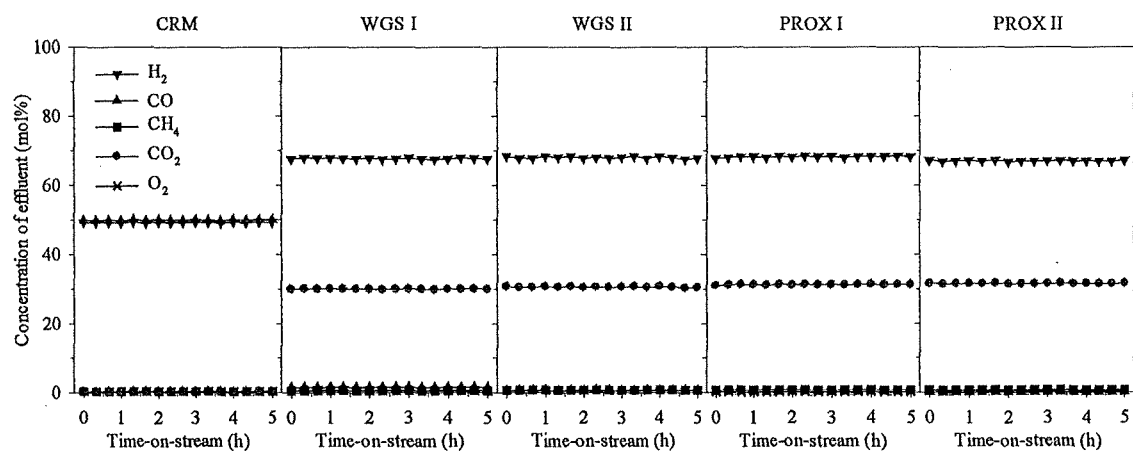


รูปที่ 4.18 การทดสอบความคงทนของตัวเร่งปฏิกิริยาสำหรับระบบโดยรวมของวัสดุเตอร์แก๊สซิฟต์และออกซิเดชันแบบเลือกเกิดของคาร์บอนมอนอกไซด์ เป็นเวลา 24 ชั่วโมง ที่สภาวะที่เหมาะสม (สัญลักษณ์ปิด แทน ค่าการเปลี่ยนของคาร์บอนมอนอกไซด์ และสัญลักษณ์เปิด แทน ค่าการเลือกของคาร์บอนไดออกไซด์สัญลักษณ์) โดยที่

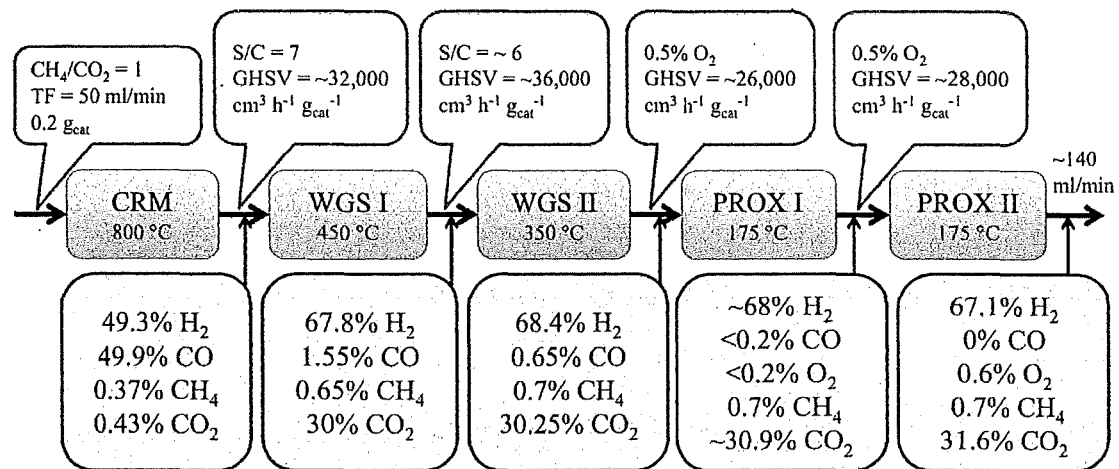
- หน่วยวัดเตอร์แก๊สซิฟต์ : อุณหภูมิปฏิกิริยา เท่ากับ 350 องศาเซลเซียส อัตราส่วน W/F เท่ากับ 0.24 กรัม วินาทีต่อสูญเสียเซนติเมตร แก๊สขาเข้าปะกอบด้วยน้ำร้อนอยละ 30 โดยปริมาตร คาร์บอนมอนอกไซด์ร้อยละ 3 โดยปริมาตร ไฮโดรเจนร้อยละ 40 โดยปริมาตร สมดุลด้วยอีเลี่ยม
- หน่วยออกซิเดชันแบบเลือกเกิดของคาร์บอนมอน : อุณหภูมิปฏิกิริยา เท่ากับ 175 องศาเซลเซียส อัตราส่วน W/F เท่ากับ 0.36 กรัม วินาทีต่อสูญเสียเซนติเมตร แก๊สขาเข้าปะกอบด้วยออกซิเจนร้อยละ 1.5 โดยปริมาตร คาร์บอนมอนอกไซด์น้อยกว่าร้อยละ 1% โดยปริมาตร ไฮโดรเจนประมาณร้อยละ 42 โดยปริมาตร สมดุลด้วยอีเลี่ยม (ในสภาวะไม่มีน้ำ)

#### 4.4 การทดสอบเสถียรภาพของระบบโดยรวมของรีฟอร์มมิ่งของมีเทนด้วยคาร์บอนไดออกไซด์ วอเตอร์แก๊สชิฟต์ และออกซิเดชันแบบเลือกเกิดของคาร์บอนมอนอกไซด์ (Deactivation tests of Integrated system of $\text{CO}_2$ reforming of $\text{CH}_4$ , water-gas shift reaction and preferential oxidation of CO)

สำหรับระบบโดยรวมของรีฟอร์มมิ่งของมีเทนด้วยคาร์บอนไดออกไซด์ วอเตอร์แก๊สชิฟต์ และออกซิเดชันแบบเลือกเกิดของคาร์บอนมอนอกไซด์นั้น จะดำเนินการทดสอบโดยวัดองค์ประกอบของแก๊สข้าวอก ณ เวลาที่ดำเนินการต่างๆ เพื่อเป็นการทดสอบความคงทนของตัวเร่งปฏิกิริยาและเสถียรภาพของระบบ รูปที่ 4.19 แสดงผลการทดสอบการเสื่อมสภาพ (Deactivation test) ของปฏิกิริยาฟอร์มมิ่งของมีเทนด้วยคาร์บอนไดออกไซด์ วอเตอร์แก๊สชิฟต์ และออกซิเดชันแบบเลือกเกิดของคาร์บอนมอนอกไซด์เทียบกับเวลาที่แก๊สผ่านเบด (Time-on-stream) ภายใต้ภาวะที่เหมาะสม จากการทดสอบพบว่า ระบบมีเสถียรภาพที่ดีตลอดช่วงเวลาการทดสอบ 5 ชั่วโมง ซึ่งแสดงให้เห็นว่าตัวเร่งปฏิกิริยาไม่เกิดการเสื่อมสภาพโดยง่าย และรูปที่ 4.20 แสดงองค์ประกอบของแก๊สข้าวอกที่ได้จากปฏิกิริยาฟอร์มมิ่งของมีเทนด้วยคาร์บอนไดออกไซด์ วอเตอร์แก๊สชิฟต์ และออกซิเดชันแบบเลือกเกิดของคาร์บอนมอนอกไซด์



รูปที่ 4.19 ผลการทดสอบการเสื่อมสภาพของปฏิกิริยาฟอร์มมิ่งของมีเทนด้วยคาร์บอนไดออกไซด์ วอเตอร์แก๊สชิฟต์ และออกซิเดชันแบบเลือกเกิดของคาร์บอนมอนอกไซด์เทียบกับเวลาที่แก๊สผ่านเบด



รูปที่ 4.20 องค์ประกอบของแก๊สข้าวอกที่ได้จากปฏิกรณ์ฟอร์มิ่งของเมเทนด้วยคาร์บอนไดออกไซด์ ของเตอร์แก๊สชิฟต์และออกซิเดชันแบบเลือกเกิดของคาร์บอนมอนอกไซด์

## บทที่ 5

### สรุปผลการวิจัย

จากการศึกษาปฏิกริยาของชีเดชันแบบเลือกเกิดของคาร์บอนมอนอกไซด์แบบขั้นเดียวพบว่า ค่าการเปลี่ยนของคาร์บอนมอนอกไซด์ของทุกอัตราส่วนของชีเดชันต่อคาร์บอนมอนอกไซด์ (1.0 1.5 และ 2.0) มีแนวโน้มที่เพิ่มขึ้นจนถึงค่าสูงสุดค่าหนึ่ง และเมื่อเพิ่มอุณหภูมิต่อไปมีผลทำให้ค่าการเปลี่ยนของคาร์บอนมอนอกไซด์เริ่มลดลง ซึ่งค่าการเปลี่ยนของคาร์บอนมอนอกไซด์สูงสุดพบที่อัตราส่วนของชีเดชันต่อคาร์บอนมอนอกไซด์ เท่ากับ 1.5 ในช่วงอุณหภูมิที่ต่ำกว่า 150 องศาเซลเซียส และในช่วงอุณหภูมิที่สูงกว่าพบว่า ค่าการเปลี่ยนของคาร์บอนมอนอกไซด์ที่อัตราส่วนของชีเดชันต่อคาร์บอนมอนอกไซด์ เท่ากับ 1.5 และ 2.0 มีค่าที่ไม่แตกต่าง และเมื่อพิจารณาค่าการเปลี่ยนของคาร์บอนมอนอกไซด์และค่าการเลือกเกิดของคาร์บอนมอนอกไซด์ที่อัตราส่วน W/F ต่างๆ (0.12 0.24 และ 0.36 กรัม วินาทีต่อลูกบาศก์เซนติเมตร) พบว่า ค่าการเปลี่ยนของคาร์บอนมอนอกไซด์เพิ่มขึ้นเมื่อเพิ่มอัตราส่วน W/F ที่อุณหภูมน้อยกว่าหรือเท่ากับ 150 องศาเซลเซียส และค่าการเปลี่ยนของคาร์บอนมอนอกไซด์สูงสุดเหลือนไปยังอุณหภูมิที่ต่ำกว่า ซึ่งค่าการเปลี่ยนของคาร์บอนมอนอกไซด์สูงสุดมีค่า เท่ากับ 0.92 (ที่อัตราส่วน W/F เท่ากับ 0.12 กรัม วินาทีต่อลูกบาศก์เซนติเมตร ณ อุณหภูมิ 175 องศาเซลเซียส) 0.98 (ที่อัตราส่วน W/F เท่ากับ 0.24 กรัม วินาทีต่อลูกบาศก์เซนติเมตร ณ อุณหภูมิ 150 องศาเซลเซียส) และ 0.96 (ที่อัตราส่วน W/F เท่ากับ 0.36 กรัม วินาทีต่อลูกบาศก์เซนติเมตร ณ อุณหภูมิ 150 องศาเซลเซียส)

จากการออกแบบการทดลองแบบแพคทอร์เรียลสองปัจจัยบล็อกอุณหภูมิสำหรับออกแบบชีเดชันแบบเลือกเกิดของคาร์บอนมอนอกไซด์แบบขั้นเดียว พบว่า มีเพียงอัตราส่วนของชีเดชันต่อคาร์บอนมอนอกไซด์ ที่มีความสำคัญอย่างมีนัยทางสถิติต่อค่าการเปลี่ยนของคาร์บอนมอนอกไซด์ ในขณะที่อัตราส่วน W/F มีความสำคัญอย่างมีนัยทางสถิติต่อค่าการเลือกเกิดของคาร์บอนมอนอกไซด์ และอัตราปริมาณระหว่างอัตราส่วนทั้งสอง ไม่มีผลกระทบอย่างมีนัยสำคัญต่อค่าการเปลี่ยนของคาร์บอนมอนอกไซด์และค่าการเลือกเกิดของคาร์บอนมอนอกไซด์

จากการศึกษาปฏิกริยาของชีเดชันแบบเลือกเกิดของคาร์บอนมอนอกไซด์แบบสองขั้นพบว่า การเปลี่ยนแปลงอัตราส่วนแบ่งแยกปริมาณตัวเร่งปฏิกริยาไม่ส่งผลกระทบต่อแนวโน้มของค่าการเปลี่ยนของคาร์บอนมอนอกไซด์และค่าการเลือกเกิดของคาร์บอนมอนอกไซด์ และเมื่อ

พิจารณาที่อัตราส่วนแบ่งแยกออกอุกซีเจน พบร่วมค่าการเลือกเกิดของคาร์บอนมอนอกไซด์มีค่าเท่ากับ 1 ที่มีอุณหภูมิปฎิกริยาทั้งสองเครื่องปฏิกรณ์น้อยกว่าหรือเท่ากับ 125 องศาเซลเซียส และที่อุณหภูมิสูงกว่า 125 องศาเซลเซียส ค่าการเลือกเกิดของคาร์บอนมอนอกไซด์ลดลงอย่างมีนัยสำคัญกับอุณหภูมิที่เพิ่มขึ้น และแนวโน้มของค่าการเปลี่ยนของคาร์บอนมอนอกไซด์และค่าการเลือกเกิดของคาร์บอนมอนอกไซด์แสดงให้เห็นถึงความแตกต่างอย่างชัดเจนเมื่อมีการเปลี่ยนแปลงอัตราส่วนแบ่งแยกออกอุกซีเจนสำหรับออกซิเดชันแบบเลือกเกิดของคาร์บอนมอนอกไซด์แบบสองขั้น

จากการผลการออกแบบการทดลองแบบแพ็คทอเรียลสองปัจจัยลักษณะอุณหภูมิสำหรับออกซิเดชันแบบเลือกเกิดของคาร์บอนมอนอกไซด์แบบสองขั้น พบร่วม การเปลี่ยนแปลงอัตราส่วนแบ่งแยกออกอุกซีเจนและอัตราส่วนแบ่งแยกปริมาณตัวเร่งปฏิกริยา มีผลกระทบอย่างไม่มีนัยสำคัญต่อค่าการเปลี่ยนของคาร์บอนมอนอกไซด์และค่าการเลือกเกิดของคาร์บอนมอนอกไซด์สำหรับออกซิเดชันแบบเลือกเกิดของคาร์บอนมอนอกไซด์แบบสองขั้น

จากการศึกษาระบบโดยรวมของวอเตอร์แก๊สซิฟต์และออกซิเดชันแบบเลือกเกิดของคาร์บอนมอนอกไซด์ พบร่วม ตัวเร่งปฏิกริยา มีเสถียรภาพที่ดีตลอดช่วงเวลาการทดสอบ 24 ชั่วโมง โดยไม่เกิดการเสื่อมสภาพโดยง่าย

จากการศึกษาระบบโดยรวมของรีฟอร์มมิ่งของมีเนนด้วยคาร์บอนไดออกไซด์ วอเตอร์แก๊สซิฟต์ และออกซิเดชันแบบเลือกเกิดของคาร์บอนมอนอกไซด์ พบร่วม ระบบมีเสถียรภาพที่ดีตลอดช่วงเวลาการทดสอบ 5 ชั่วโมง ซึ่งแสดงให้เห็นว่าตัวเร่งปฏิกริยาไม่เกิดการเสื่อมสภาพโดยง่าย

## បច្ចនានុករម

- [1] <http://teenet.cmu.ac.th/sci/fossil01.php#02>
- [2] [www.nesdb.go.th/portals/0/tasks/endure/Kyoto%20Protocol.pdf](http://www.nesdb.go.th/portals/0/tasks/endure/Kyoto%20Protocol.pdf)
- [3] <http://www.watercar.tht.in/page2.html>
- [4] <http://www.leonics.co.th/html/th/aboutpower/greenway06.php>
- [5] Wanchanthuek, R. Hydrogen Gas: The Expectation to Be a Promising Sustainable Energy Source. *Burapha Science Journal* 16 (2011) 1 : 131–140.
- [6] Shore, L., Farrauto, R.J. *Handbook of Fuel Cells-Fundamentals, Tech. and App.* USA: John Wiley & Sons Ltd., 2003.
- [7] <http://th.wikipedia.org/wiki/แก๊สธรรมชาติ>
- [8] Gupta, R.B. *FUEL: Production, Transport, and Storage*, CRC Press, Taylor & Francis Group, LLC, 2009.
- [9] Romm, J.J. *The Hype about Hydrogen, Fact and Fiction in the Race to Save the Climate*. Island Press, Washington, D. C., 2004.
- [10] Katsaros, A. *A National Vision of America's Transition to a Hydrogen Economy — To 2030 and Beyond*. National Hydrogen Vision Meeting, United States Department of Energy, Washington, D. C., 2001.
- [11] Ogden, J.M., Dennis, E., Steinbugler, M., Strohbehn, J. *Hydrogen Energy Systems Studies*, Final Report to U.S. DOE for Contract No. XR-11265-2, 18 January 1995.
- [12] Ogden, J.M. Prospects for building a hydrogen energy infrastructure. *Annual Reviews Energy Environmental* 24 (1999): 227–279.
- [13] Ogden, J.M., Kreutz, T., Kartha, S., Iwan, L. Assessment of Technologies for Producing Hydrogen from Natural Gas at Small Scale, Center for Energy and Environmental Studies, University of California, Davis, CA, Draft Report, 26 November 1996.
- [14] Szklo, A., Schaeffer, R. Fuel specification, energy consumption and CO<sub>2</sub> emission in oil refineries. *Energy* 32 (2007): 1075–1092.

- [15] Davis, S.C., Diegel, S.W. Transportation Energy Data Book, Centre for Transportation Analysis. 23rd ed., Oak Ridge National Laboratory, Oak Ridge, TN, 2003.
- [16] SRI Consulting Inc. Chemical Economics Handbook 2001, Menlo Park, CA, 2001.
- [17] Scholz, W. Processes for industrial production of hydrogen and associated environmental effect. Gas Separation & Purification 7 (1993): 131–139.
- [18] Kermode, R. Hydrogen from fossil fuels. in Hydrogen: Its Technology and Applications, Cox, K. and Williamson, K., Eds., CRC Press, Boca Raton, FL, 1977.
- [19] Spath, P., and Mann, M. Life Cycle Assessment of Hydrogen Production via Natural Gas Steam Reforming, Technical Report, NREL, NREL/TP-570-27637, 2000.
- [20] Yasuda, I., and Shirasaki, Y. Development of membrane reformer for highly-efficient hydrogen production from natural gas, Proceeding of 15th World Hydrogen Energy Conference, Yokohama, Japan, 2004.
- [21] U.S. DOE-EERE. Fuel Cell Technologies Program [Online]. 2003. Available from : <http://www.eere.energy.gov/hydrogenandfuelcells> [2007,March 10].
- [22] DOE. Alternative fuel data center. Alternative Fuels and Advanced Vehicles [Online]. 2012. Available from : <http://www.afdc.energy.gov/fuels/index.html> [2012,September 1].
- [23] Wee, J.H. Applications of proton exchange membrane fuel cell systems. Renewable Sustainable Energy Reviews 11 (2007): 1720–1738.
- [24] Marban, G., Valdes-Solis, T. Towards the hydrogen economy? International Journal of Hydrogen Energy 32(12) (2007): 1625–1637.
- [25] Chang, H.P., Chou, C.L., Chen, Y.S., Hou, T.L., and Weng, B. The design and cost analysis of a portable PEMFC UPS system. International Journal of Hydrogen Energy 32(3) (2007): 316–322.
- [26] Lercher, J., Bitter, J.H., Hally, W., Niessen, W., Seshan, K. Design of stable catalysts for methane carbon dioxide reforming. Studies in Surface Science and Catalysis 101 (1996): 463–472.

- [27] Armor, J. The multiple roles for catalysis in the production of H<sub>2</sub>. Applied Catalysis A: General 176 (1999): 159–176.
- [28] Satterfield, C.N. Heterogeneous Catalysis in Practice. USA: McGraw-Hill, 1980.
- [29] Newsome, D.S. The water-gas shift reaction. Catalysis Reviews: Science and Engineering 21 (1980): 275–318.
- [30] Barbier Jr, J., Duprez, D. Steam effects in three way catalysis (REVIEW). Applied Catalysis B: Environmental 4 (1994): 105–140.
- [31] Lloyd, L., Ridler, D.E., Twigg, M.V. Catalyst Handbook. in Twigg, M.V., The Water-Gas Shift Reaction, Chapter 6, pp. 283, 2nd edition, Manson Publishing Ltd., Frome, 1996.
- [32] Bunluesin, T., Gorte, R.J., Graham, G.W. Studies of the water-gas-shift reaction on ceria-supported Pt, Pd, and Rh: implications for oxygen-storage properties. Applied Catalysis B: Environmental 15 (1998): 107–114.
- [33] Li, Y., Fu, Q., Flytzani-Stephanopoulos, M. Low-temperature water-gas shift reaction over Cu- and Ni-loaded cerium oxide catalysts. Applied Catalysis B: Environmental 27 (2000): 179–191.
- [34] Grenoble, D.C., Estadt, M.M., Ollis, D.F. Chemistry and Catalysis of the Water Gas Shift Reaction. 1. The Kinetics over Supported Metal Catalysts. Journal of Catalysis 67 (1981): 90–102.
- [35] Shido, T., Iwasawa, Y. Reactant-Promoted Reaction-Mechanism for Water Gas Shift Reaction on Rh-doped CeO<sub>2</sub>. Journal of Catalysis 141 (1993): 71–81.
- [36] Jansson, J. Low temperature CO oxidation over Co<sub>3</sub>O<sub>4</sub>/Al<sub>2</sub>O<sub>3</sub>. Journal of catalysis 194 (2000): 55-60.
- [37] Mars, P., Krevelen, D.W. Oxidations carried out by Means of Vanadium Oxide Catalysts. Chemical Engineer & Science 3 (1954): 41-59.
- [38] Sopeña, D., Melgar, A., Briceño, Y., Navarro, R.M., Álvarez-Galván, M.C., Rosa, F. Diesel fuel processor for hydrogen production for 5 kW fuel cell application. International Journal of Hydrogen Energy 32 (2007): 1429–1436.

- [39] Tan, Ö., Masxalaci, E., Önsan, Z.I., Avci, A.K. Design of a methane processing system producing high-purity hydrogen. *International Journal of Hydrogen Energy* 33 (2008): 5516–5526.
- [40] Wichert, M., Men, Y., O'Connell, M., Tiemann, D., Zapf, R., Kolb, G., Butschek, S., Frank, R., Schiegl, A. Self-sustained operation and durability testing of a 300 W-class micro-structured LPG fuel processor. *International Journal of Hydrogen Energy* 36 (2011): 3496–3504.
- [41] Kaengsilalai, A., Luengnaruemitchai, A., Jitkarnka, S., Wongkasemjit, S. Potential of Ni supported on KH zeolite catalysts for carbon dioxide reforming of methane. *Journal of Power Sources* 165 (2007): 347–352.
- [42] Luengnaruemitchai, A., Kaengsilalai, A. Activity of different zeolite-supported Ni catalysts for methane reforming with carbon dioxide. *Chemical Engineering Journal* 144 (2008): 96–102.
- [43] Zhang, G., Dong, Y., Feng, M., Zhang, Y., Zhaoa, W., Cao, H. CO<sub>2</sub> reforming of CH<sub>4</sub> in coke oven gas to syngas over coal char catalyst. *Chemical Engineering Journal* 156 (2010): 519–523.
- [44] Yahiro, H., Murawaki, K., Saiki, K., Yamamoto, T., Yamaura, H. Study on the supported Cu-based catalysts for the low-temperature water–gas shift reaction. *Catalysis Today* 126 (2007): 436–440.
- [45] Zhang, L., Wang, X., Millet, J-M.M., Matter, P.H., Ozkan, U.S. Investigation of highly active Fe-Al-Cu catalysts for water-gas shift reaction. *Applied Catalysis A: General* 351 (2008): 1–8.
- [46] Nishida, K., Atake, I., Li, D., Shishido, T., Oumi, Y., Sano, T., Takehira, K. Effects of noble metal-doping on Cu/ZnO/Al<sub>2</sub>O<sub>3</sub> catalysts for water–gas shift reaction Catalyst preparation by adopting “memory effect” of hydrotalcite. *Applied Catalysis A: General* 337 (2008): 48–57.
- [47] Zhang, L., Millet, J-M.M., Ozkan, U.S. Effect of Cu loading on the catalytic performance of Fe–Al–Cu for water-gas shift reaction. *Applied Catalysis A: General* 357 (2009): 66–72.

- [48] Gunawardana, P.V.D.S., Lee, H.C., Kim, D.H. Performance of copper–ceria catalysts for water gas shift reaction in medium temperature range. *International Journal of Hydrogen Energy* 34 (2009): 1336–1341.
- [49] Mariño, F., Descorme, C., Duprez, D. Supported base metal catalysts for the preferential oxidation of carbon monoxide in the presence of excess hydrogen (PROX). *Applied Catalysis B: Environmental* 58 (2005): 175–183.
- [50] Liu, Z., Zhou, R., Zheng, X. Comparative study of different methods of preparing CuO–CeO<sub>2</sub> catalysts for preferential oxidation of CO in excess hydrogen. *Journal of Molecular Catalysis A: Chemical* 267 (2007): 137–142.
- [51] Moretti, E., Storaro, L., Talon, A., Lenarda, M. One-pot mesoporous Al–Ce–Cu oxide systems as catalysts for the preferential carbon monoxide oxidation (CO-PROX). *Catalysis Communications* 10 (2009): 522–527.
- [52] Ahluwalia, R.K., Zhang, Q., Chmielewski, D.J., Lauzze, K.C., and Inbody, M.A. Performance of CO preferential oxidation reactor with noble-metal catalyst coated on ceramic monolith for on-board fuel processing applications. *Catalysis Today* 99 (2005): 271–283.
- [53] Srinivas, S., and Gulari, E. Preferential CO oxidation in a two-stage packed-bed reactor: optimization of oxygen split ratio and evaluation of system robustness. *Catalysis Communications* 7 (2006): 819–827.

# ภาคผนวก

## ภาคผนวก ก

### การคำนวณสำหรับการเตรียมตัวเร่งปฏิกิริยา

การคำนวณน้ำหนักของเกลือในเตρตและมูเรียจากอัตราส่วน Cu/(Cu+Zn+Fe) และ อัตราส่วนโดยน้ำหนักสังกะสีต่อเหล็กสำหรับวิธีการเผาไหม้มูเรียและในเตρต (UNC)

ตัวอย่างการคำนวณ: การเตรียมตัวเร่งปฏิกิริยา  $Cu_{0.15}ZnFe$  ปริมาณ 1.5 กรัม ที่อัตราส่วน Cu/(Cu+Zn+Fe) (Cu/(Cu+Zn+Fe) molar ratio) เท่ากับ 0.15 อัตราส่วนโดยน้ำหนักสังกะสีต่อเหล็ก เท่ากับ 1:1 และอัตราส่วนมูเรียต่อในเตρต (U/N) เท่ากับ 2.375

$$Cu/(Cu + Zn + Fe) \text{ molar ratio (x)} = \frac{\left( \frac{W_{Cu}}{AW_{Cu}} \right)}{\left( \frac{W_{Cu}}{AW_{Cu}} + \frac{W_{Zn}}{AW_{Zn}} + \frac{W_{Fe}}{AW_{Fe}} \right)} \quad (n1)$$

$$U/N = \frac{\left( \frac{W_{\text{Urea}}}{MW_{\text{Urea}}} \right)}{\left( \frac{W_{\text{Cu(II)nitrate}}}{MW_{\text{Cu(II)nitrate}}} + \frac{W_{\text{Zn(II)nitrate}}}{MW_{\text{Zn(II)nitrate}}} + \frac{W_{\text{Fe(III)nitrate}}}{MW_{\text{Fe(III)nitrate}}} \right)} \quad (n2)$$

where

$W_{Cu}$  คือ น้ำหนักของทองแดงใน  $Cu(NO_3)_2 \cdot 3H_2O$  หน่วย กรัม (g)

$W_{Ce}$  คือ น้ำหนักของสังกะสีใน  $Zn(NO_3)_2 \cdot 4H_2O$  หน่วย กรัม (g)

$W_{Fe}$  คือ น้ำหนักของเหล็กใน  $Fe(NO_3)_3 \cdot 9H_2O$  หน่วย กรัม (g)

$W_{\text{Cu(II)nitrate}}$  คือ น้ำหนักของ  $Cu(NO_3)_2 \cdot 3H_2O$  หน่วย กรัม (g)

$W_{\text{Zn(II)nitrate}}$  คือ น้ำหนักของ  $Zn(NO_3)_2 \cdot 4H_2O$  หน่วย กรัม (g)

$W_{\text{Fe(III)nitrate}}$  คือ น้ำหนักของ  $Fe(NO_3)_3 \cdot 9H_2O$  หน่วย กรัม (g)

$W_{\text{Urea}}$  คือ น้ำหนักของ  $CO(NH_2)_2$  หน่วย กรัม (g)

$AW_{Cu}$  คือ น้ำหนักอะตอมของทองแดง เท่ากับ 63.546 กรัมต่อมोล (g/mole)

$AW_{Zn}$  คือ น้ำหนักอะตอมของสังกะสี เท่ากับ 65.382 กรัมต่อโมล (g/mole)

$AW_{Fe}$  คือ น้ำหนักอะตอมของเหล็ก เท่ากับ 55.847 กรัมต่อโมล (g/mole)

$MW_{Cu(II)nitrate}$  คือ น้ำหนักโมเลกุลของ  $Cu(NO_3)_2 \cdot 3H_2O$  เท่ากับ 241.6 กรัมต่อโมล (g/mole)

$MW_{Zn(II)nitrate}$  คือ น้ำหนักโมเลกุลของ  $Zn(NO_3)_2 \cdot 4H_2O$  เท่ากับ 245.5 กรัมต่อโมล (g/mole)

$MW_{Fe(III)nitrate}$  คือ น้ำหนักโมเลกุลของ  $Fe(NO_3)_3 \cdot 9H_2O$  เท่ากับ 404.0 กรัมต่อโมล (g/mole)

$MW_{Urea}$  คือ น้ำหนักโมเลกุลของ  $CO(NH_2)_2$  เท่ากับ 44.056 กรัมต่อโมล (g/mole)

อัตราส่วนโดยน้ำหนักสังกะสีต่อเหล็ก ( $Zn:Fe$  weight ratio) เท่ากับ  $y:z$  และน้ำหนักของตัวเร่งปฏิกิริยา เท่ากับ  $A$  กรัม

ดังนั้น น้ำหนักของสังกะสี ( $W_{Zn}$ ) และน้ำหนักของเหล็ก ( $W_{Fe}$ )

$$w_{Zn} = \frac{(A - w_{Cu})y}{(y+z)} \quad (n3)$$

and

$$w_{Fe} = \frac{(A - w_{Cu})z}{(y+z)} \quad (n4)$$

จัดรูปสมการ (n1) (n3) และ (n4) จะได้

$$w_{Cu} = \frac{xA \left[ \frac{y}{AW_{Zn}(y+z)} + \frac{z}{AW_{Fe}(y+z)} \right]}{\left[ \frac{(1-x)}{AW_{Cu}} + \frac{xy}{AW_{Zn}(y+z)} + \frac{xz}{AW_{Fe}(y+z)} \right]} \quad (n5)$$

แทนสมการ (n5) ในสมการ (n3) และ (n4)

$$w_{Zn} = \frac{(A - w_{Cu})yx A \left[ \frac{y}{AW_{Zn}(y+z)} + \frac{z}{AW_{Fe}(y+z)} \right]}{(y+z) \left[ \frac{(1-x)}{AW_{Cu}} + \frac{xy}{AW_{Zn}(y+z)} + \frac{xz}{AW_{Fe}(y+z)} \right]} \quad (n6)$$

$$w_{Fe} = \frac{(A - w_{Cu})zx A \left[ \frac{y}{AW_{Zn}(y+z)} + \frac{z}{AW_{Fe}(y+z)} \right]}{(y+z) \left[ \frac{(1-x)}{AW_{Cu}} + \frac{xy}{AW_{Zn}(y+z)} + \frac{xz}{AW_{Fe}(y+z)} \right]} \quad (n7)$$

$$w_{\text{Cu(II)nitrate}} = \frac{w_{\text{Cu}} \text{MW}_{\text{Cu(II)nitrate}}}{\text{AW}_{\text{Cu}}} \quad (\text{n8})$$

$$w_{\text{Ce(III)nitrate}} = \frac{w_{\text{Ce}} \text{MW}_{\text{Ce(III)nitrate}}}{\text{AW}_{\text{Ce}}} \quad (\text{n9})$$

$$w_{\text{Fe(III)nitrate}} = \frac{w_{\text{Fe}} \text{MW}_{\text{Fe(III)nitrate}}}{\text{AW}_{\text{Fe}}} \quad (\text{n10})$$

$$w_{\text{Urea}} = \text{MW}_{\text{Urea}} (U/N) \left( \frac{w_{\text{Cu(II)nitrate}}}{\text{MW}_{\text{Cu(II)nitrate}}} + \frac{w_{\text{Zn(II)nitrate}}}{\text{MW}_{\text{Zn(II)nitrate}}} + \frac{w_{\text{Fe(III)nitrate}}}{\text{MW}_{\text{Fe(III)nitrate}}} \right) \quad (\text{n11})$$

ดังนั้น น้ำหนักของเกลือในต่อตัวและอย่างเดียวกันวนได้จากสมการ (ก8) ถึง (ก11) และ  $w_{\text{Cu}}$   $w_{\text{Zn}}$  และ  $w_{\text{Fe}}$  คำนวนได้จากสมการ (ก5) ถึง (ก7)

$$w_{\text{Cu}} = \frac{0.15(1.5 \text{ g}) \left[ \frac{1}{(65.382 \text{ g/mole})(1+1)} + \frac{1}{(55.847 \text{ g/mole})(1+1)} \right]}{\left[ \frac{(1-0.15)}{63.546 \text{ g/mole}} + \frac{0.15(1)}{(65.382 \text{ g/mole})(1+1)} + \frac{0.15(1)}{(55.847 \text{ g/mole})(1+1)} \right]} \\ = 0.40696 \text{ g}$$

$$w_{\text{Zn}} = \frac{(1.5 \text{ g} - 0.40696 \text{ g})(1)(0.15)(1.5 \text{ g}) \left[ \frac{1}{(65.382 \text{ g/mole})(1+1)} + \frac{1}{(55.847 \text{ g/mole})(1+1)} \right]}{(1+1) \left[ \frac{(1-0.15)}{63.546 \text{ g/mole}} + \frac{(0.15)(1)}{(65.382 \text{ g/mole})(1+1)(1+1)} + \frac{(0.15)(1)}{(55.847 \text{ g/mole})(1+1)} \right]} \\ = 0.54652 \text{ g}$$

$$w_{\text{Fe}} = \frac{(1.5 \text{ g} - 0.40696 \text{ g})(1)(0.15)(1.5 \text{ g}) \left[ \frac{1}{(65.382 \text{ g/mole})(1+1)} + \frac{1}{(55.847 \text{ g/mole})(1+1)} \right]}{(1+1) \left[ \frac{(1-0.15)}{63.546 \text{ g/mole}} + \frac{(0.15)(1)}{(65.382 \text{ g/mole})(1+1)(1+1)} + \frac{(0.15)(1)}{(55.847 \text{ g/mole})(1+1)} \right]} \\ = 0.54652 \text{ g}$$

$$W_{\text{Cu(II)nitrate}} = \frac{w_{\text{Cu}} \text{MW}_{\text{Cu(II)nitrate}}}{\text{AW}_{\text{Cu}}}$$

$$= \frac{(0.40696 \text{ g})(241.6 \text{ g/mole})}{63.546 \text{ g/mole}}$$

$$= 0.15473 \text{ g}$$

$$W_{\text{Zn(II)nitrate}} = \frac{w_{\text{Zn}} \text{MW}_{\text{Zn(II)nitrate}}}{\text{AW}_{\text{Zn}}}$$

$$= \frac{(0.54652 \text{ g})(245.5 \text{ g/mole})}{65.382 \text{ g/mole}}$$

$$= 2.05210 \text{ g}$$

$$W_{\text{Fe(III)nitrate}} = \frac{w_{\text{Fe}} \text{MW}_{\text{Fe(III)nitrate}}}{\text{AW}_{\text{Fe}}}$$

$$= \frac{(0.54652 \text{ g})(404.0 \text{ g/mole})}{55.847 \text{ g/mole}}$$

$$= 3.95355 \text{ g}$$

$$W_{\text{Urea}} = \text{MW}_{\text{Urea}} (U/N) \left( \frac{W_{\text{Cu(II)nitrate}}}{\text{MW}_{\text{Cu(II)nitrate}}} + \frac{W_{\text{Zn(II)nitrate}}}{\text{MW}_{\text{Zn(II)nitrate}}} + \frac{W_{\text{Fe(III)nitrate}}}{\text{MW}_{\text{Fe(III)nitrate}}} \right)$$

$$= (44.056 \text{ g/mole})(2.375) \left( \frac{0.15473 \text{ g}}{241.6 \text{ g/mole}} + \frac{2.05210 \text{ g}}{245.5 \text{ g/mole}} + \frac{3.95355 \text{ g}}{404.0 \text{ g/mole}} \right)$$

$$= 1.96556 \text{ g}$$

ดังนั้น ปริมาณโดยน้ำหนักของ  $\text{Cu}(\text{NO}_3)_2 \cdot 3\text{H}_2\text{O}$  เท่ากับ 0.15473 กรัม

ปริมาณโดยน้ำหนักของ  $\text{Zn}(\text{NO}_3)_2 \cdot 4\text{H}_2\text{O}$  เท่ากับ 2.05210 กรัม

ปริมาณโดยน้ำหนักของ  $\text{Fe}(\text{NO}_3)_3 \cdot 9\text{H}_2\text{O}$  เท่ากับ 3.95355 กรัม

และ ปริมาณโดยน้ำหนักของยูเรีย เท่ากับ 1.96556 กรัม

## ภาคผนวก ข

### การคำนวณสำหรับการทดสอบลักษณะตัวเร่งปฏิกิริยา

การคำนวณขนาดผลลัพธ์ขององค์ประกอบในตัวเร่งปฏิกิริยาจากการเลี้ยวเบนรังสีเอกซ์

ขนาดผลลัพธ์ขององค์ประกอบในตัวเร่งปฏิกิริยาหาได้จากการคำนวณโดยใช้ความกว้างของฟีกการเลี้ยวเบนครีงความสูงโดยใช้สมการเซอร์เลอร์

$$D_b = \frac{K \times \lambda}{\beta \times \cos \theta}$$

โดยที่

$D_b$  หมายถึง ขนาดเส้นผ่านศูนย์กลางเฉลี่ยของผลลัพธ์ (หน่วย อังสตรอม)

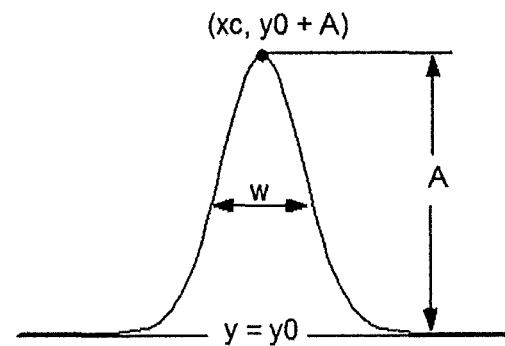
$K$  หมายถึง ค่าคงที่เซอร์เลอร์ มีค่าเท่ากับ 0.9

$\lambda$  หมายถึง ความยาวคลื่นรังสีเอกซ์ (หน่วย อังสตรอม) มีค่าเท่ากับ 1.54

$\beta$  หมายถึง ความกว้างเชิงมุมของฟีกในเทอมของ  $2\theta$  (วัดจากความกว้างเต็มที่ครีงความสูงของฟีก หรือ FWHM)

#### ตัวอย่างการคำนวณ ตัวเร่งปฏิกิริยา $Cu_{0.15}Zn_{0.5}Fe$

ค่าของ FWHM และ  $\theta$  ในแต่ละฟีกได้จากการประมาณโดยใช้โปรแกรมซอฟต์แวร์ OriginPro โดยที่ 1)  $x_c$  คือ  $2\theta$  2)  $w = FWHM$  3)  $A$  คือ ความสูงของ 4)  $y = y_0$  (ที่ baseline)



รูปที่ ข1 พีคตัวอย่างของรูปแบบการเดี่ยวบนสำหรับการหาค่า  $2\theta$  และ FWHM จากซอฟต์แวร์

$$\text{จาก } 2\theta \text{ เท่ากับ } 35.3918 \text{ องศา ดังนั้น } \theta = \frac{35.3918}{2} \times \frac{\pi}{180} \\ = 0.3090$$

$$\text{จาก FWHM เท่ากับ } 0.7813 \text{ องศา ดังนั้น } \beta = 0.7813 \times \frac{\pi}{180} \\ = 0.0136$$

$$\text{และ ขนาดผลึกของ } \text{Cu}(\text{Zn})\text{Fe}_2\text{O}_4 \text{ (}D_b\text{)} = \frac{K \times \lambda}{\beta \times \cos \theta} \\ = \frac{0.9 \times 1.54}{0.0136 \times \cos 0.3090} \\ = 106.7 \text{ 埃สตروم}$$

**ผลงานที่ได้รับการตีพิมพ์ในวารสารระดับนานาชาติและยื่นจดสิทธิบัตร  
ตลอดทั้งโครงการ ประจำปี 2556 – 2557**

โครงการฯ นี้เป็นโครงการวิจัย 2 ปี ตั้งแต่ปี พ.ศ. 2556 – 2557 ภายใต้ชื่อโครงการ "การผลิตกระแสงไฮโดรเจนเข้มข้นจากแก๊สเรือนกระจกมีเทนและคาร์บอนไดออกไซด์" ซึ่งได้รับการสนับสนุนจากทุนอุดหนุนโครงการวิจัยจากเงินอุดหนุนทั่วไปจากรัฐบาล ประจำปี 2556 – 2557 (งบประมาณแผ่นดิน) โดยมีผลงานตลอดทั้งโครงการดังนี้

**ก. บทความได้รับการตีพิมพ์ในวารสารระดับนานาชาติ**

1. ชื่อเรื่อง "Statistical optimization by response surface methodology for water-gas shift reaction in a H<sub>2</sub>-rich stream over Cu-Zn-Fe composite-oxide catalysts"

ชื่อผู้แต่ง Nutthavich Thouchprasitchai, Apanee Luengnaruemitchai,

Sangobtip Pongstabodee

ชื่อวารสาร Journal of the Taiwan Institute of Chemical Engineers

Impact factor 2.084 (Year 2013), 2.072 (5-Year)

2. ชื่อเรื่อง "Water-gas shift reaction over Cu-Zn, Cu-Fe, and Cu-Zn-Fe composite-oxide catalysts prepared by urea-nitrate combustion"

ชื่อผู้แต่ง Nutthavich Thouchprasitchai, Apanee Luengnaruemitchai,

Sangobtip Pongstabodee

ชื่อวารสาร Journal of Industrial and Engineering Chemistry

Impact factor 2.145 (Year 2012), 1.955 (5-Year)

**ข. PATENT**

เลขที่คำขอยื่นจดสิทธิบัตร 1101000019

ชื่อที่แสดงถึงการประดิษฐ์ ตัวเร่งปฏิกิริยาโลหะออกไซด์ผสมที่ใช้ผลิตกําaziไฮโดรเจนและลดการเกิดกําชาคํารับอนุมอนออกไซด์ในปฏิกิริยาความต่อรับแก๊สเชิงฟ์